

Exogene Dynamik

Vorlesung
Prof. Dr. Frank Sirocko

Termin:
Mittwoch 12:15 – 13:00
Hörsaal N6

Arbeitsmaterialien

Exogene Geologie

Ablauf

- 1) Einführung, Terrestrische Sedimente
- 2) Seesedimente
- 3) fluviatile Sedimente
- 4) äolische Sedimente

- 5) Marine Sedimente, Schelf, Küste
- 6) Tiefseesedimente
- 7) Meeresspiegeländerungen

- 8) Eiskerne

- 9) Klimageschichte Grundlagen
- 10) Eiszeit, Klima und Mensch
- 11) Holozän, Klima und Mensch

- 12) Klimazukunft, Global Change,
Abgabe der Protokolle (16.7.2009)

- 13) Rückgabe der Protokolle, ggf. mdl. Prüfung
A-G: 9-11 Uhr
H-N: 11-13 Uhr
O-Z: 14:16



**WETTER, KLIMA,
MENSCHHEITS-
ENTWICKLUNG**

VON DER EISZEIT
BIS INS
21. JAHRHUNDERT

€ 34,90



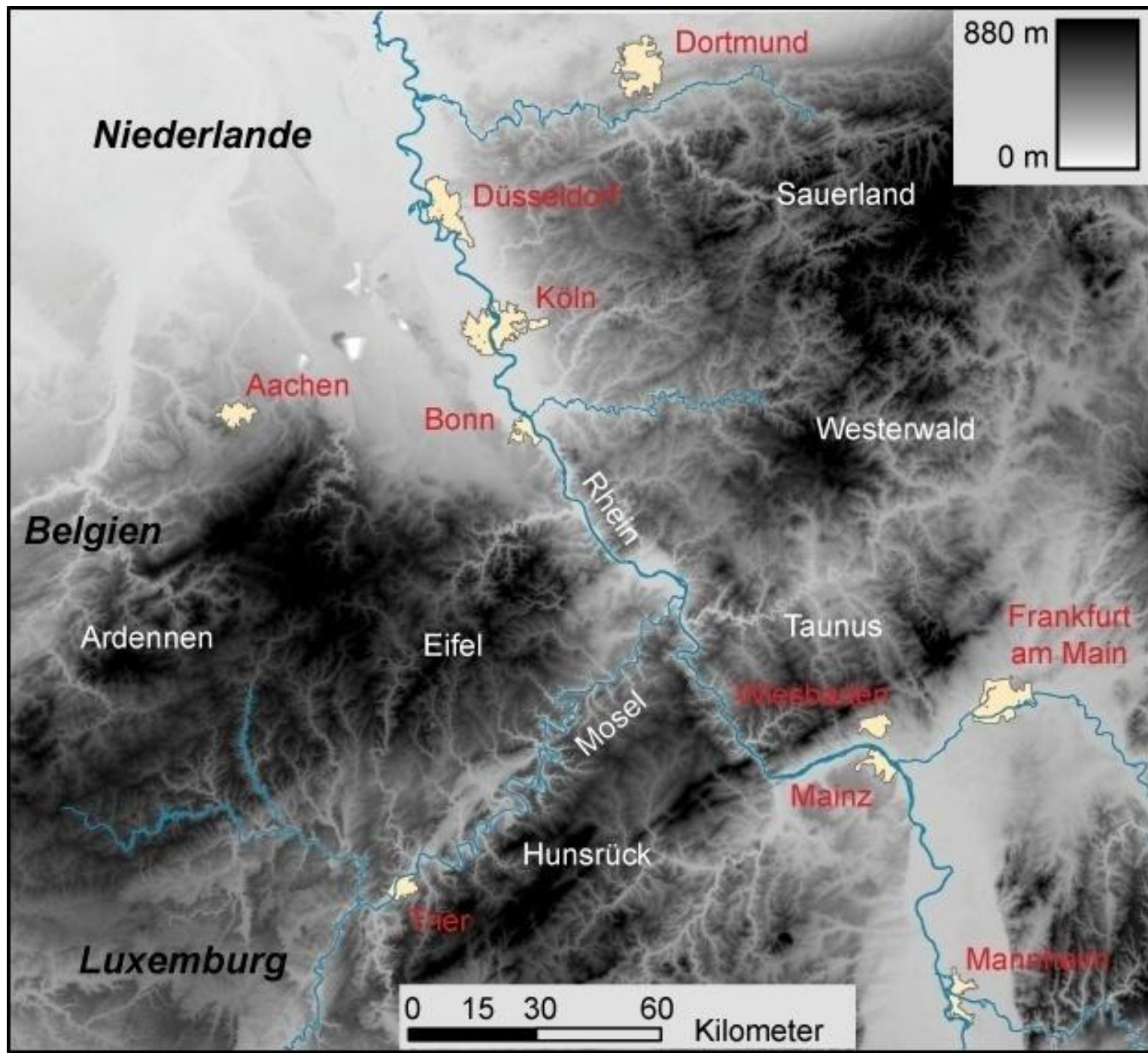
**Wetter, Klima,
Menschheits-
entwicklung**

VON DER EISZEIT
BIS INS 21. JAHRHUNDERT

€ 27,90

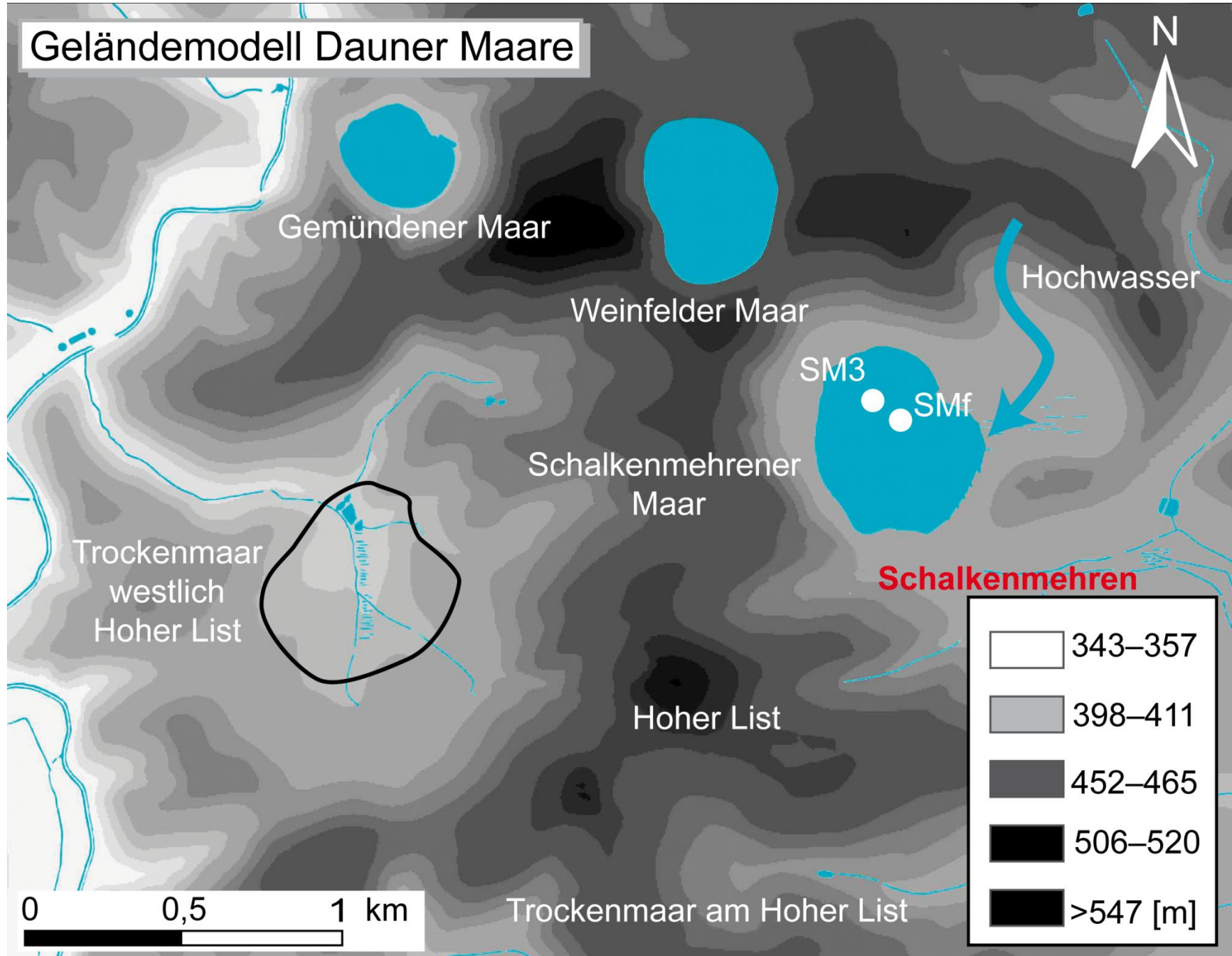


2. Stunde, Seesedimente, Maare

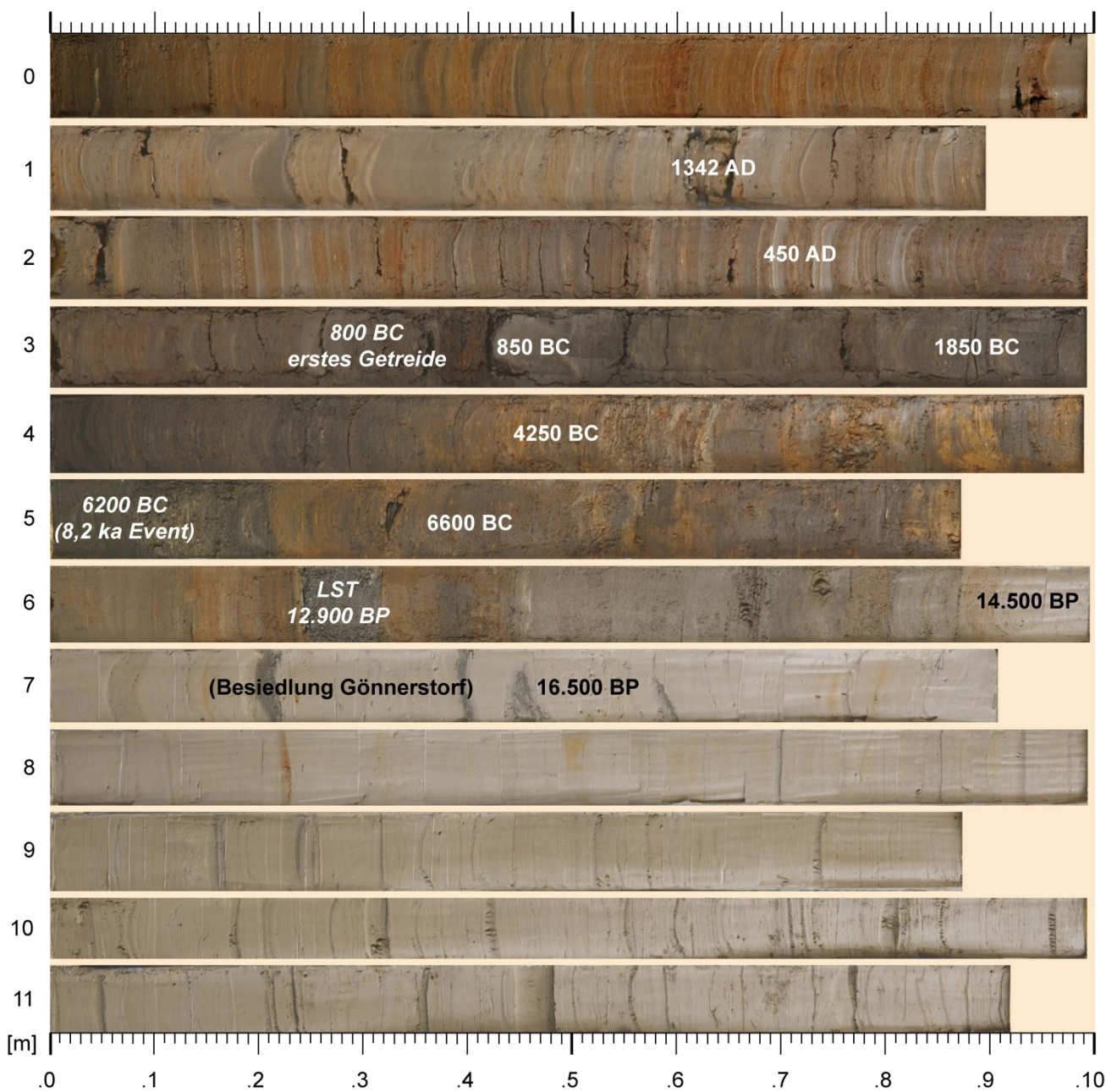




Geländemodell Dauner Maare



Schalkenmehrener Maar (Kern SM3)

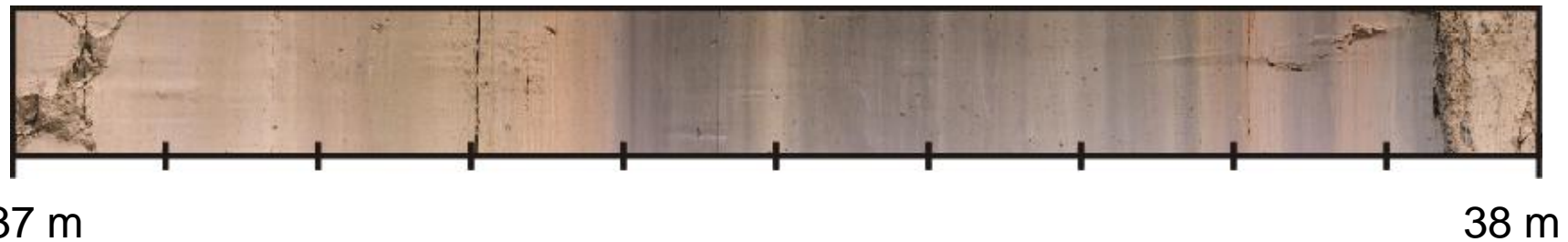


Seilkern

Core D3, Last Glacial Maximum



Core JW3, Stage 3 interstadial

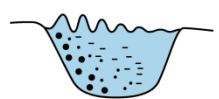


Core HL2, Last interglacial

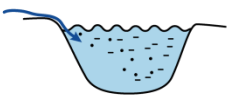


a) klastische warmzeitliche Sedimente

Wellenerosion



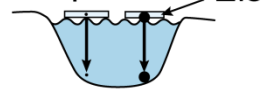
Suspension



Starkregen

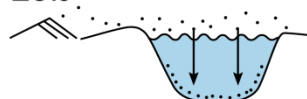


Dropstone Eis

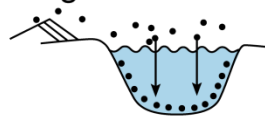


b) klastische eiszeitliche Sedimente

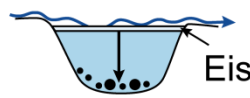
Löß



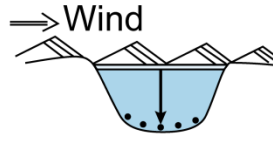
Flugsand



Bach über Eis



Dünen über Eis
→ Wind



c) biogene Sedimente



d) Umlagerung

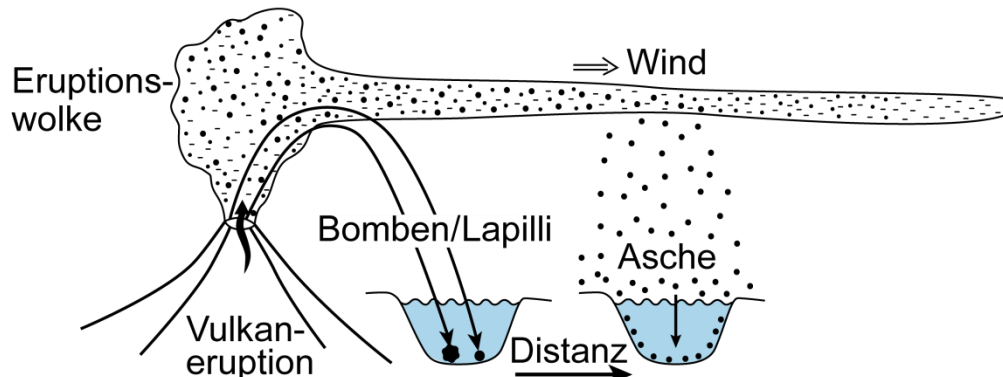
Rutschung



Turbidit



e) vulkanogene Sedimente (Tephra)



Korngrößen:

• Kies

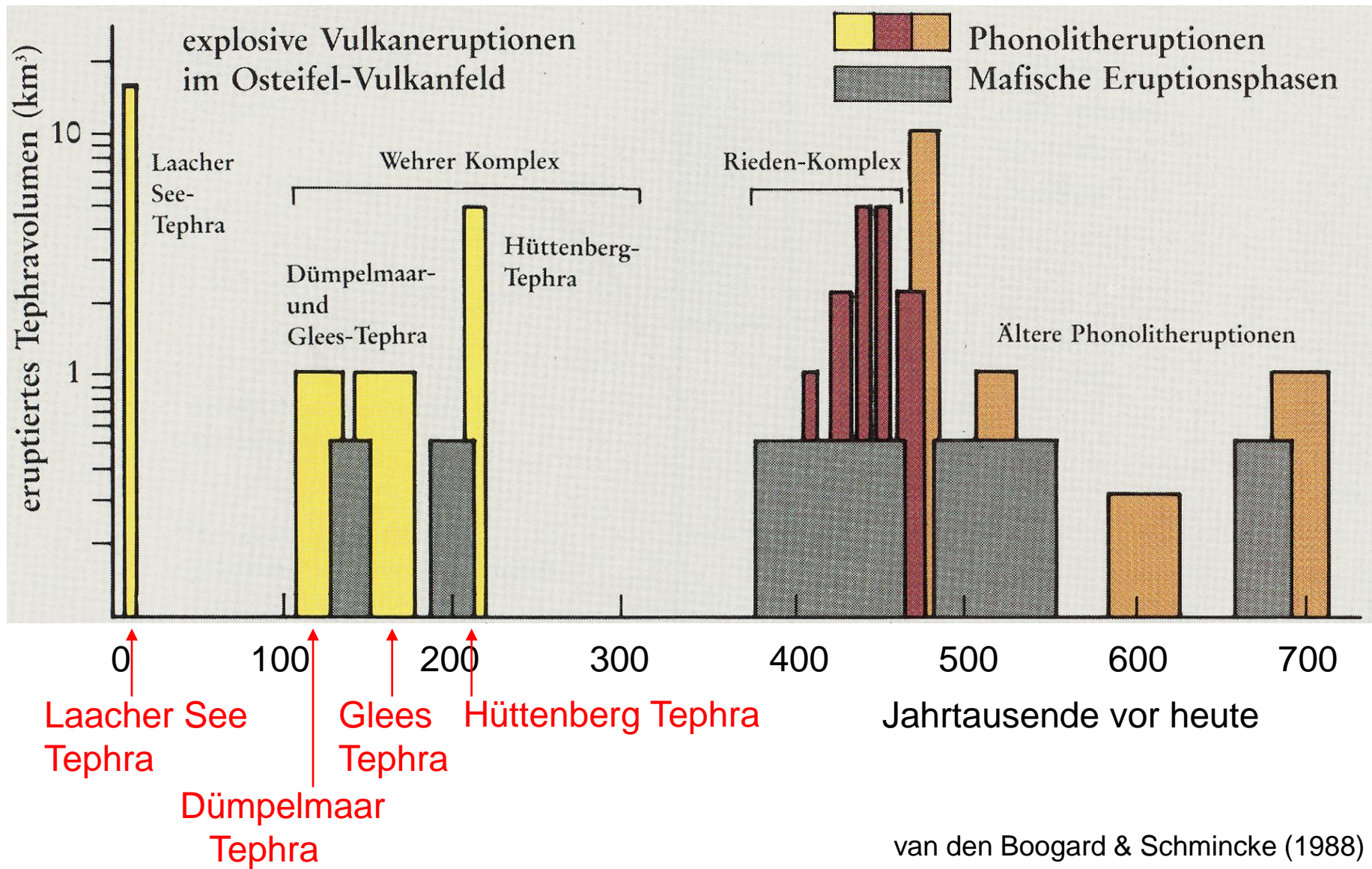
• Sand

· Silt

- Ton

Abbildung aus: Sirocko (2009)

Ar/Ar datierte Vulkanite in der Osteifel



3. Stunde, Fluviaatile Sedimente

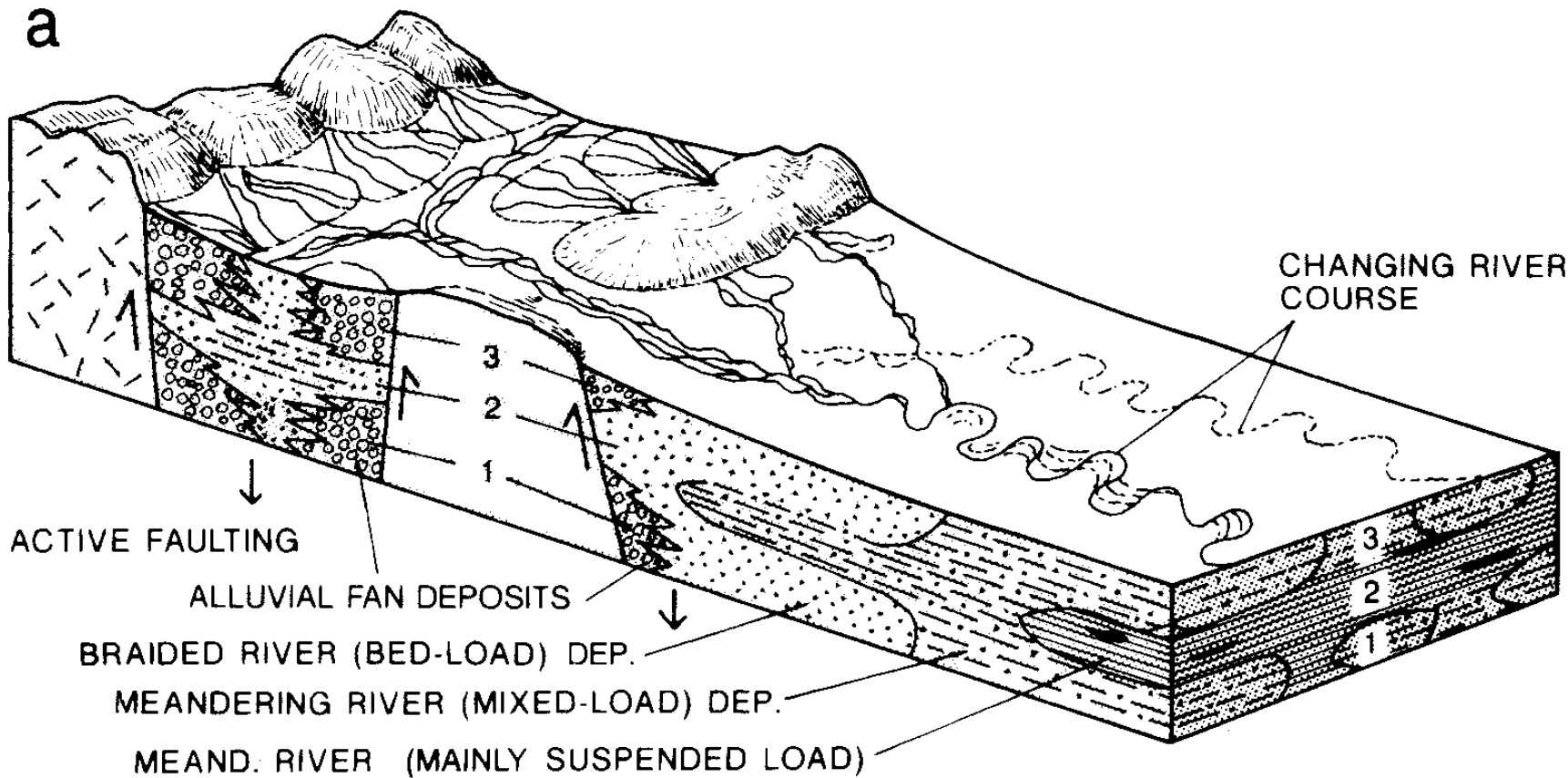
a

Fig. 2.19a,b. Evolution (Stages 1 through 4) of depositional fluvial systems. **a** Active faulting maintains high relief during either semi-arid (Stages 1 and 3) or humid climates (Stage 2). Stages 1 and 3 are characterized by extensive alluvial fans in the montane basin, as well as braided bed-load rivers and meandering mixed-load rivers on the coastal plain. Stage 2 displays a predominance of mixed-load and suspended-load meandering rivers on the

coastal plain and fewer fan deposits. **b** Waning tectonic activity, lowered relief, and widespread vegetation (Stage 4) reduce the significance of braided streams and lead to extensive fine-grained floodplain deposits of meandering and anastomosing systems, including interchannel lake deposits and peat. Note the various vertical trends at different locations

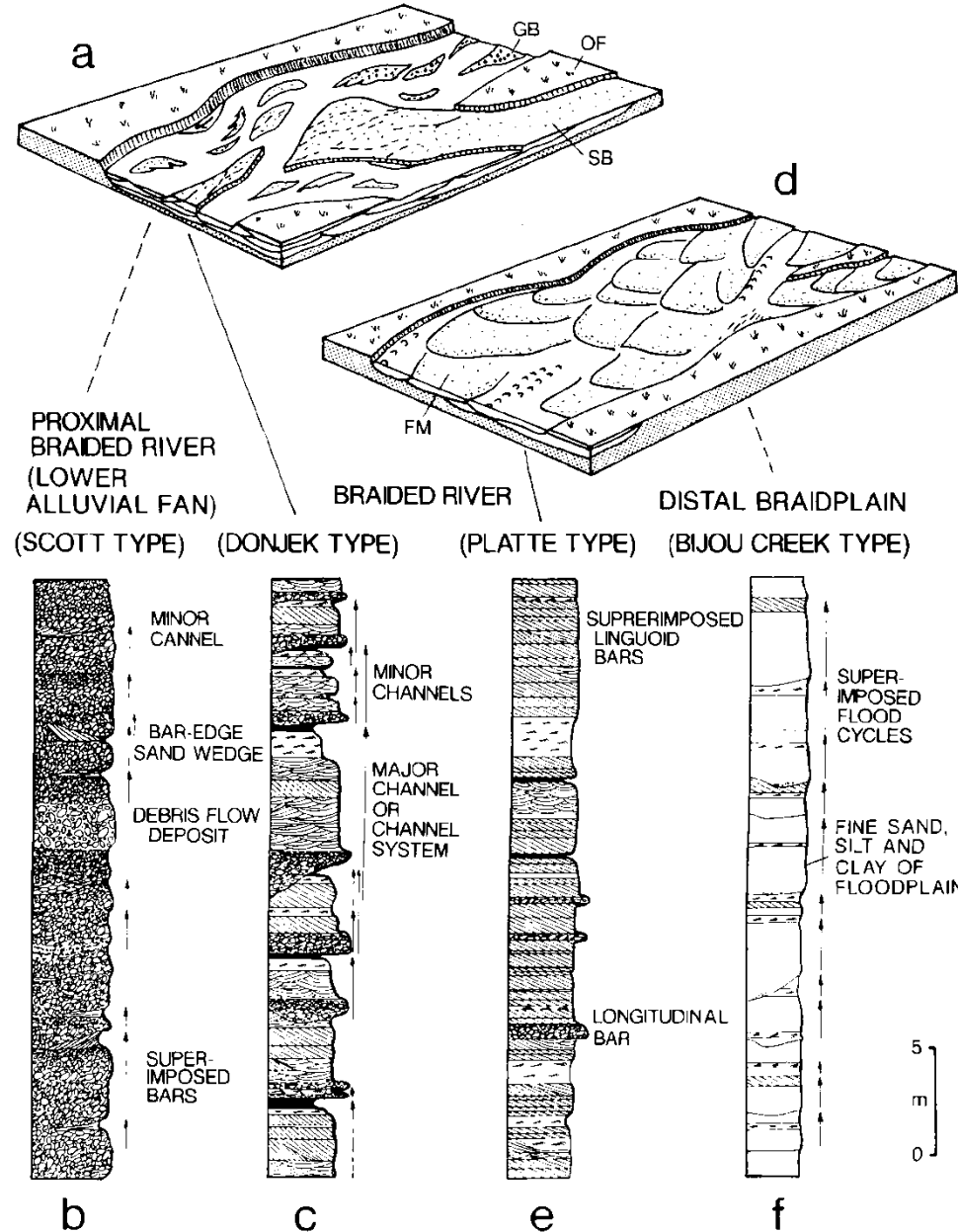


Fig. 2.15a-f. Braided river systems. a-c Proximal to middle reaches, gravel-dominated (b), or sand-dominated (c) with minor proportion of gravel. d-f Distal, sand-domi-

nated system with wide channels and flat, linguoid sand bars (d and e), or wide floodplain rarely inundated by flash floods (f). (After Miall 1985)

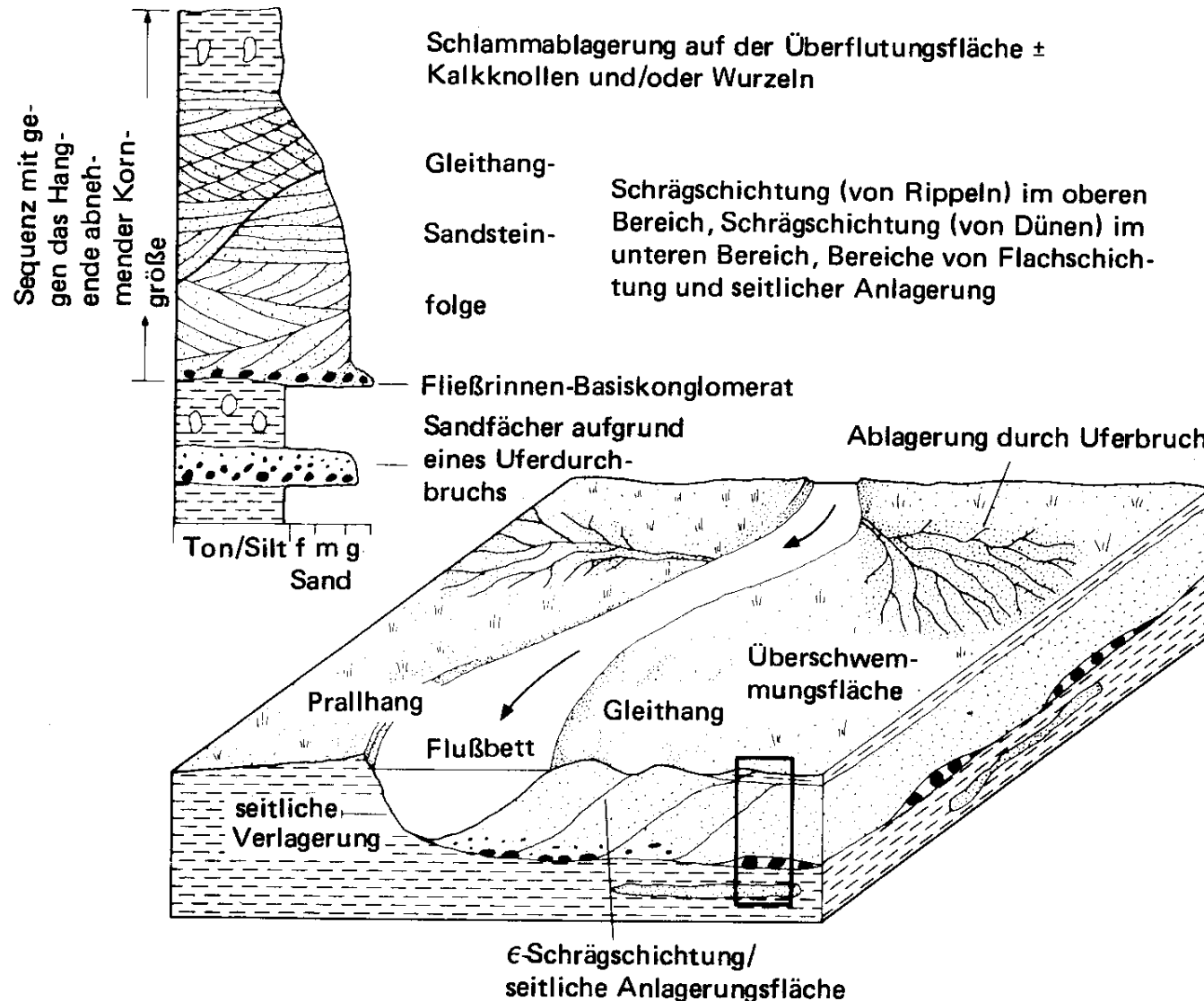
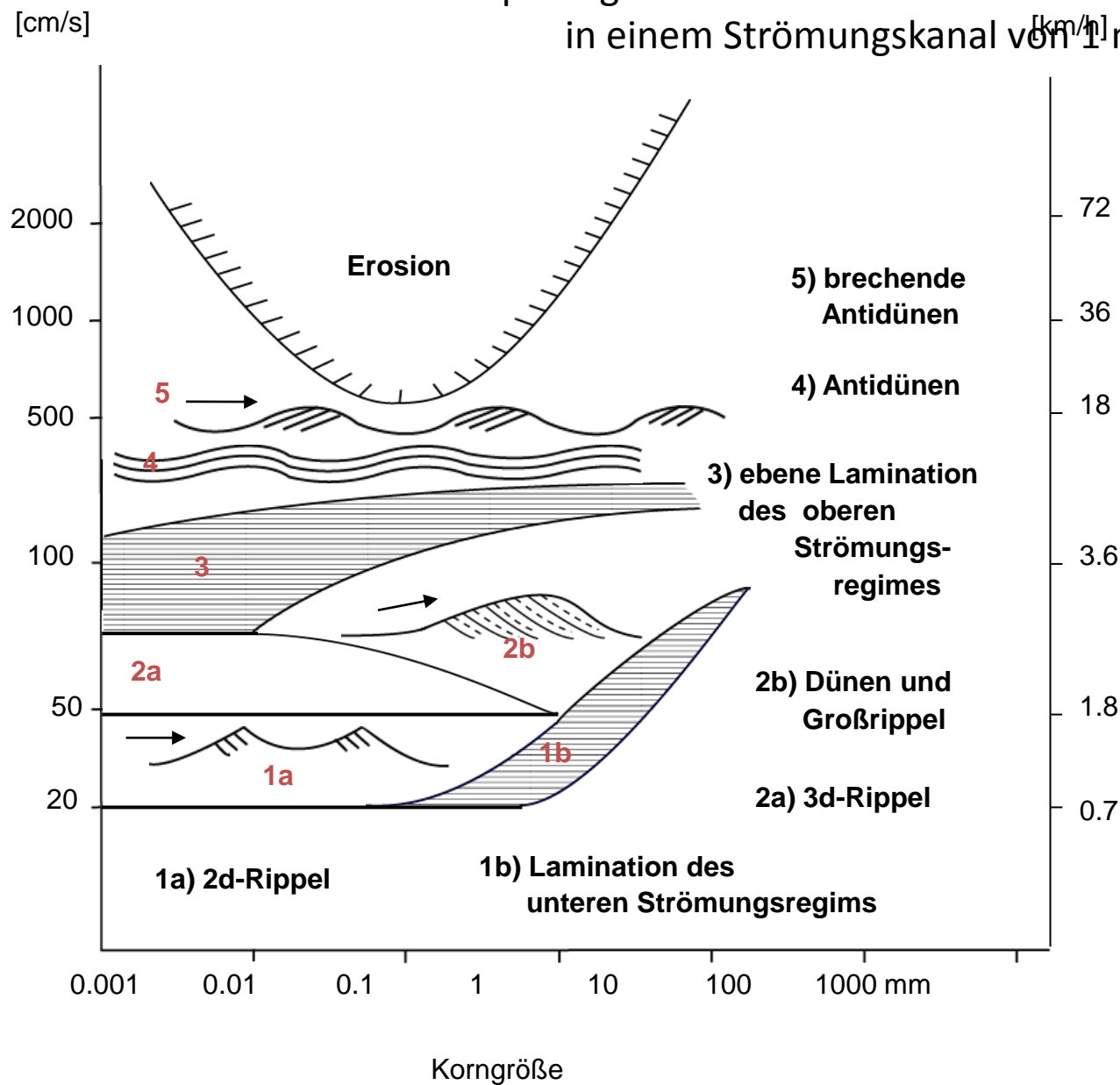
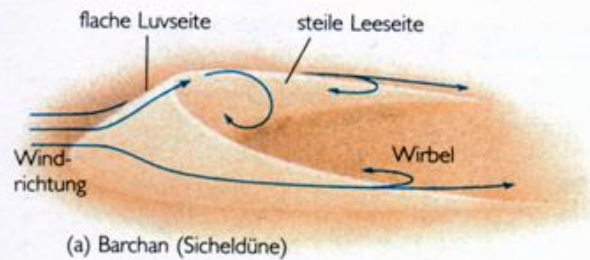


Abb. 2.53 Subfazies-Bereiche eines mäandrierenden Flusses sowie Profil einer Sedimentabfolge durch seitliche Verlagerung des Flußbettes. Fluviale Sequenzen mit gegen das Hangende abnehmender Korngröße sind ca. 2 bis 20 m mächtig

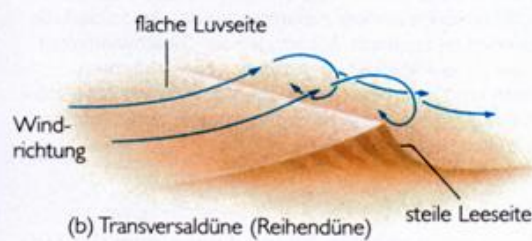
Morphologische Strukturen an der Sedimentoberfläche in einem Strömungskanal von 1m Tiefe



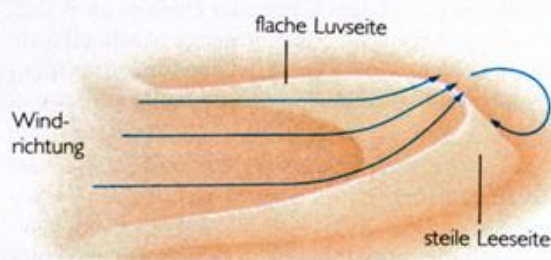
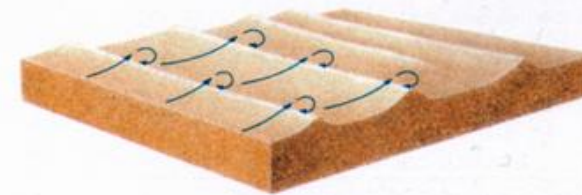
4. Stunde, äolische Sedimente



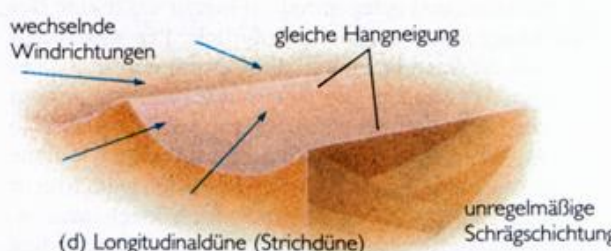
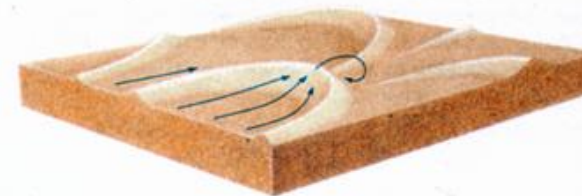
(a) Barchan (Sicheldüne)



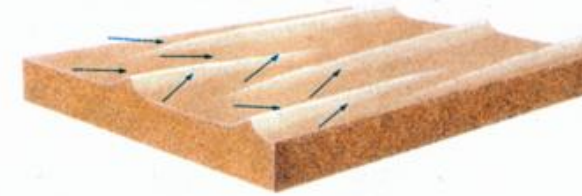
(b) Transversaldüne (Reihendüne)



(c) Paraboldüne



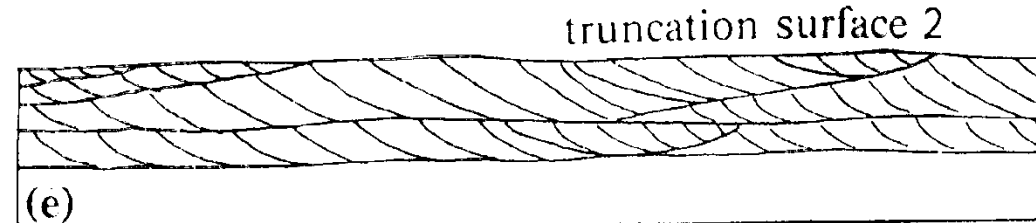
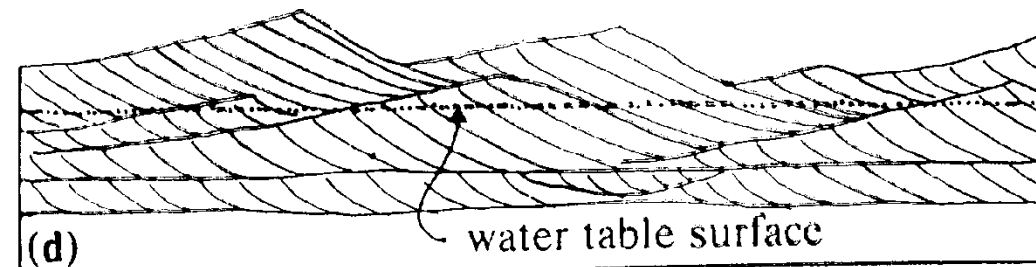
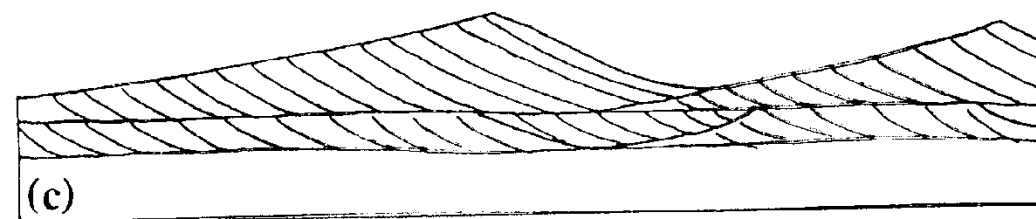
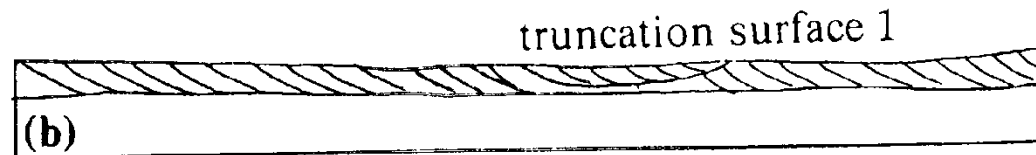
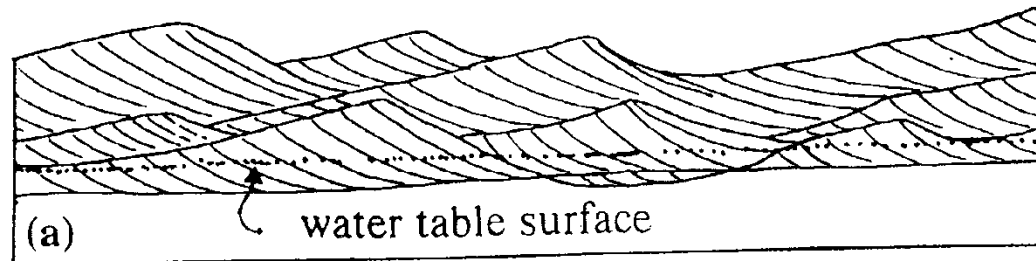
(d) Longitudinaldüne (Strichdüne)



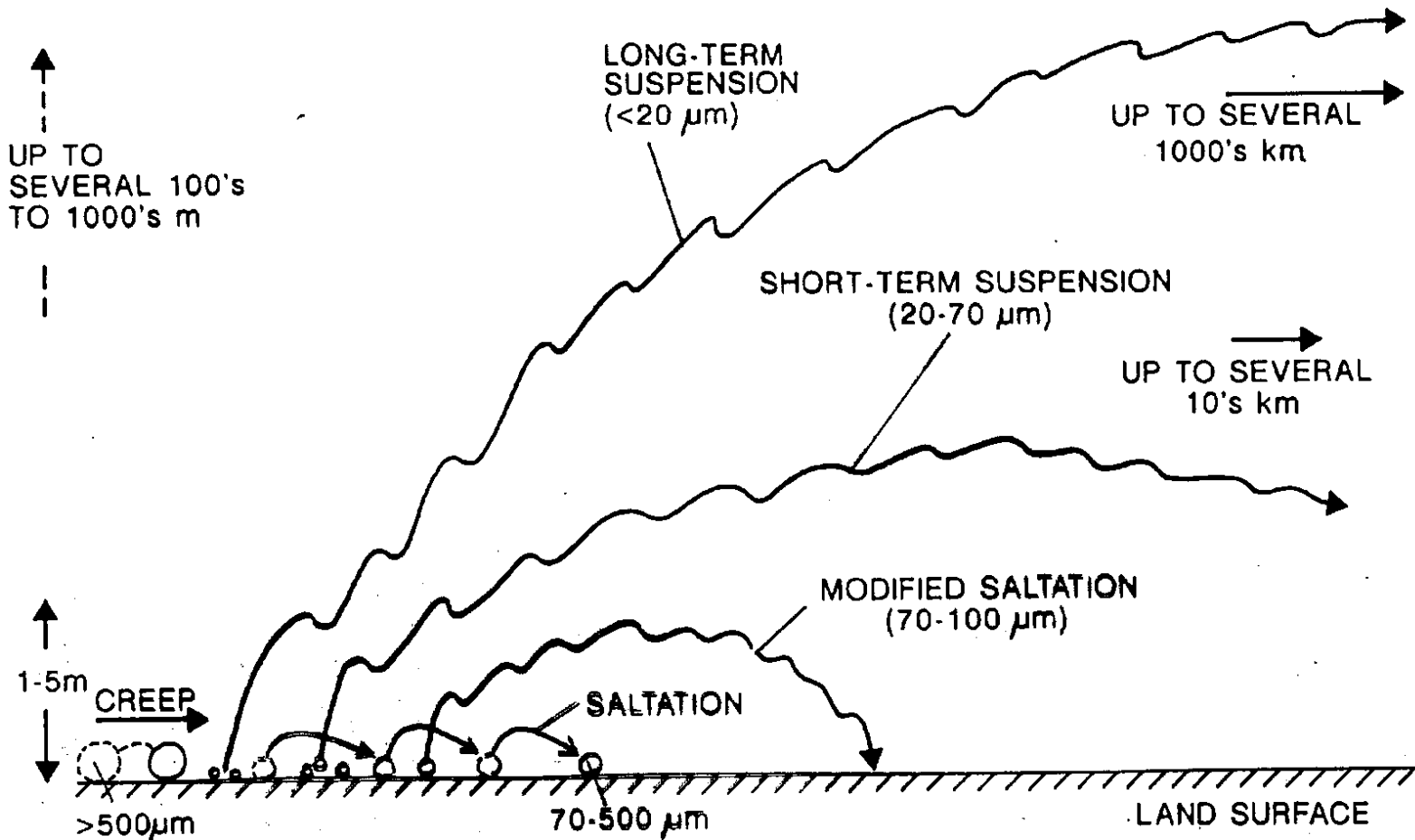
14.14 Dünenformen und ihre Abhängigkeit von den vorherrschenden Windrichtungen. Barchane (a) sind Einzeldünen,

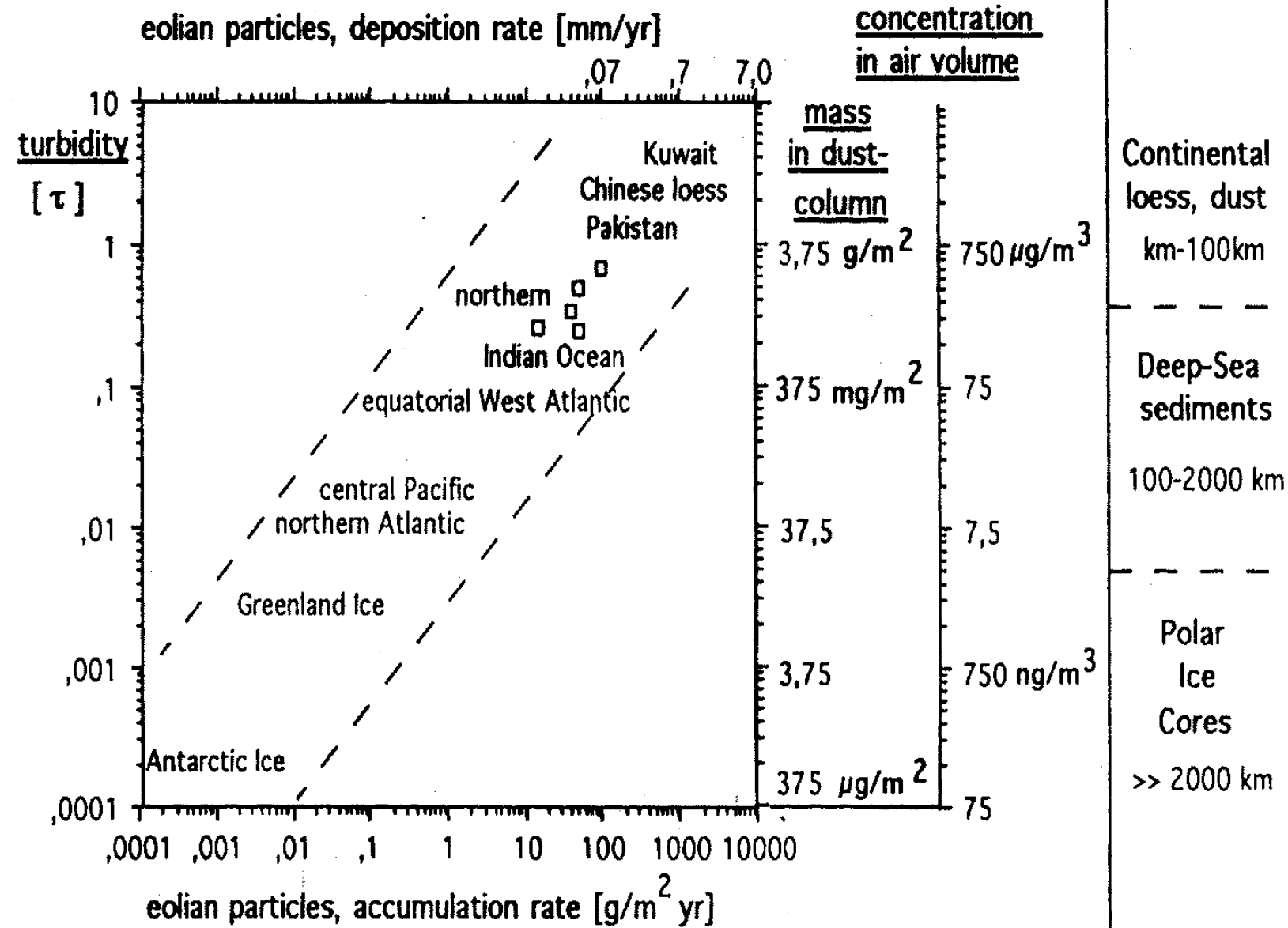
sind gewissermaßen umgedrehte Barchane, deren konvexe Seite leewärts ausgerichtet ist – im Gegensatz zur konkaven

Interne Struktur einer Düne -Erosionswirkung und Sedimentation

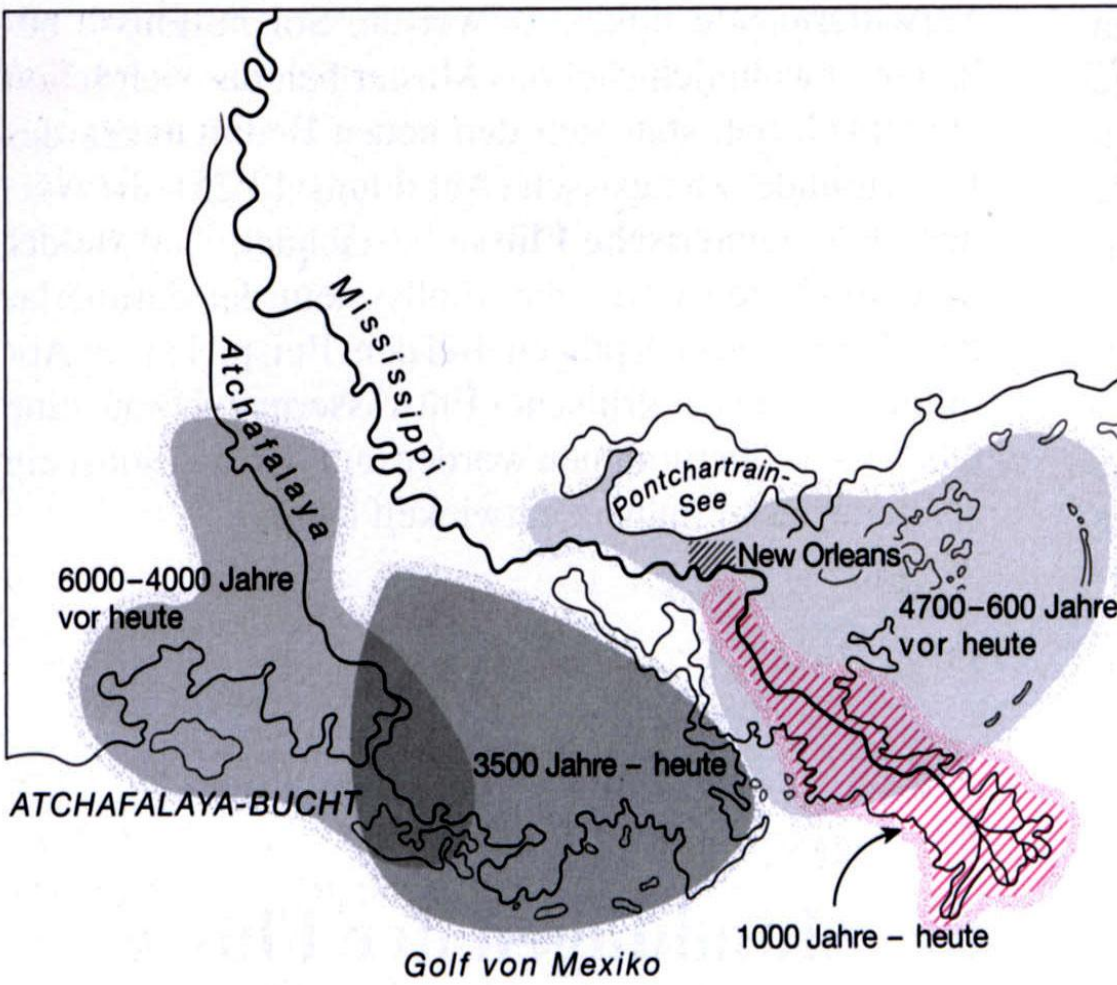


Transportmechanismen





5. Stunde, marine Sedimente Schelf, Küste



13.28 Das Mississippi-Delta. In den vergangenen 6000 Jahren baute der Fluß sein Delta erst in einer Richtung und dann, als die Strömung sich von einem großen Deltaarm in einen anderen verlagerte, in eine neue Richtung vor. Dem heutigen Delta waren Deltas im Osten und Westen vorausgegangen.

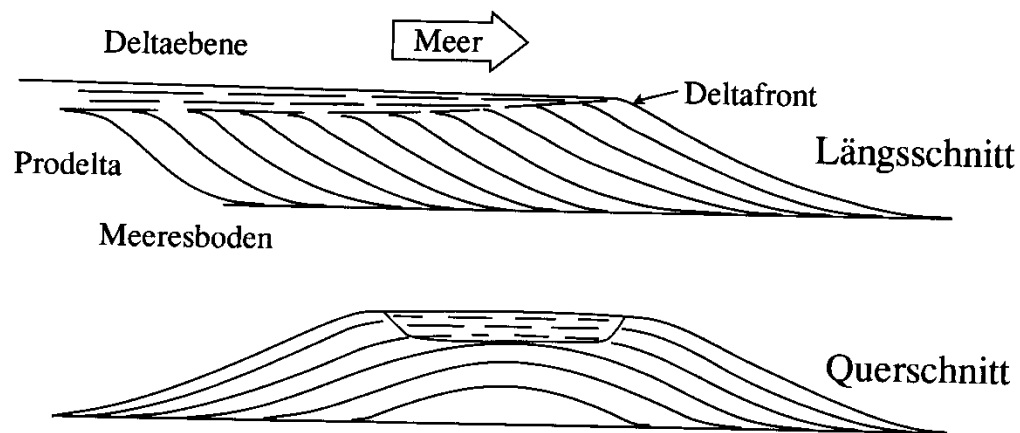
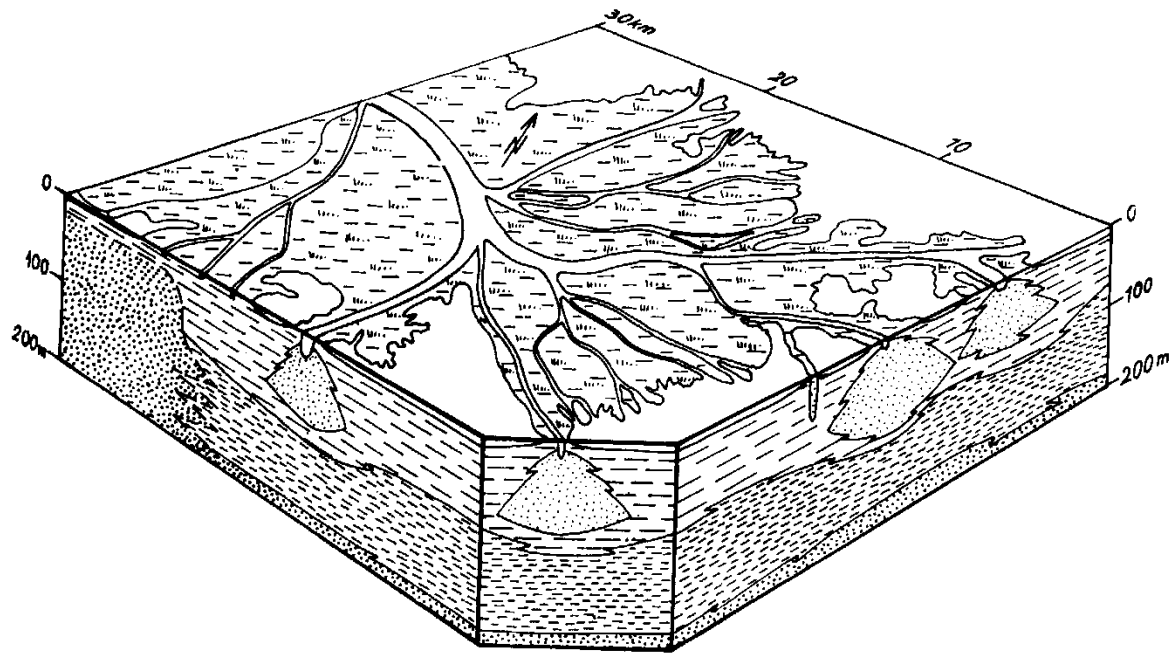
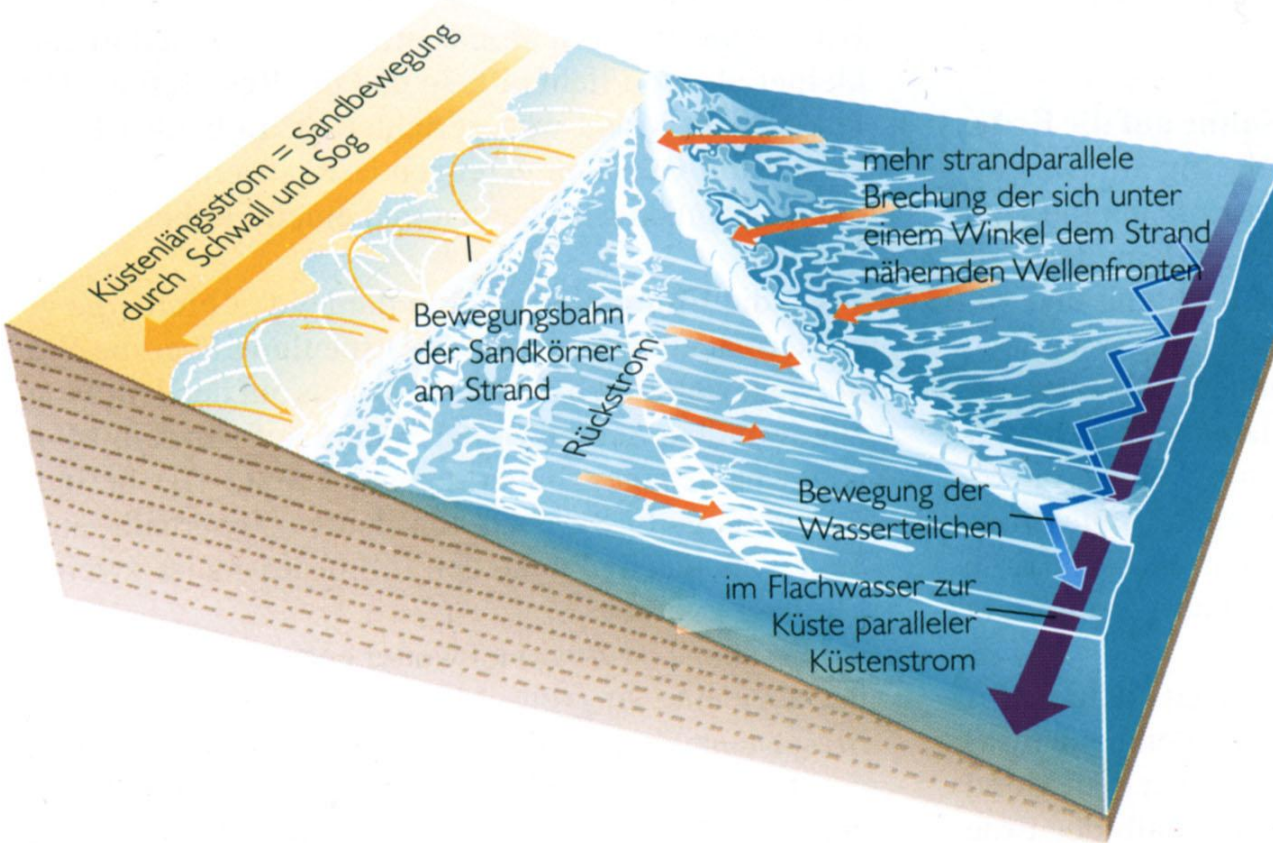


Abb. 5.31

a) Blockdiagramm des heutigen „Vogelfußdeltas“ des Mississippi (nach FISK et al., 1954). Signaturen: Weit-punktiert, Sand; weit-gestrichelt, Ton; eng-gepunktet und eng-gestrichelt, älteres Delta.

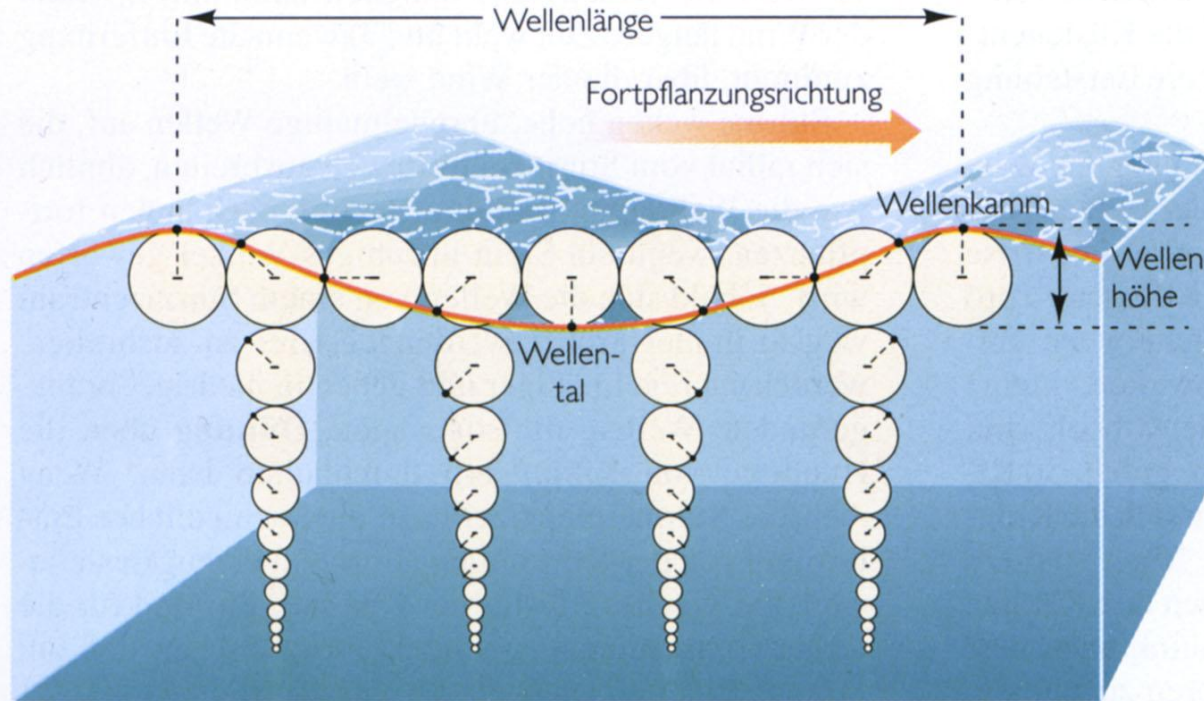
b) Gliederung eines Deltas in Deltaebene, Deltafront und Prodelta. Insbesondere die Schichten des Prodeltas sind beckenwärts geneigt.

Strömungsrichtungen



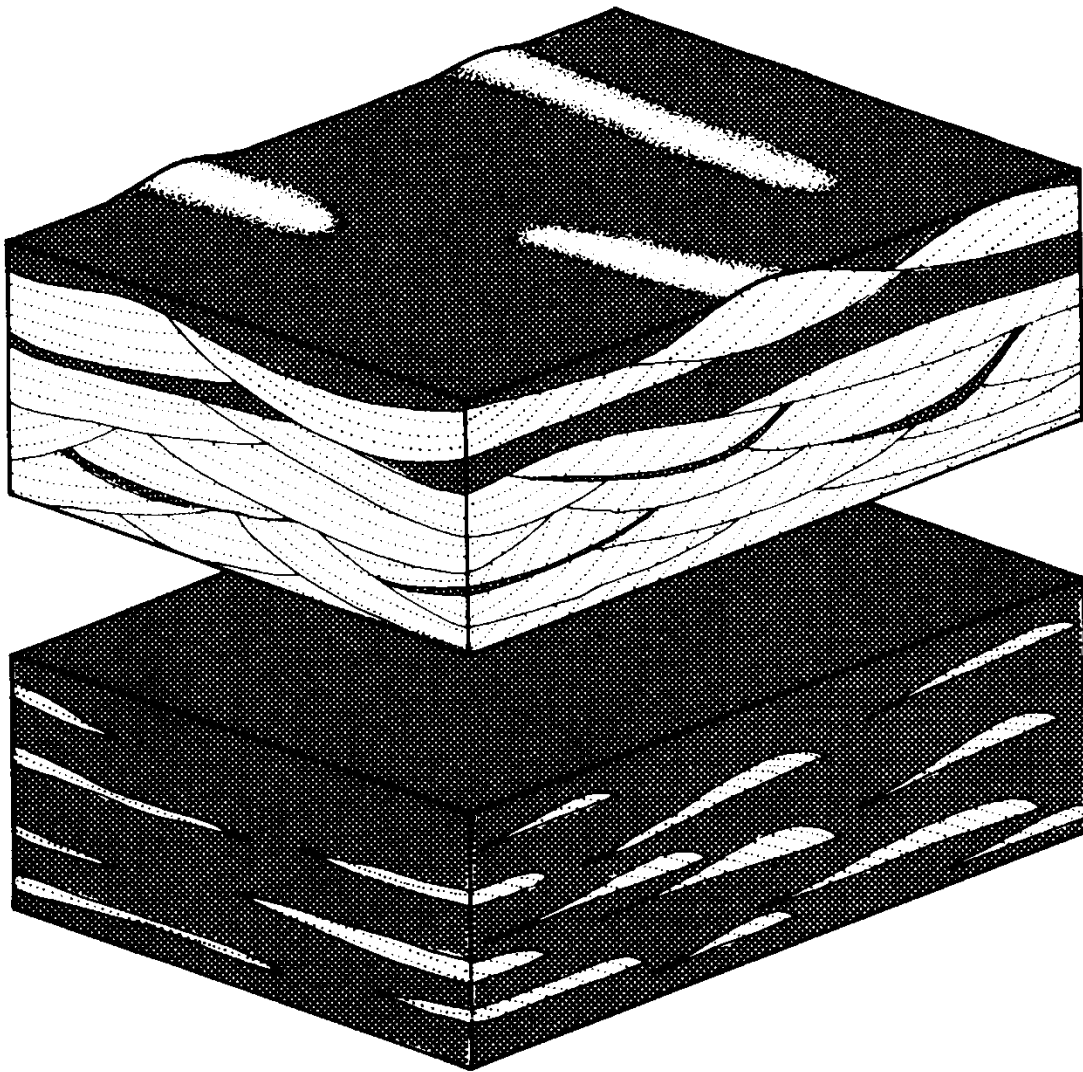
17.7 Küstenversetzung ergibt sich aus den zickzackähnlichen Bewegungen von Sandkörnern, die von Wellen, die unter einem Winkel auf den Strand auflaufen, angespült werden. Im Flachwasser bilden sich dadurch außerdem Küstenströmungen.

Wellenwirktiefe: Etwa 5x Wellenhöhe



17.3 Die basisnahen Bereiche einer Welle und die Kreisbewegung der Wasserteilchen unter einer Welle, die sich vorwärts bewegt. Man beachte, daß der Radius der Kreisbahnen mit der Tiefe abnimmt.

Flaserschichtung

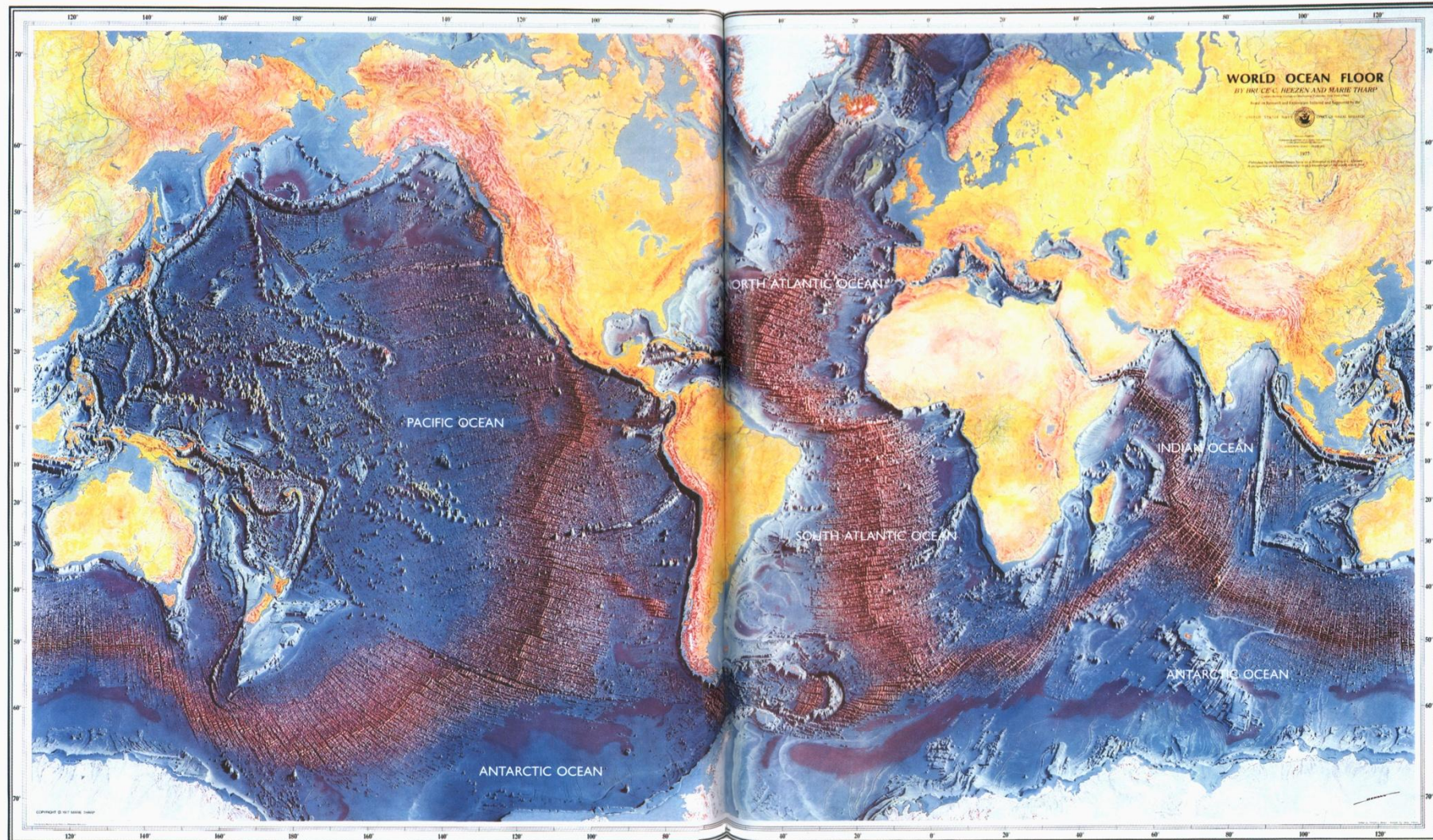


sis und Silt und Ton im oberen Bereich. Oberkarbon, Devon, England

Abb. 2.23 Flaserschichtung (oben) und Linsenschichtung (unten)

Tucker, 1985

World Ocean Floor



7.26 Die Karte der Ozeanböden der Erde zeigt die Lage der mittelozeanischen Rücken, Tiefseerinnen und Transformstörungen, die jeweils die einzelnen Lithosphärenplatten begrenzen. Der Atlantische Ozean wird vom Mittelatlantischen Rücken beherrscht, der den Ozean von Norden nach

Süden durchzieht. Der östliche Pazifik zeigt deutlich den Ostpazifischen Rücken, ebenso die Atacama-Tiefseerinne (schwarzer Streifen vor der Westküste Südamerikas). Der westliche Pazifik ist der Bereich zahlreicher Tiefseerinnen, die Subduktionszonen zwischen verschiedenen ozeanischen

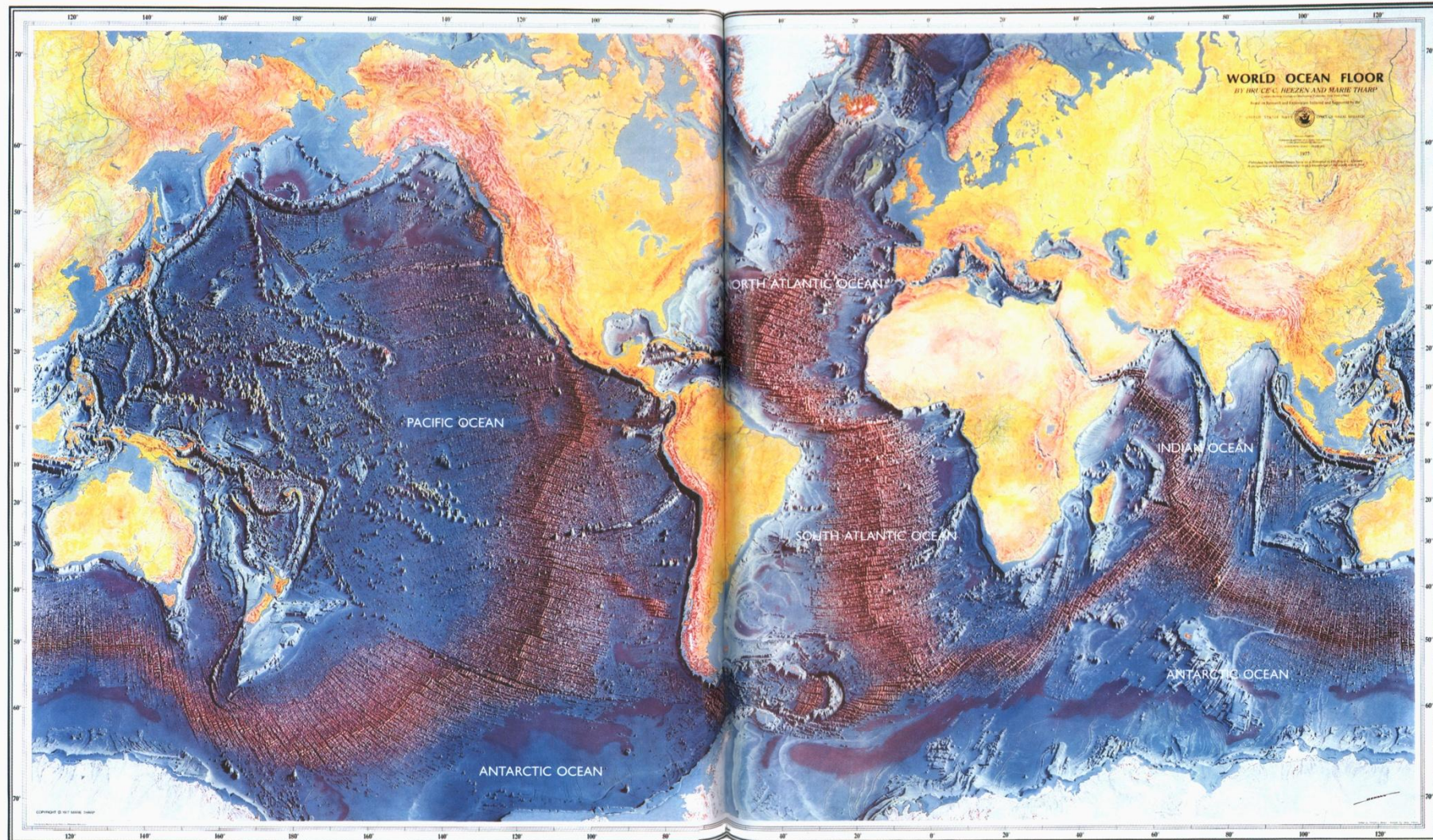
Lithosphärenplatten kennzeichnen. Der Indische Ozean wird von zwei mittelozeanischen Rücken durchzogen, dem Carlsberg-Rücken und dem Zentralindischen Rücken, die den antarktischen Kontinent begrenzen. (*World Ocean Floor*, ba-

sierend auf Tiefseeforschungen von Bruce C. Heezen und Marie Tharp. Zeichnung von Heinrich C. Berann. Copyright © Marie Tharp, 1977.)

6. Stunde, marine Sedimente

Tiefsee

World Ocean Floor

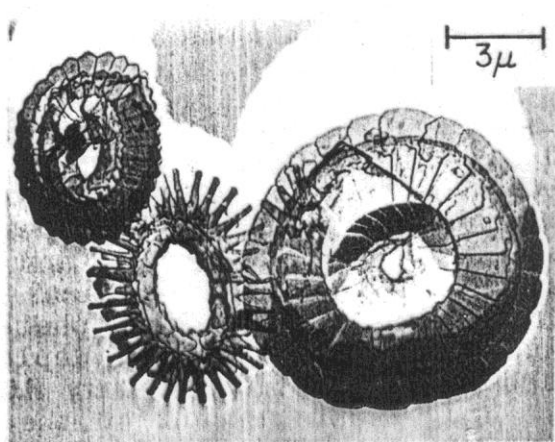


7.26 Die Karte der Ozeanböden der Erde zeigt die Lage der mittelozeanischen Rücken, Tiefseerinnen und Transformstörungen, die jeweils die einzelnen Lithosphärenplatten begrenzen. Der Atlantische Ozean wird vom Mittelatlantischen Rücken beherrscht, der den Ozean von Norden nach

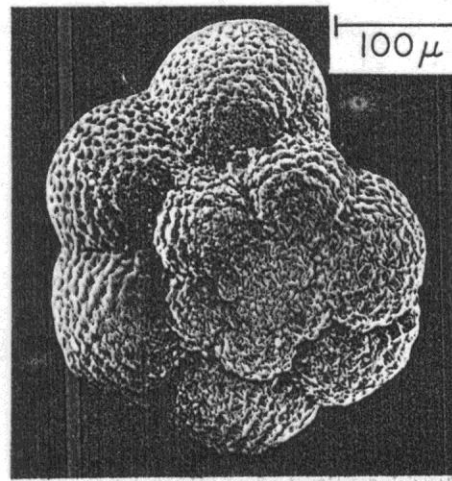
Süden durchzieht. Der östliche Pazifik zeigt deutlich den Ostpazifischen Rücken, ebenso die Atacama-Tiefseerinne (schwarzer Streifen vor der Westküste Südamerikas). Der westliche Pazifik ist der Bereich zahlreicher Tiefseerinnen, die Subduktionszonen zwischen verschiedenen ozeanischen

Lithosphärenplatten kennzeichnen. Der Indische Ozean wird von zwei mittelozeanischen Rücken durchzogen, dem Carlsberg-Rücken und dem Zentralindischen Rücken, die den antarktischen Kontinent begrenzen. (*World Ocean Floor*, ba-

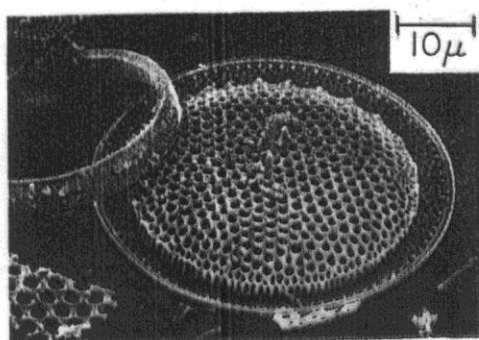
sierend auf Tiefseeforschungen von Bruce C. Heezen und Marie Tharp. Zeichnung von Heinrich C. Berann. Copyright © Marie Tharp, 1977.)



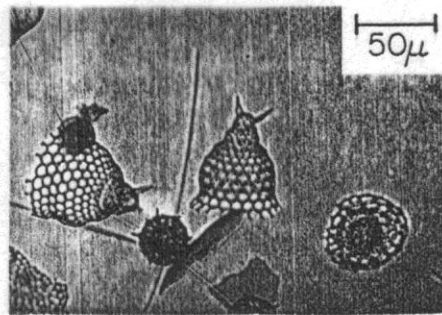
(a)



(b)

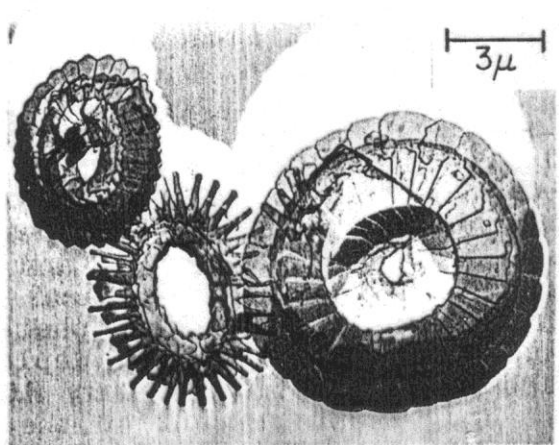


(c)

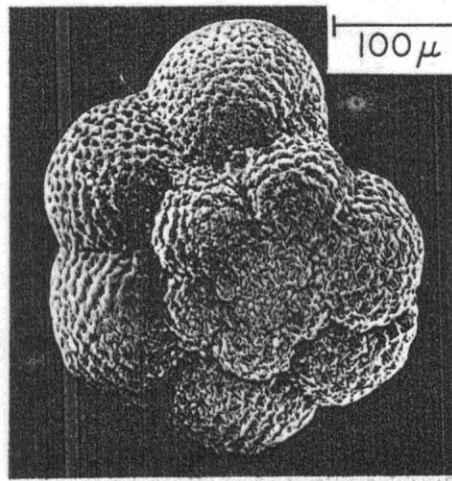


(d)

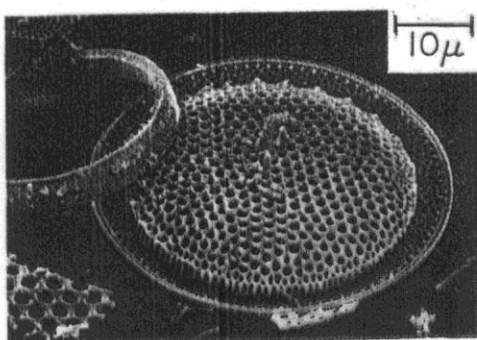
Figure 1-3. Photographs of hard parts produced by (a) coccilithophorida, (b) foraminifera, (c) diatoms, and (d) radiolarians.



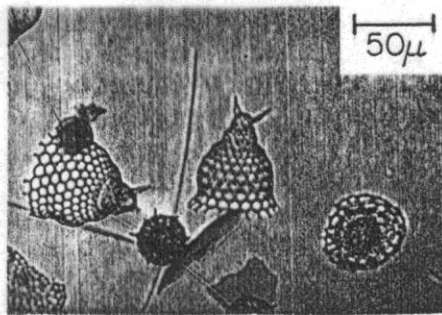
(a)



(b)



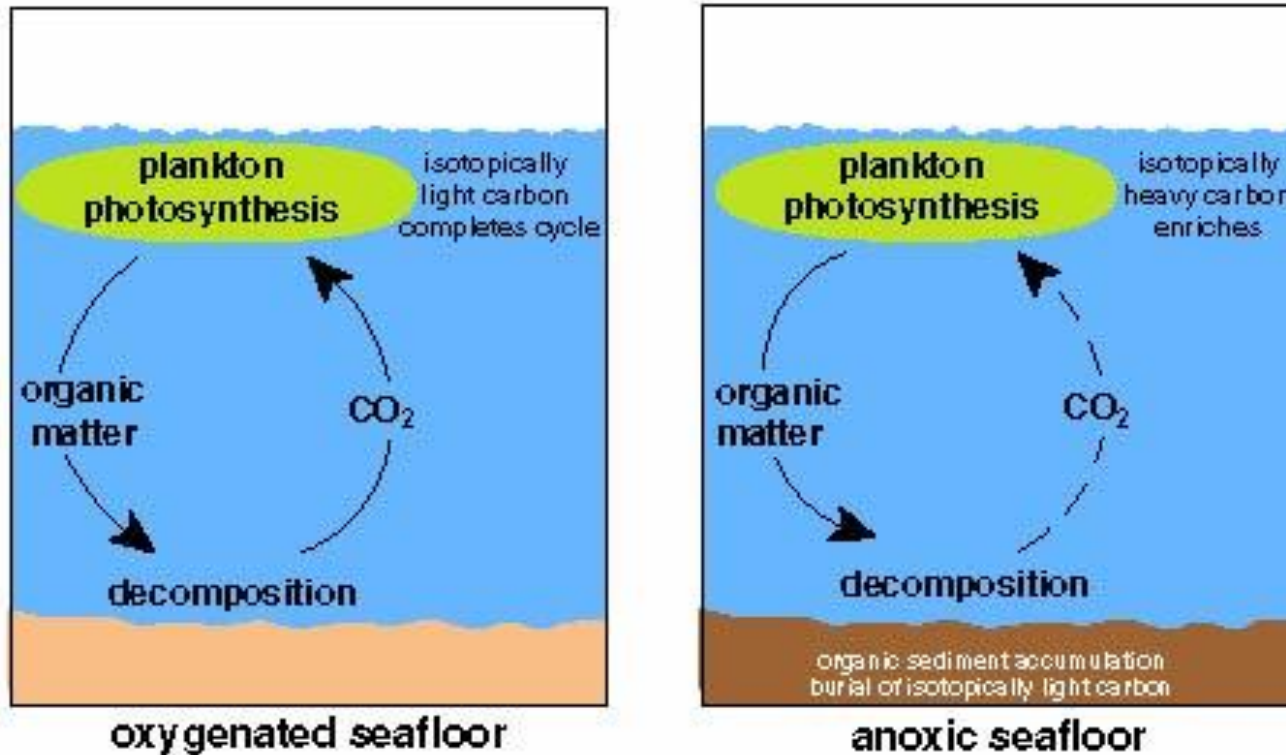
(c)



(d)

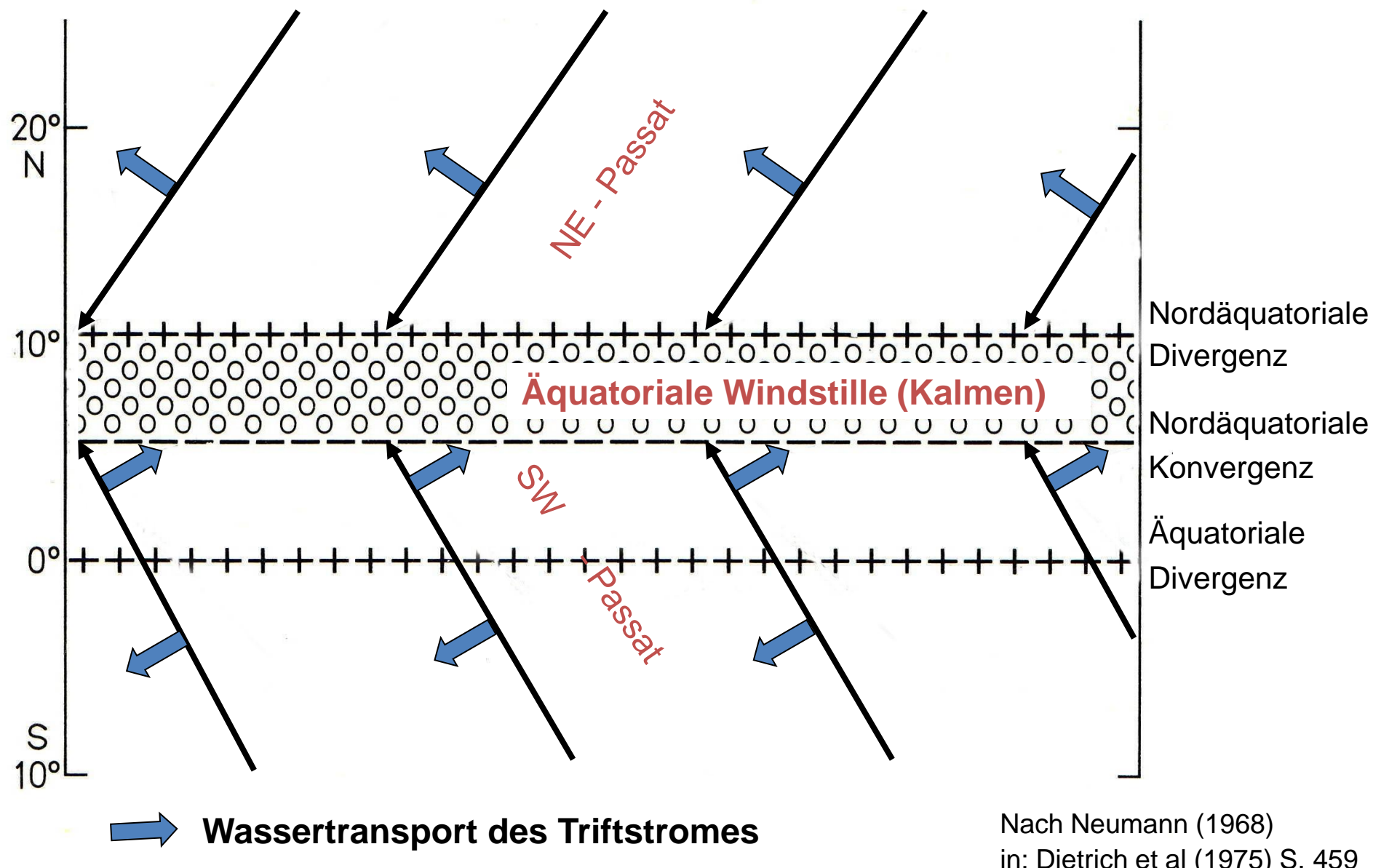
Figure 1-3. Photographs of hard parts produced by (a) coccolithophorida, (b) foraminifera, (c) diatoms, and (d) radiolarians.

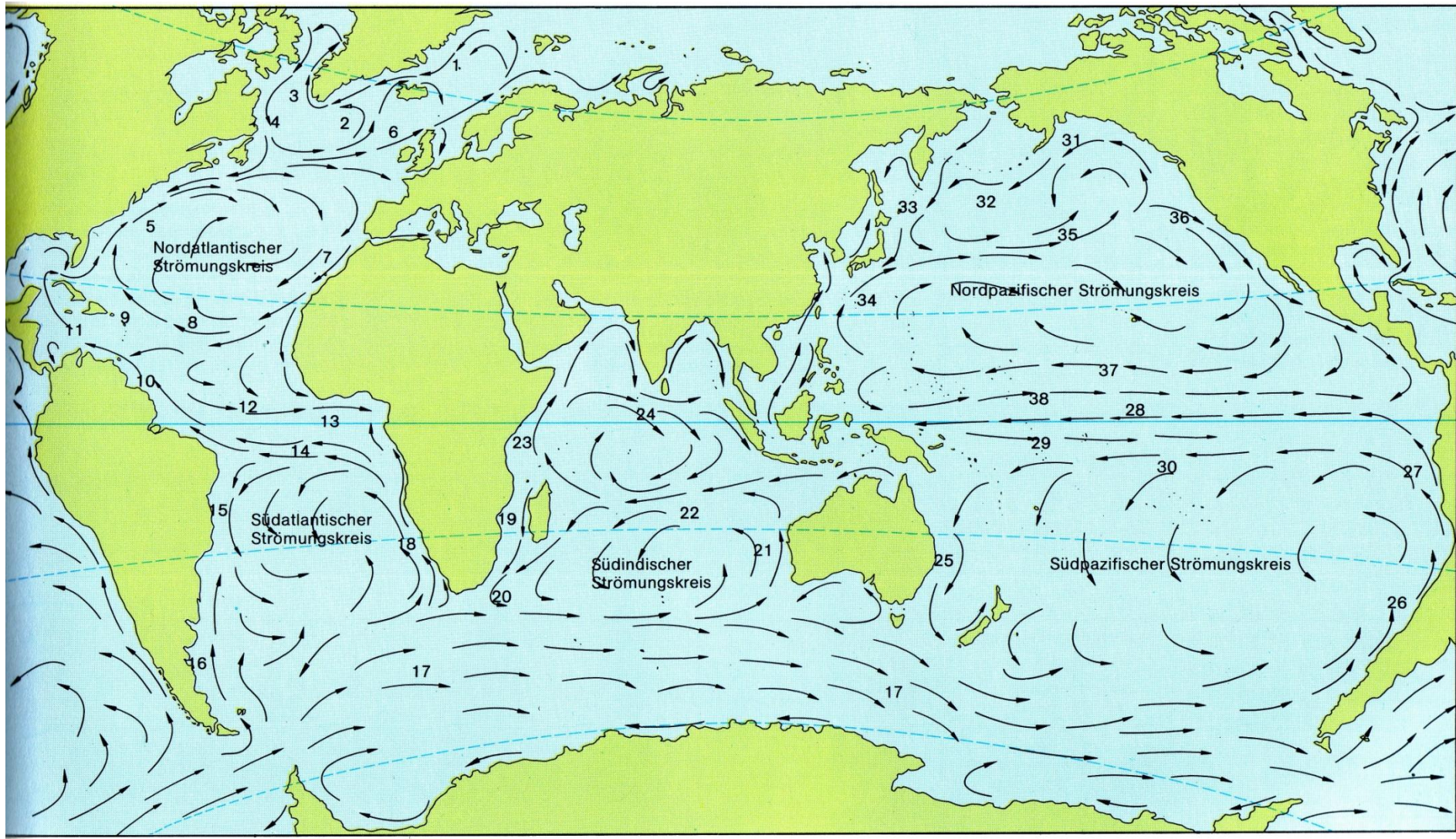
Biogener organischer
Kohlenstoff ist reich an ^{12}C



Remineralisation (gilt auch für alle anderen Elemente)

Divergenzzonen



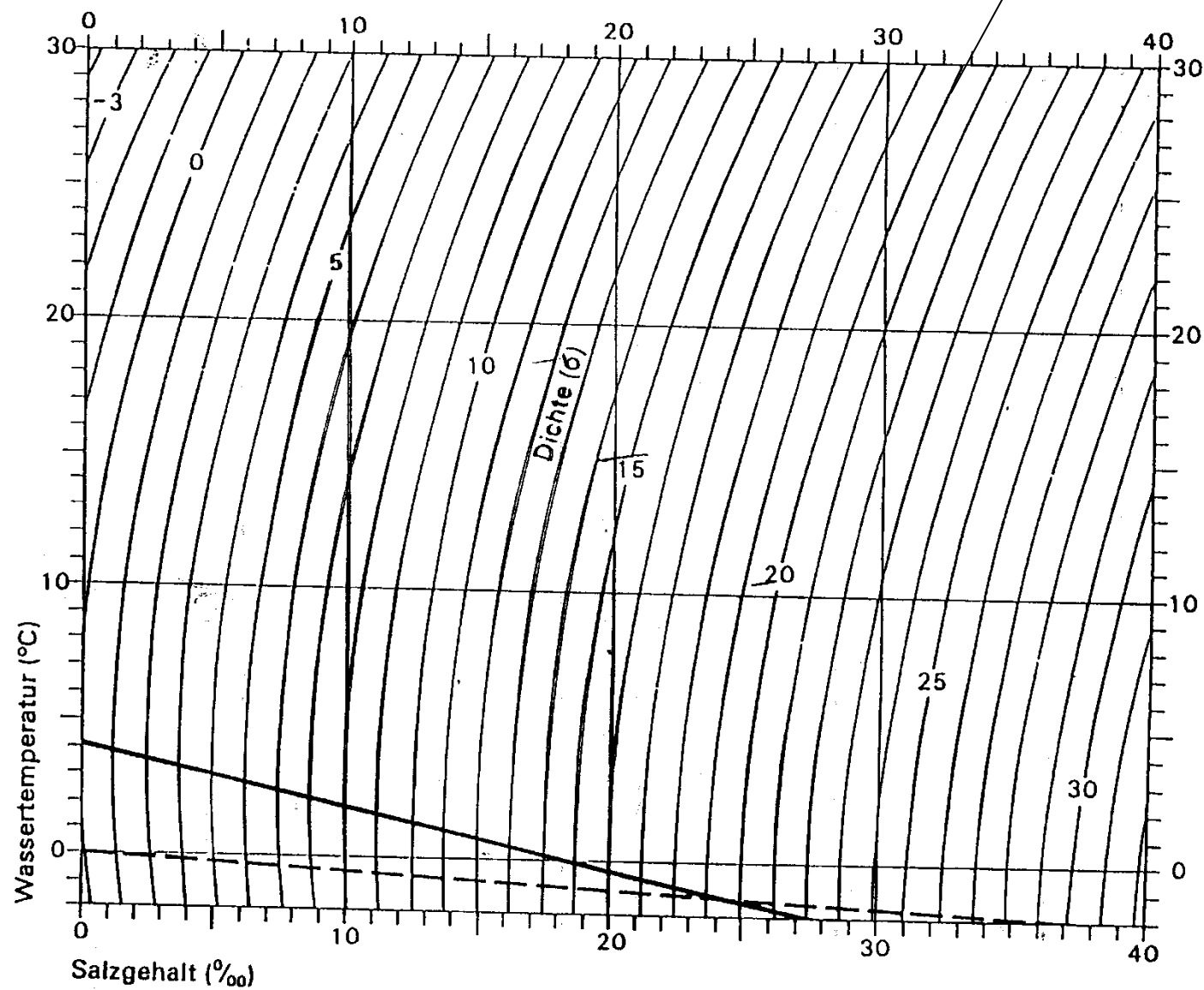


Dichte von 1 l Wasser: 1020 g/ccm

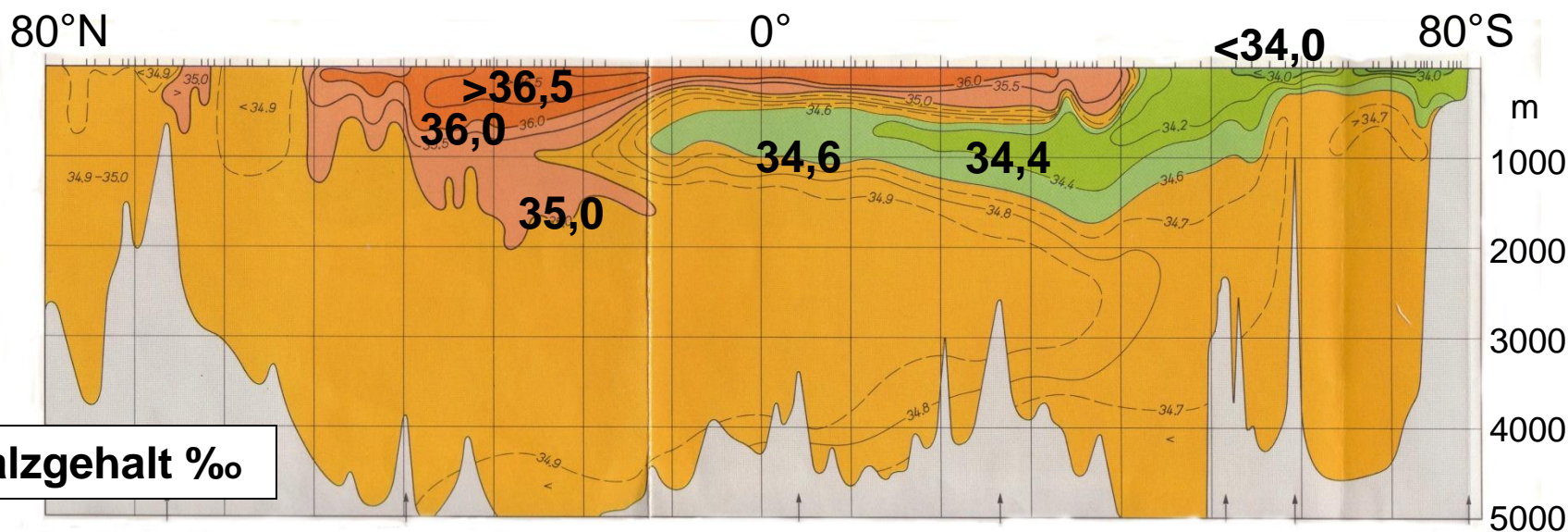
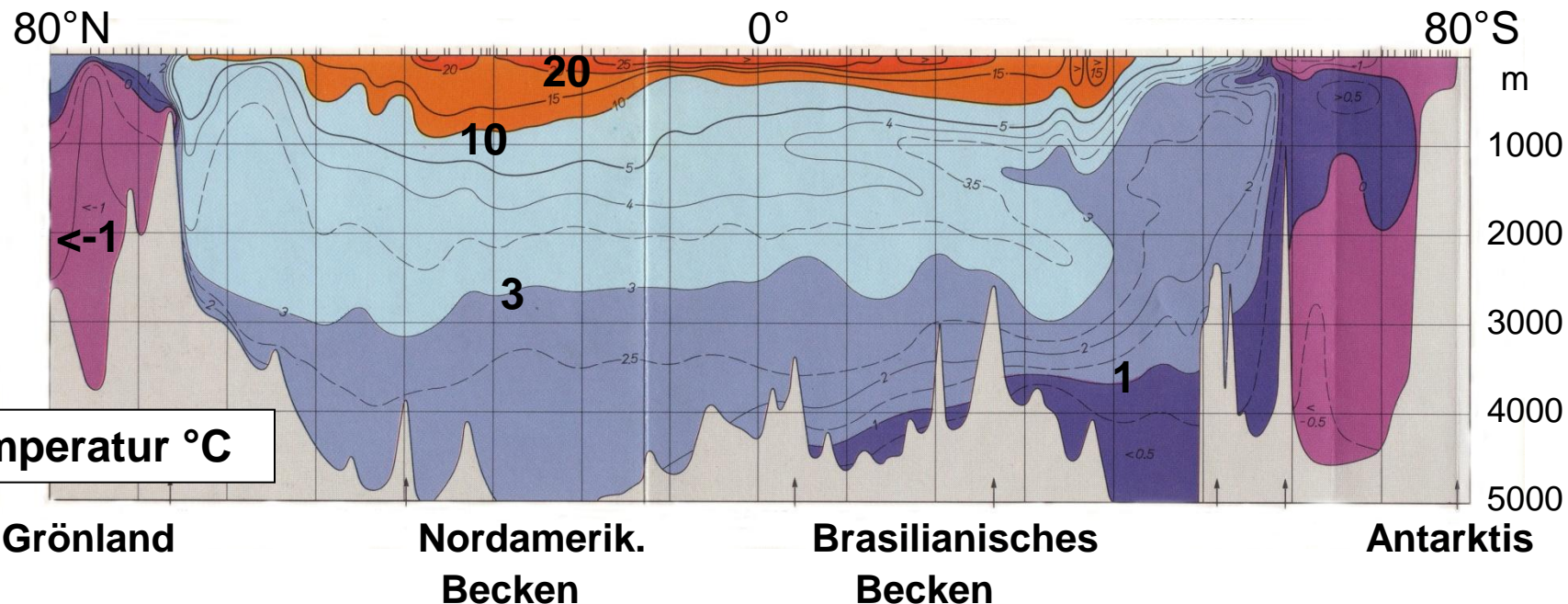
Abbildung 7
Dichte des
Meerwassers
[in $\delta = (\rho - 1) \cdot 1000$]
in Abhängigkeit von
Temperatur und
Salzgehalt
(nach DIETRICH u. a.
1975)

— Dichte-
maximum

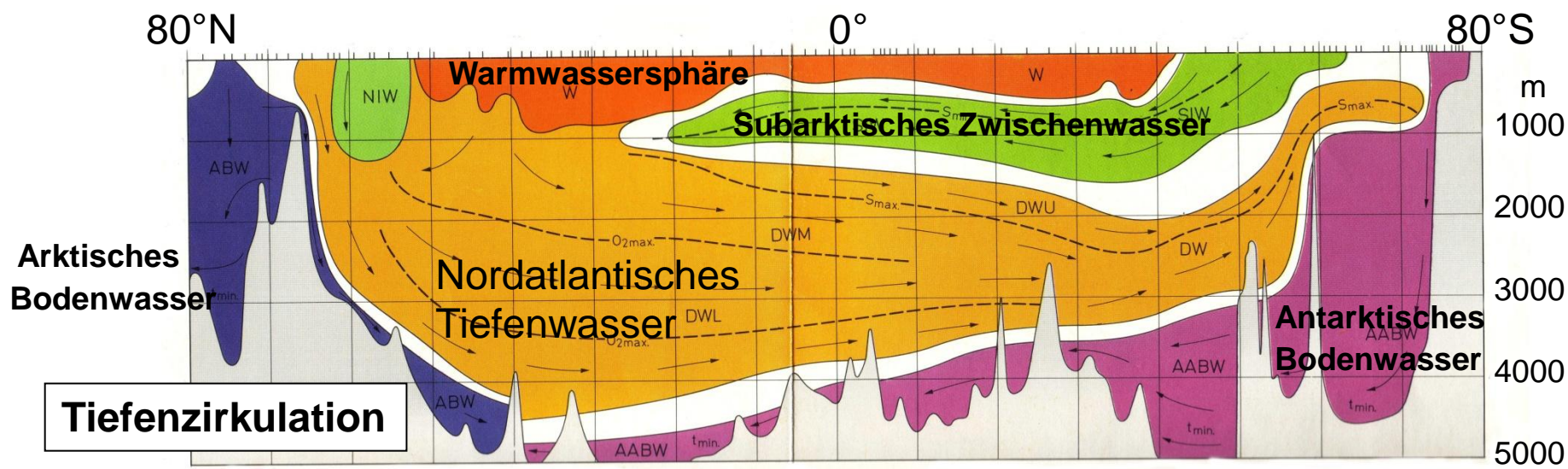
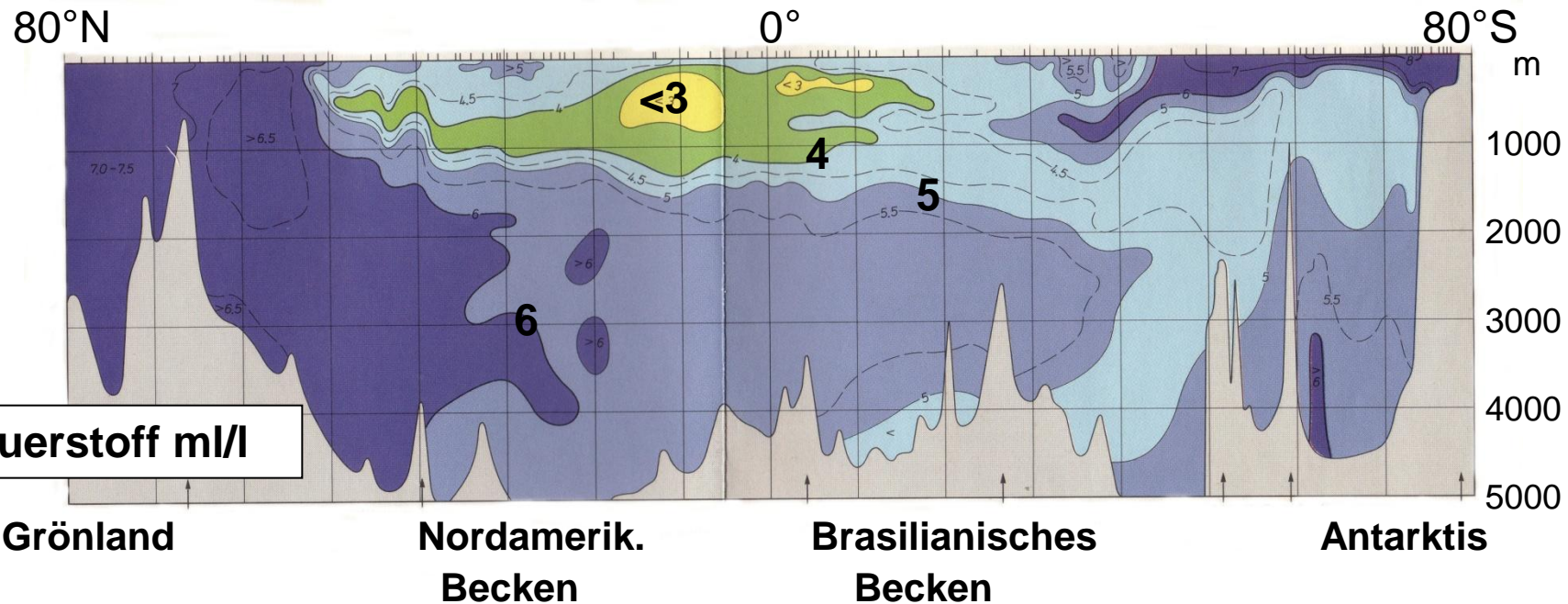
- - - Gefrierpunkt



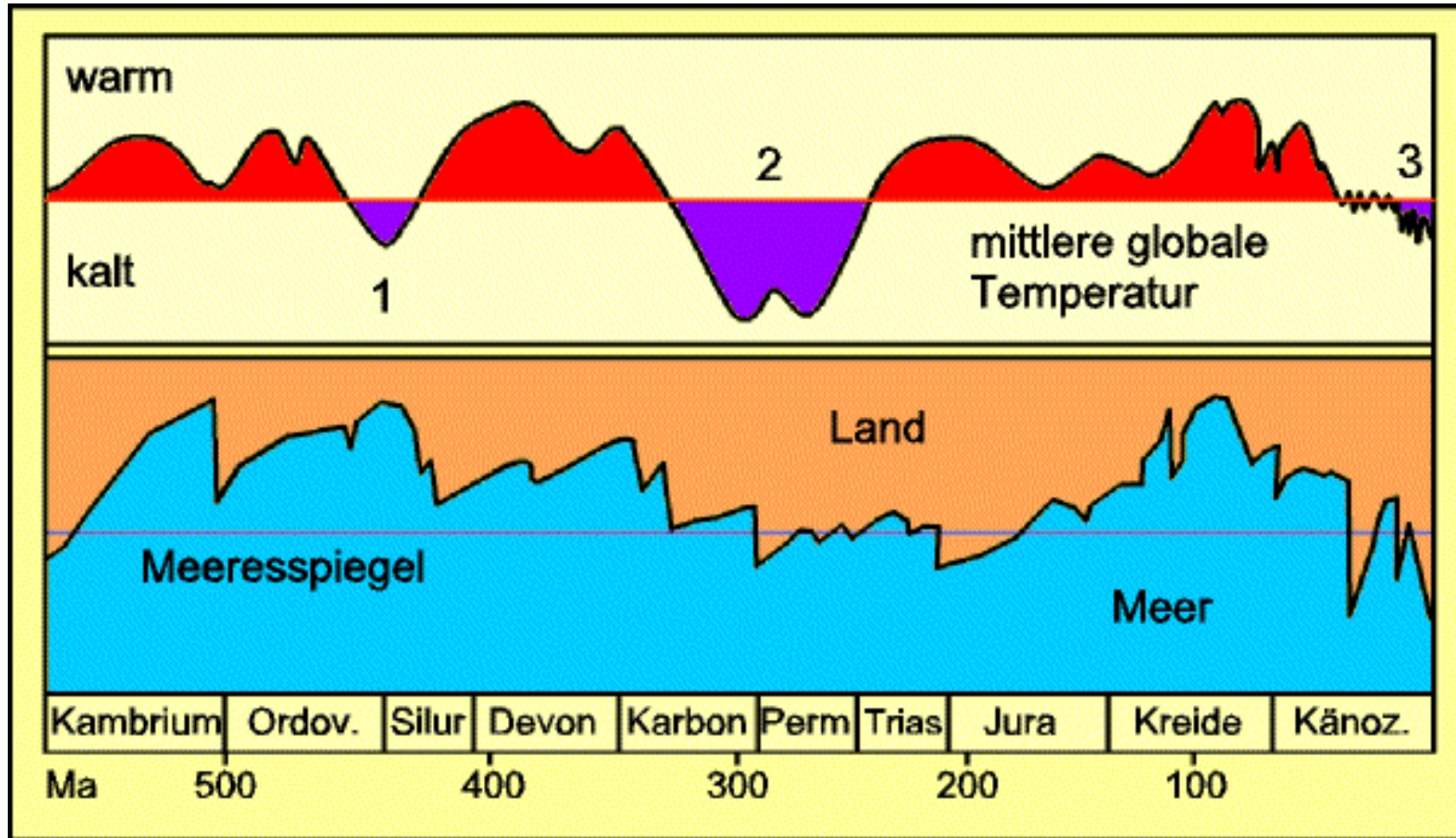
Längsschnitt durch den Atlantischen Ozean auf der Westseite



Längsschnitt durch den Atlantischen Ozean auf der Westseite



7. Stunde, Meeresspiegeländerungen



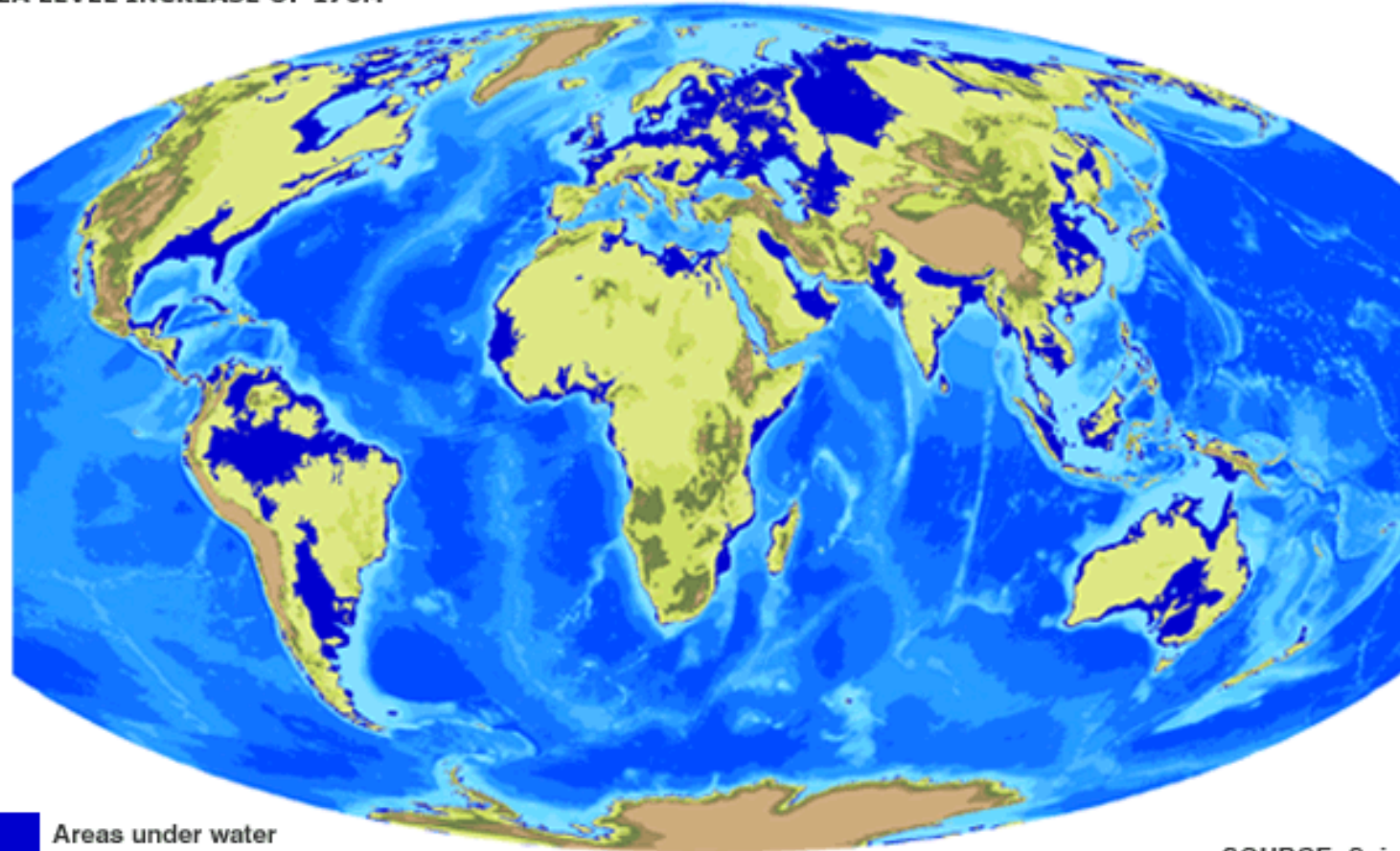
Die drei großen Eiszeiten (oben in violetter Farbe) im Phanerozoikum:

- 1 = Oberordovizium ("Sahara-Eiszeit")
- 2 = Permokarbon ("Gondwana-Vereis.")
- 3 = jungkänozoische Vereisung

nach Oschmann et al. (2000)

<http://www.geophysik.uni-kiel.de/~sabine/DieErde/Erdgeschichte/eiszeiten-phanero.html>

SEA LEVEL INCREASE OF 170M



SOURCE: Science

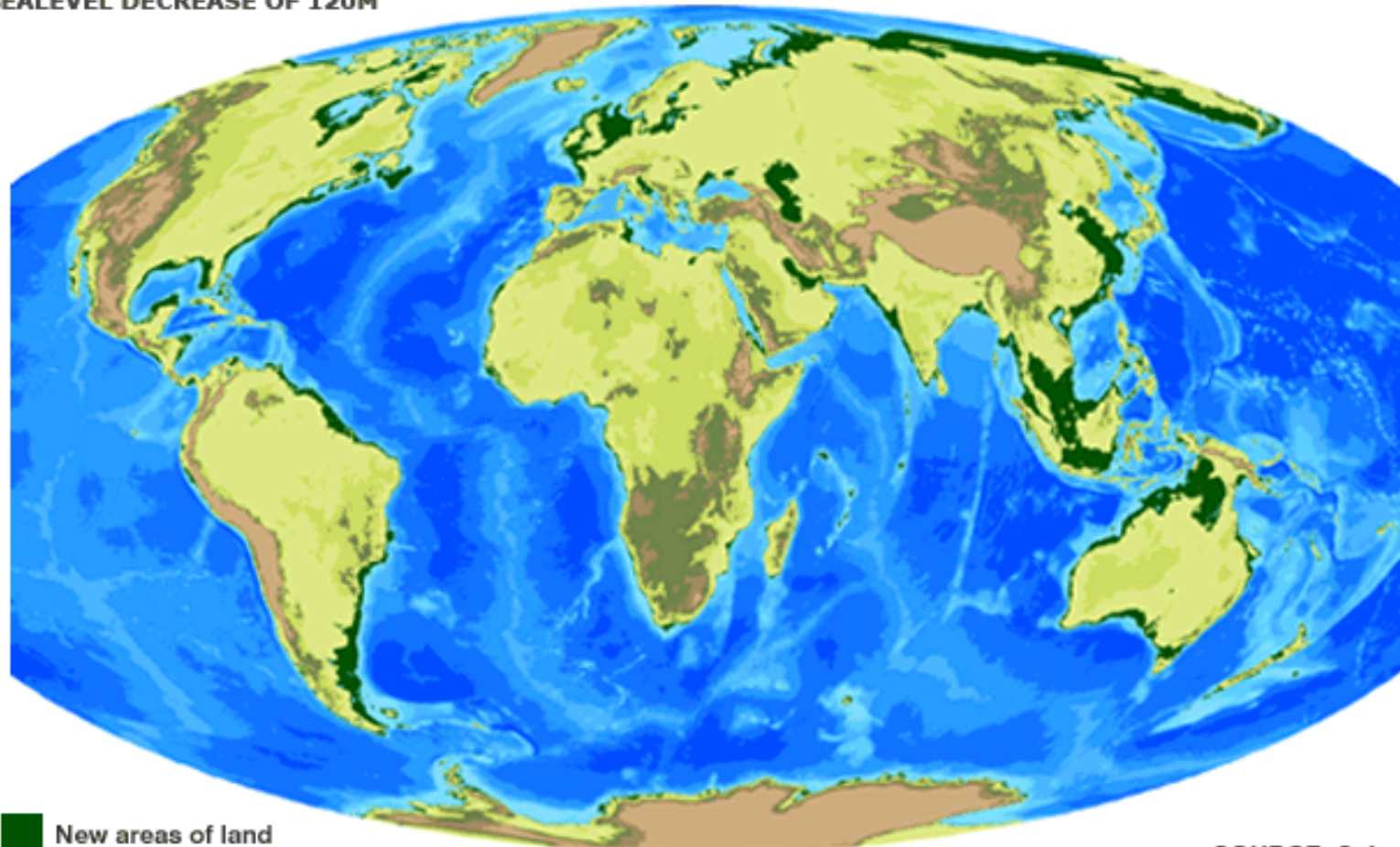
The effect of a 170m sea level rise superimposed on today's continents. Modelling work led from the University of Sydney, Australia, shows how sea levels were considerably higher 80 million years ago in the Cretaceous Period.

(Images courtesy of R. Dietmar Muller)

BBC news

newsimg.bbc.co.uk/media/images/44476000/gif_

SEALEVEL DECREASE OF 120M



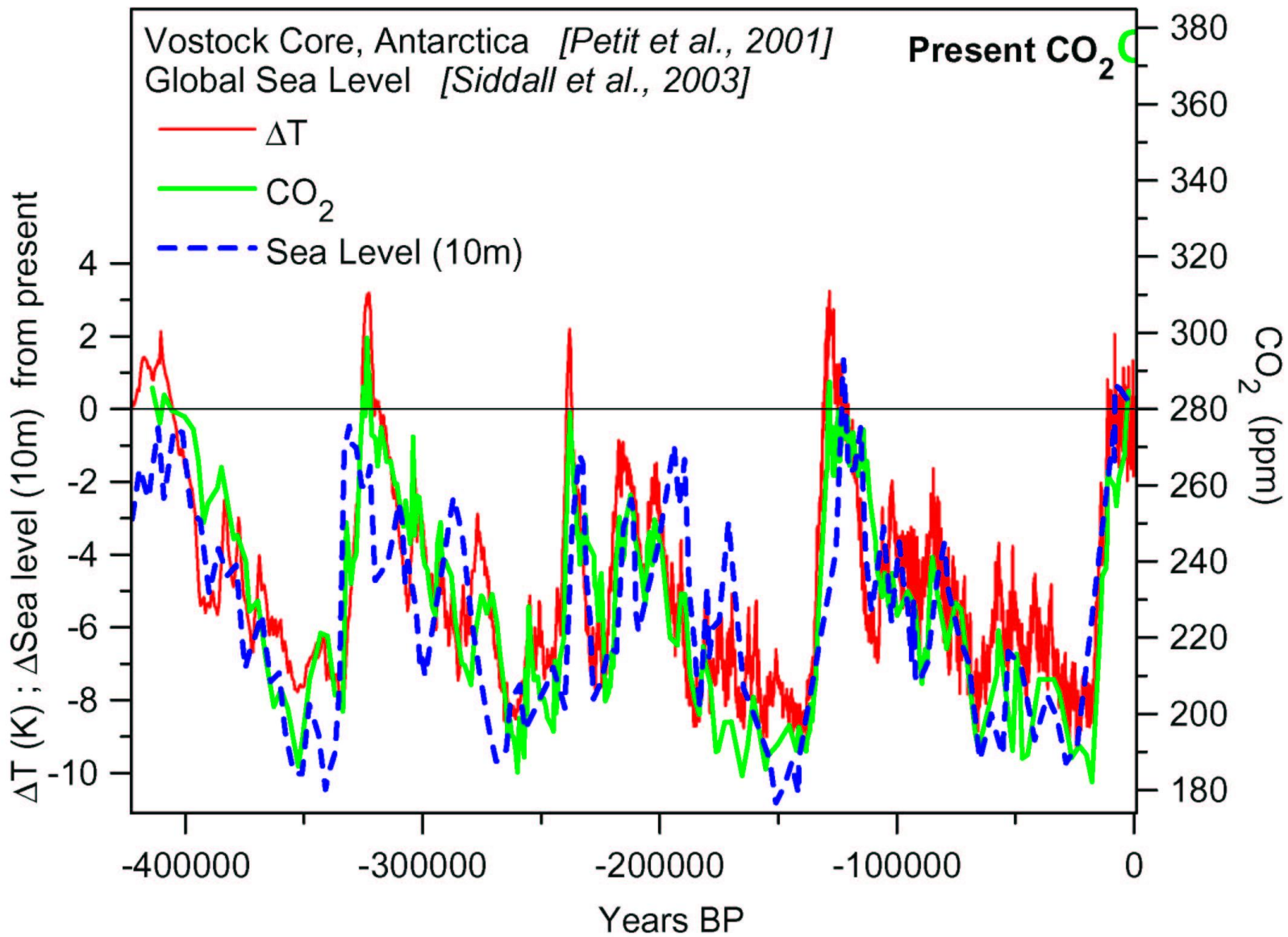
New areas of land

SOURCE: Science

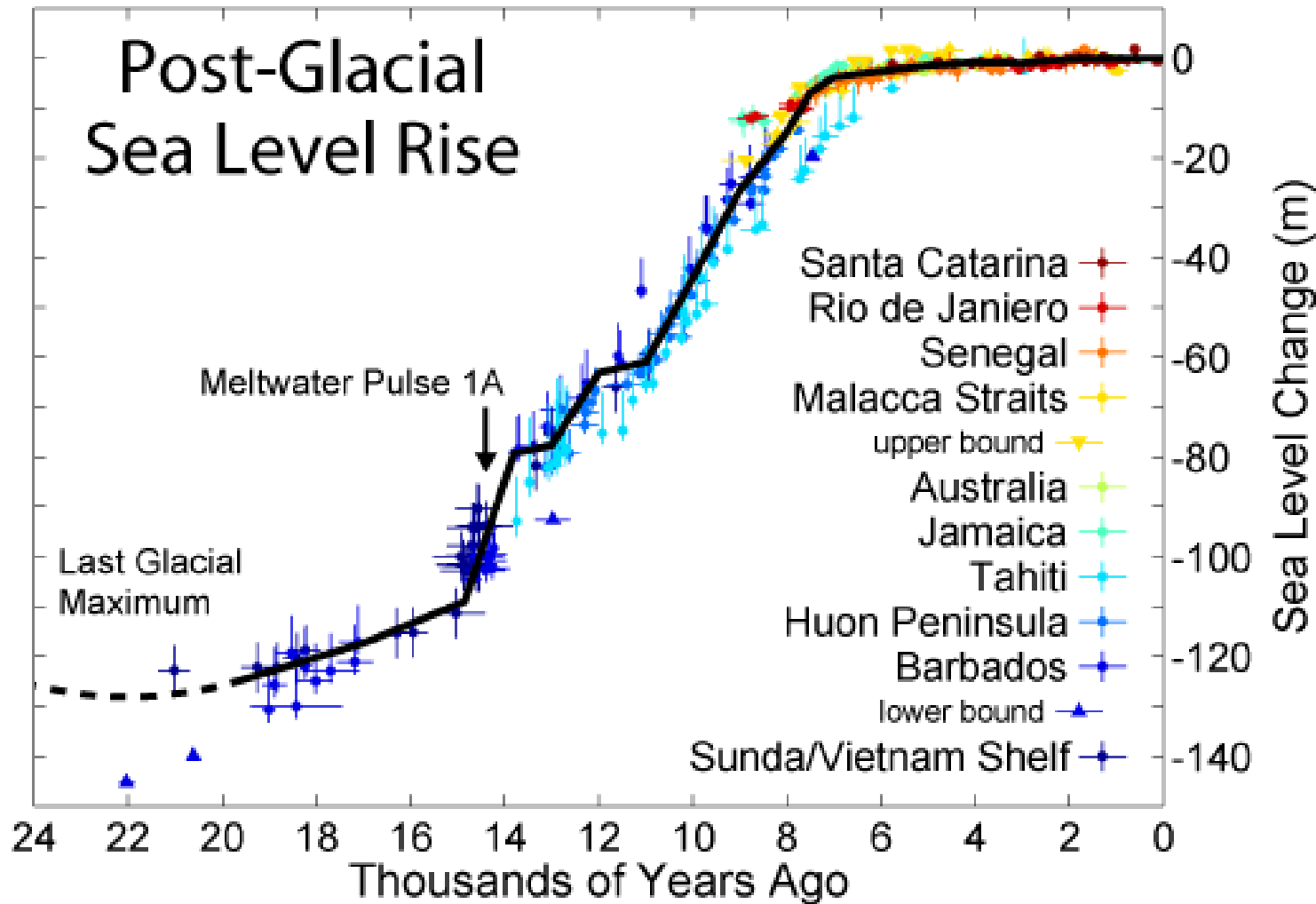
(Images courtesy of R. Dietmar Muller)

BBC news

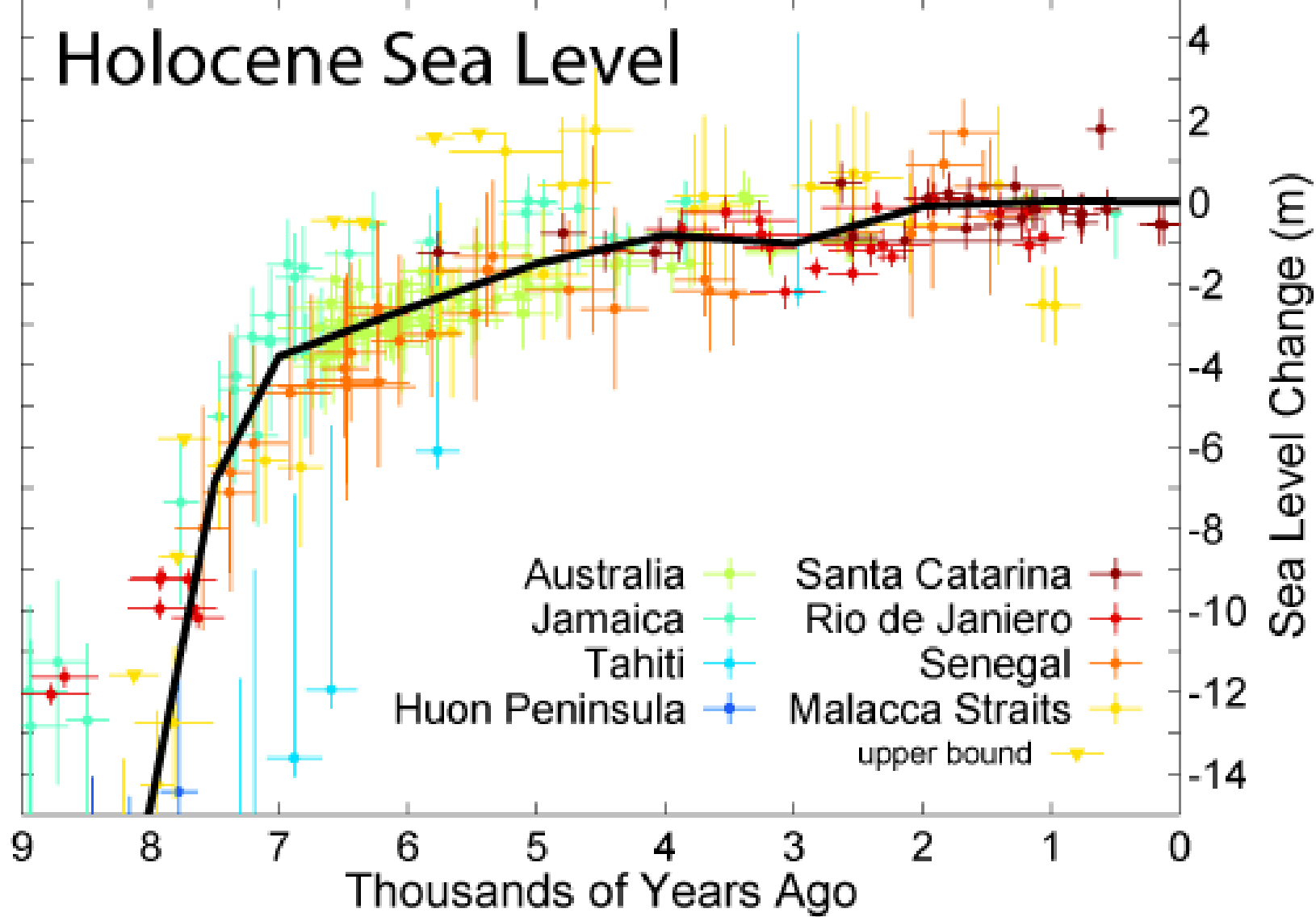
newsimg.bbc.co.uk/media/images/44476000/gif/_



Post-Glacial Sea Level Rise

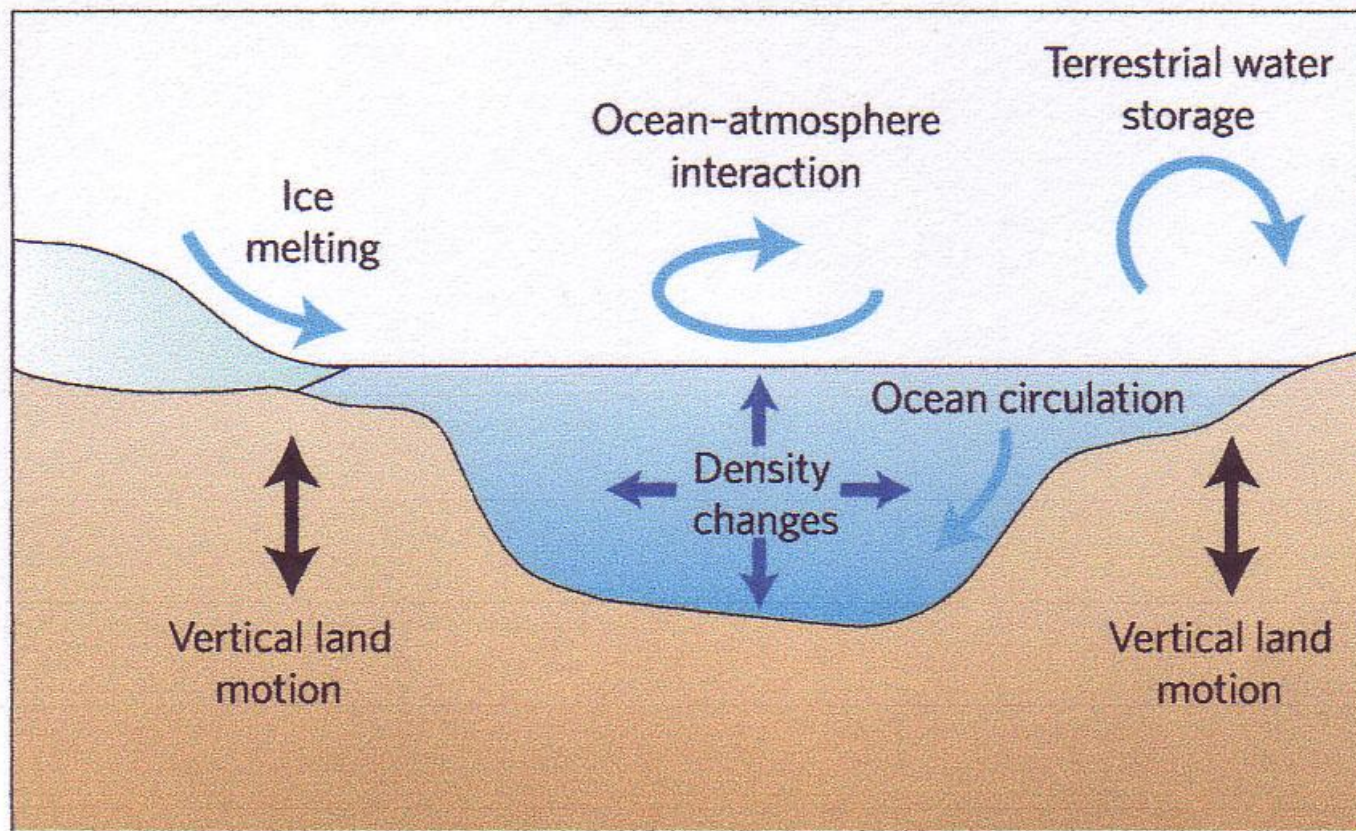


Holocene Sea Level



Fleming et al. 1998, Fleming 2000, & Milne et al. 2005

http://globalicwarming.com/sea_levels/



8. Stunde, Eisschilde, Eiskerne

Kältemaximum (21.000 BP)

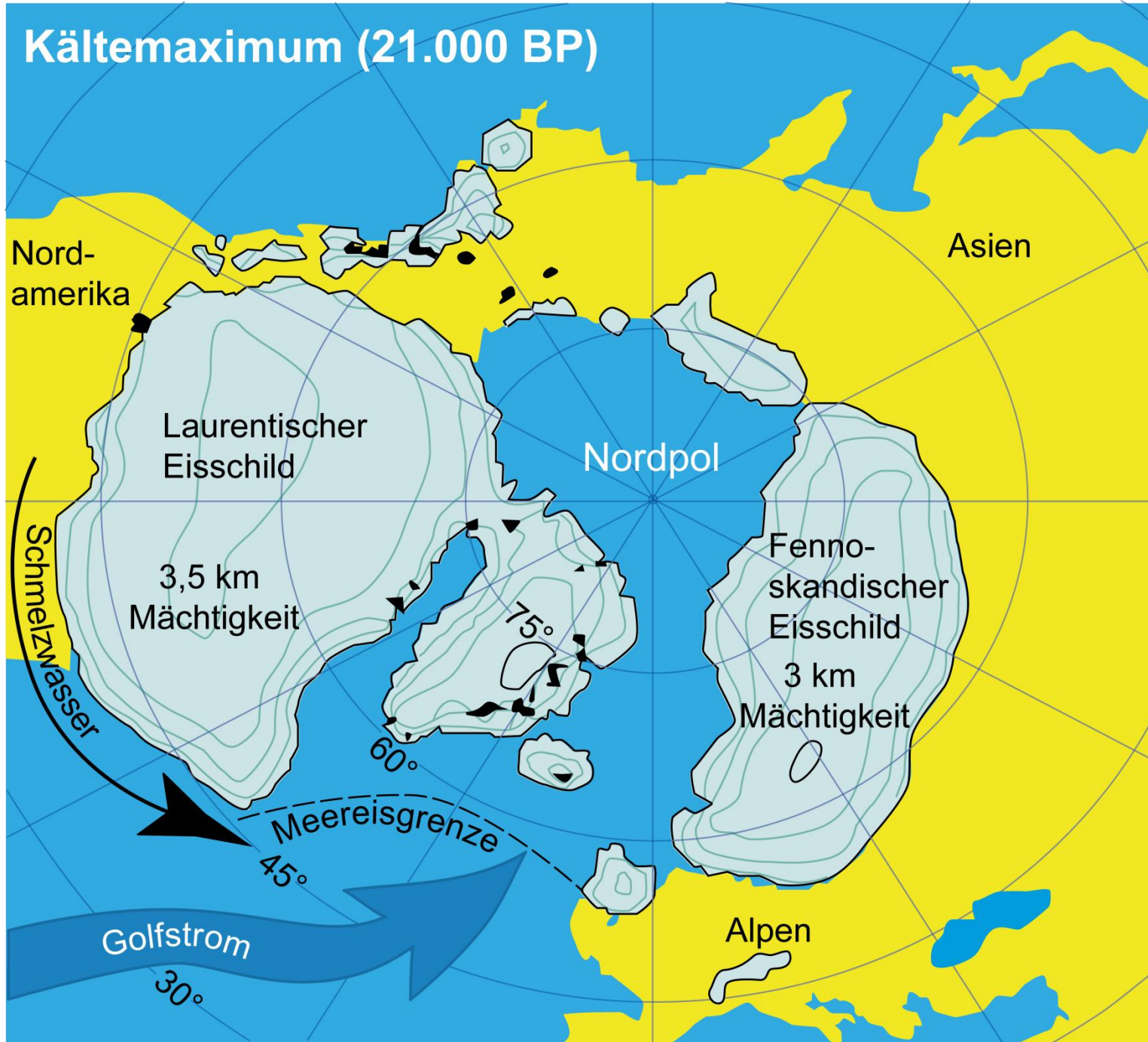


Abbildung aus: Sirocko (2009)

$\delta^{18}\text{O}$

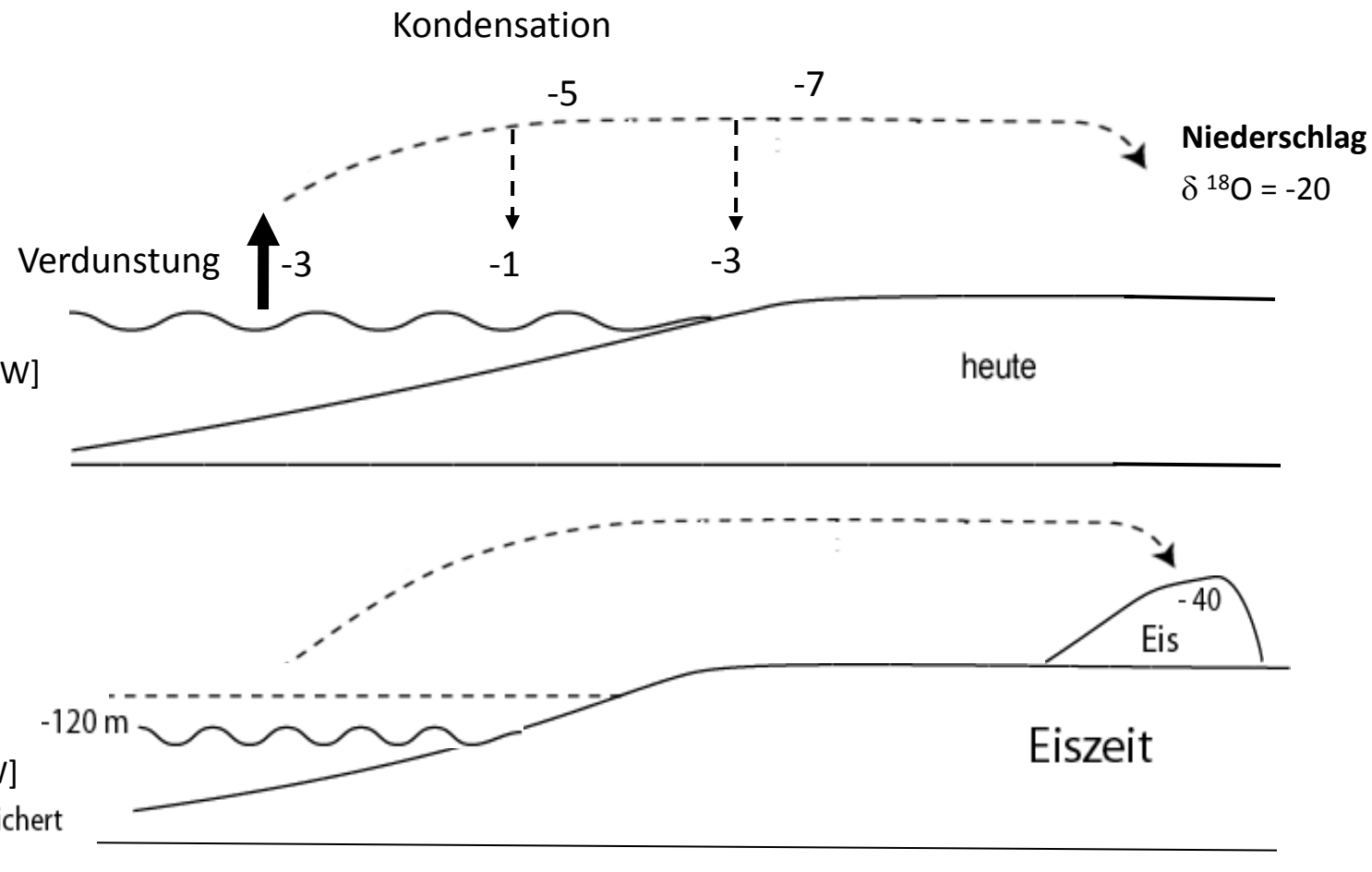
$$\begin{aligned} {}^{16}\text{O} &= 99,63 \% \\ {}^{17}\text{O} &= 0,0375 \% \\ {}^{18}\text{O} &= 0,1995 \% \end{aligned}$$

stabile Isotope

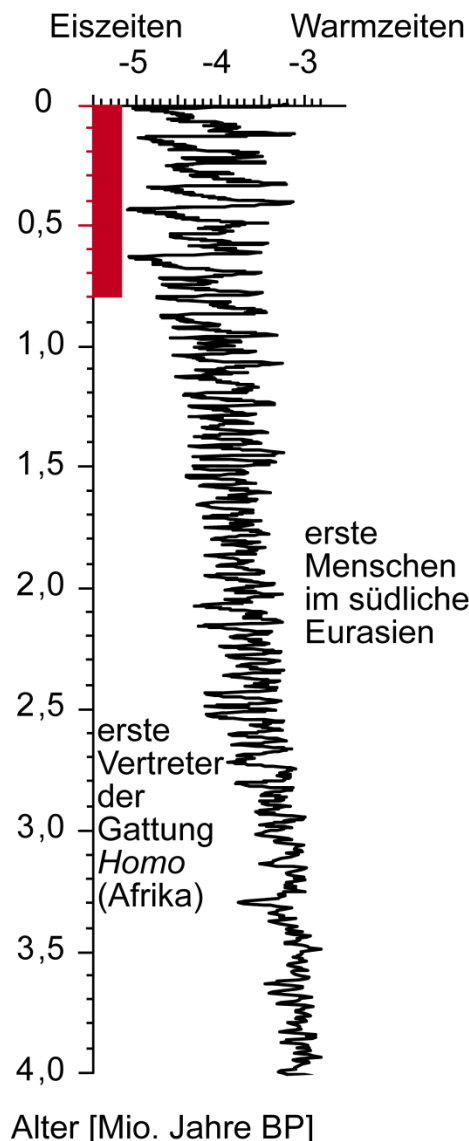
$$\delta^{18}\text{O} = \left[\frac{({}^{18}\text{O}/{}^{16}\text{O})_{sp1} - ({}^{18}\text{O}/{}^{16}\text{O})_{SMOW}}{({}^{18}\text{O}/{}^{16}\text{O})_{SMOW}} \right] \times 10^3$$

SMOW = standard mean ocean water

Kalke: CaCO_3

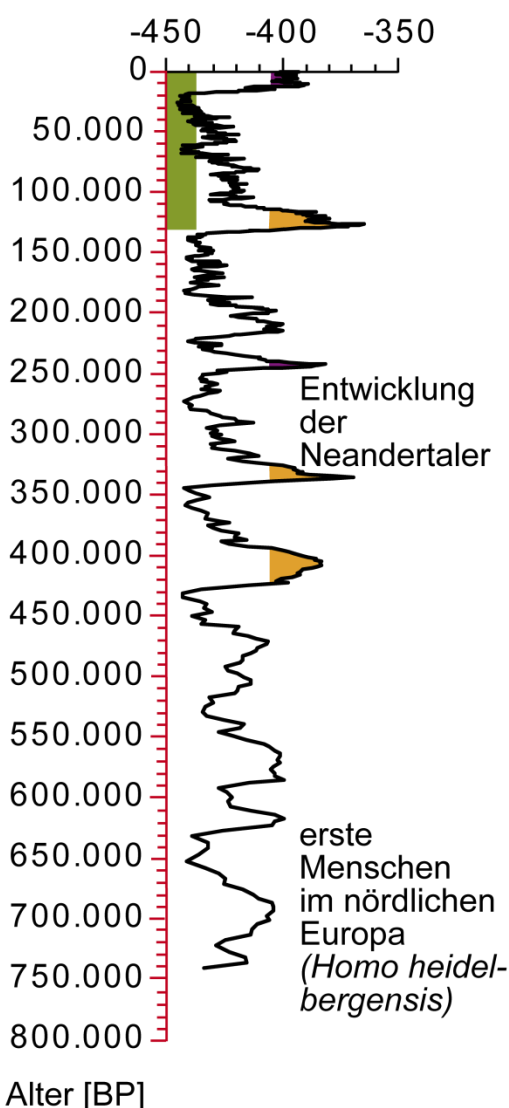


(a) Mariner Bohrkern
Eisvolumenindex
[$\delta^{18}\text{O}$]



LISIECKY & RAYMO (2005)

(b) Antarktischer Eiskern
Temperaturindex
[δD]



EPICA (2005)

(c) Grönlandischer Eiskern
Temperaturindex
[$\delta^{18}\text{O}$]

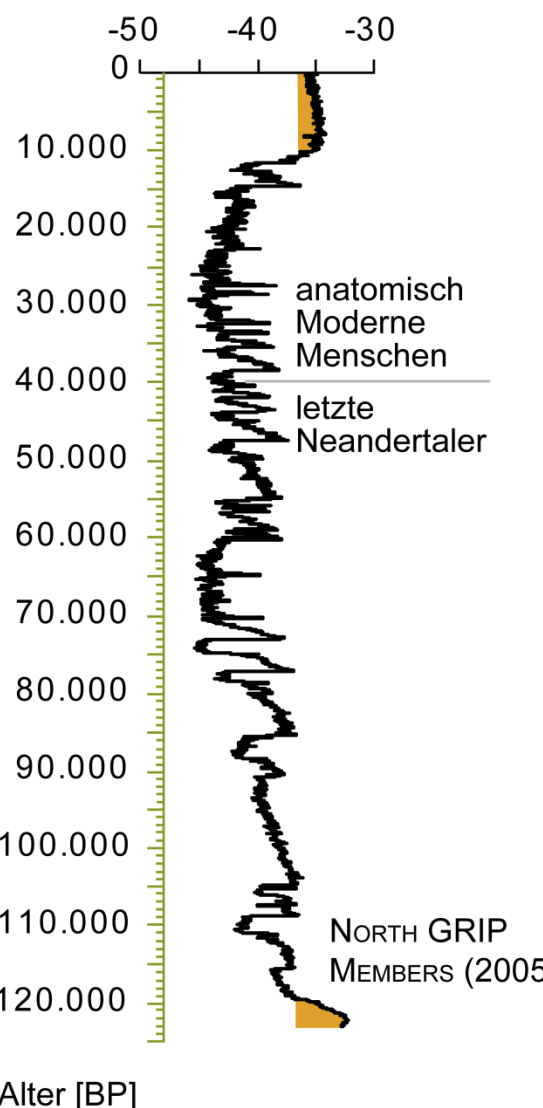
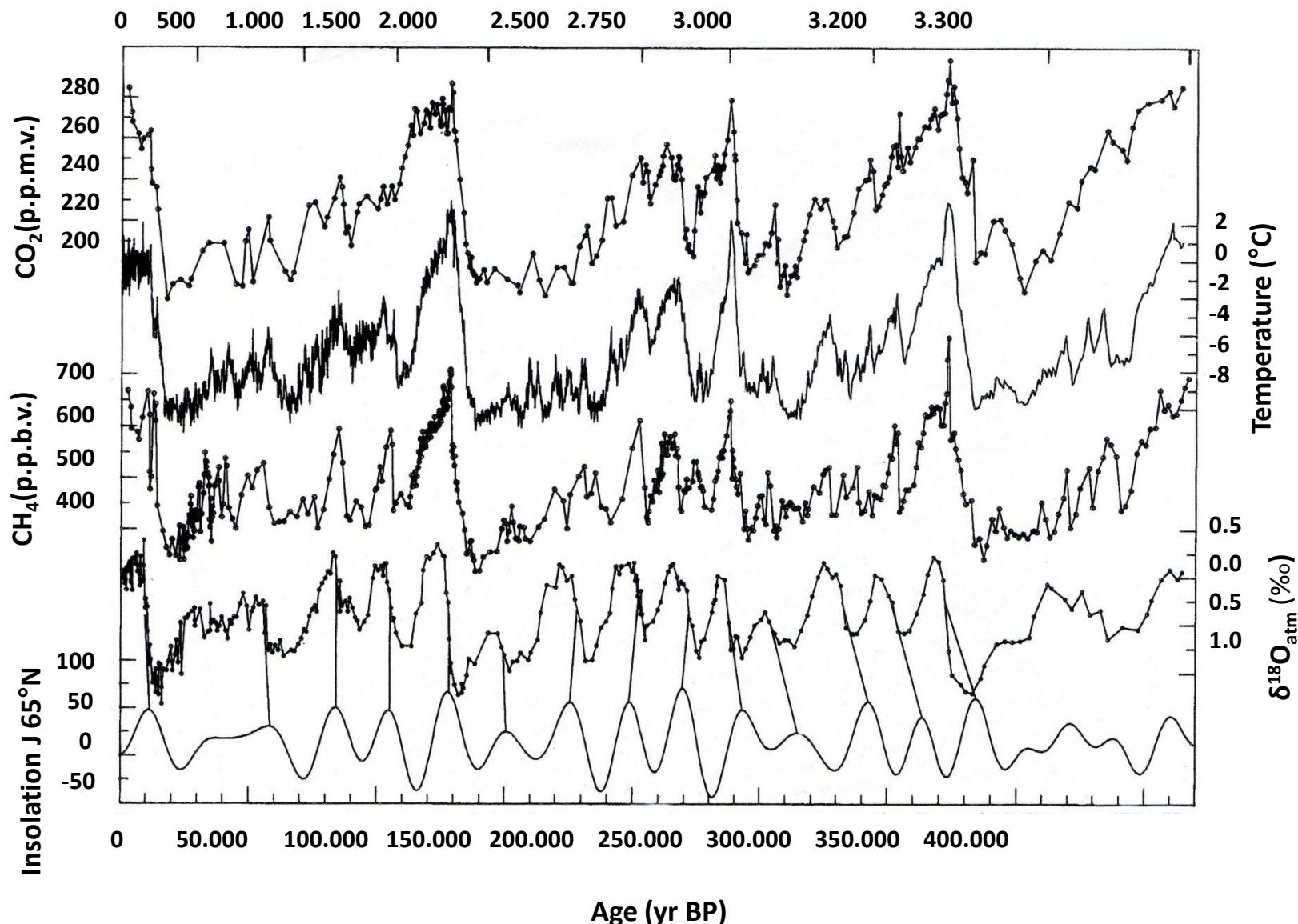
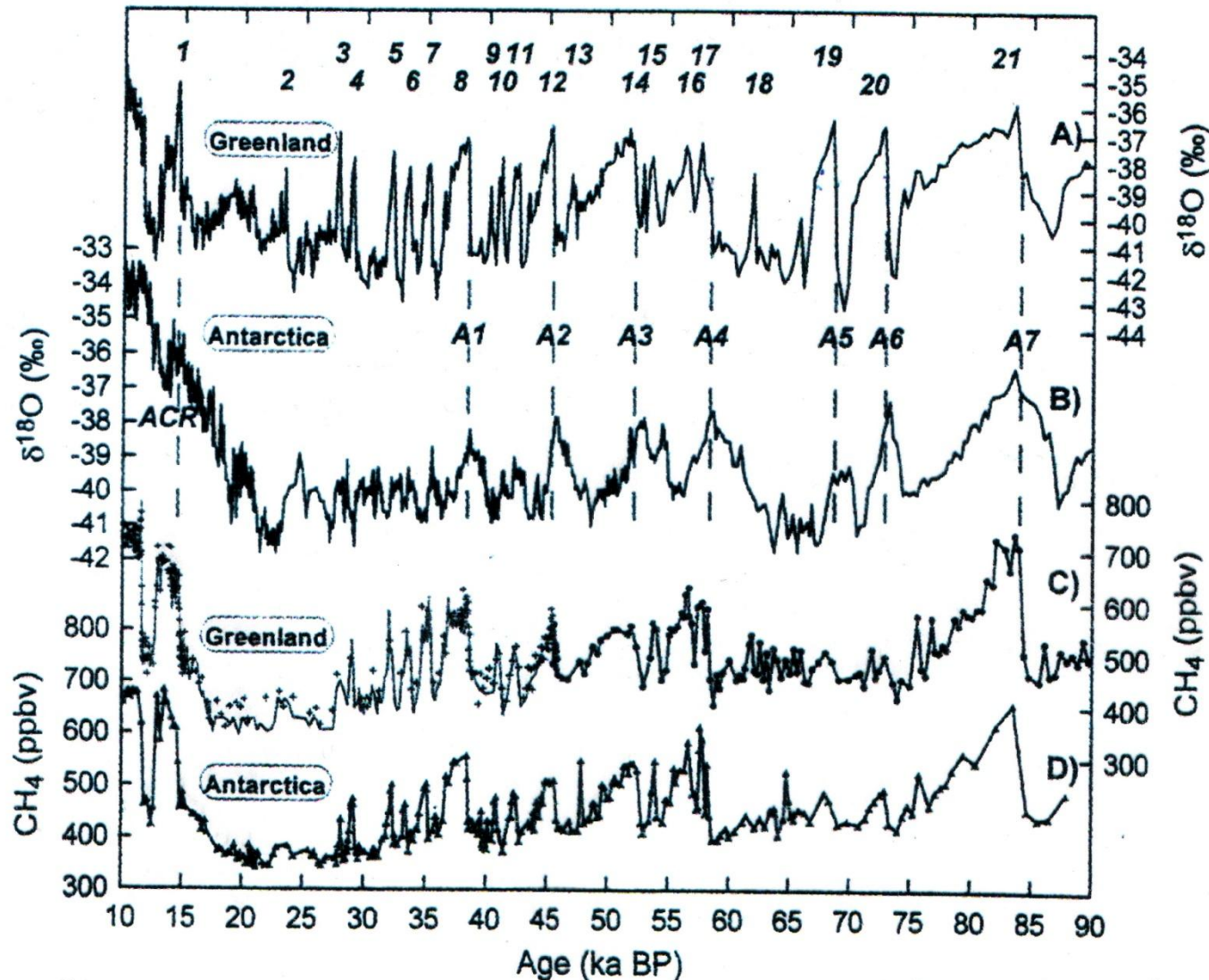


Abbildung aus: Sirocko (2009)



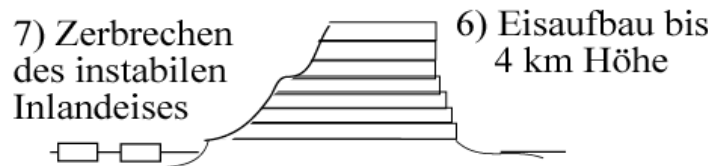
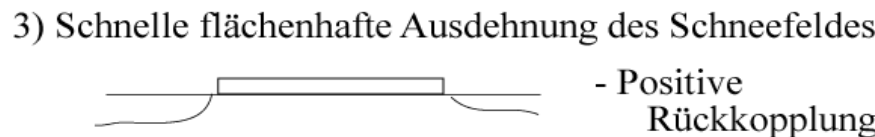
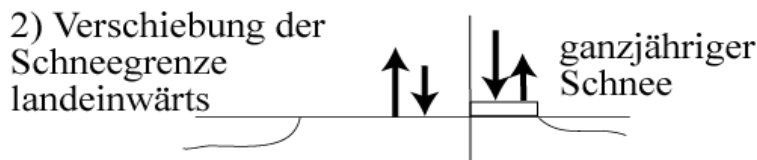
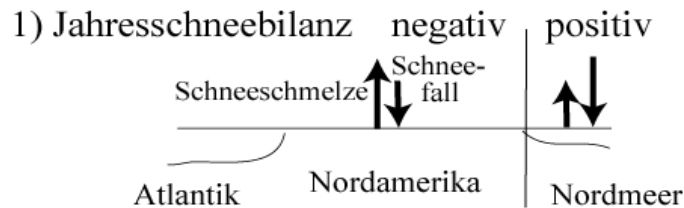
Petit et al. 1999



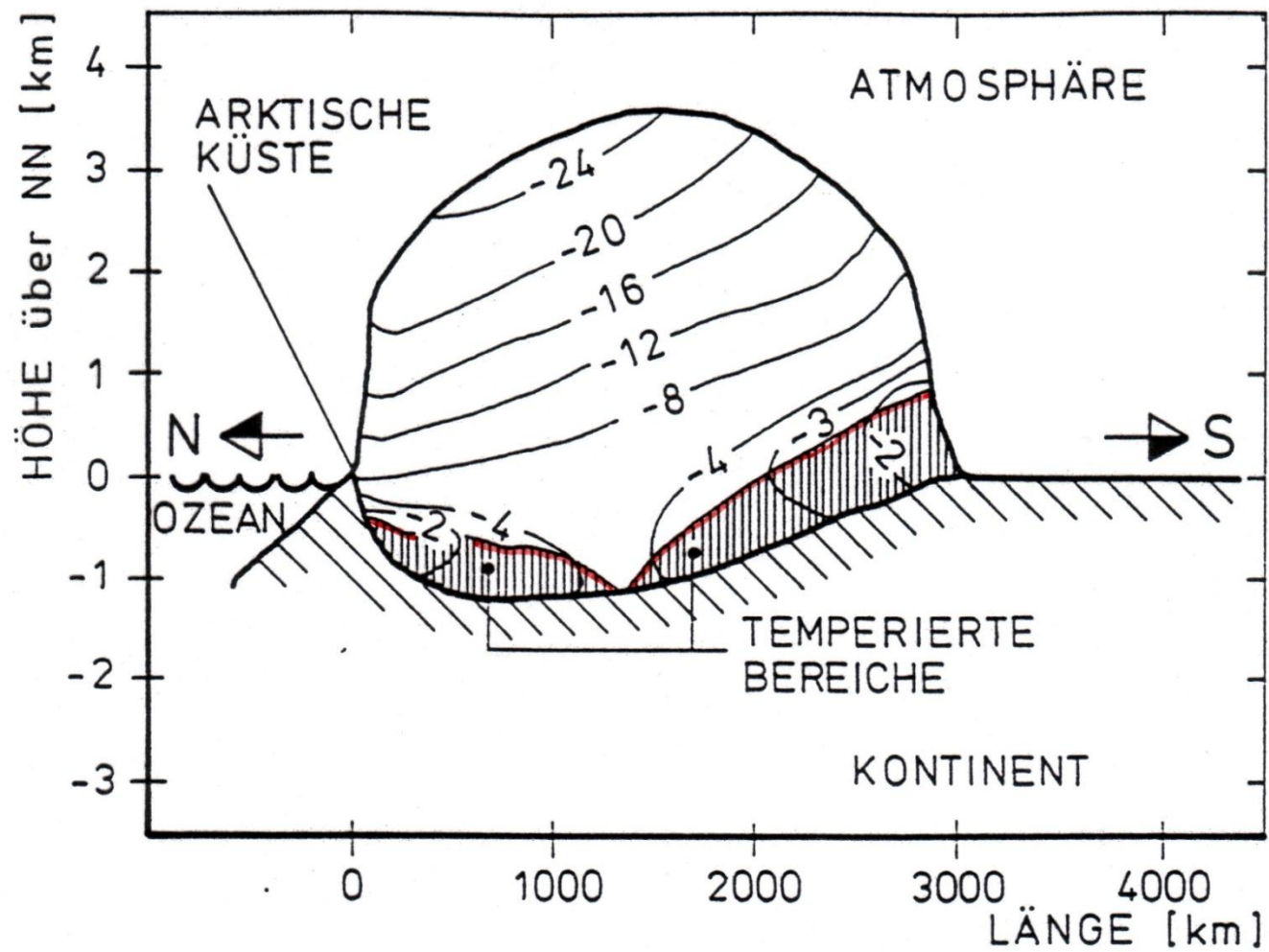
Blunier
2001

Fig. 1. Isotopic and CH_4 data from Greenland and Antarctica on the GISP2 time scale. Dashed lines indicate the onset of major D-O events. (A) $\delta^{18}\text{O}_{\text{ice}}$ from GISP2, Greenland (16). (B) $\delta^{18}\text{O}_{\text{ice}}$ from Byrd station, West Antarctica (23). (C) CH_4 data from GISP2 and GRIP. Crosses and dots are from GISP2 [(4) and new data]; the solid gray line is from GRIP (2, 8). The solid line runs through the data used for the synchronization: GISP2 (black line) up to 45.5 ka and GRIP data (gray line) from 45.5 ka to the Holocene. (D) CH_4 data from Byrd station [(2) and r---/ data]. Data are available as supplemental information on Science Online (10) and at the NOAA Geophysical Data Center (5).

Aufbau und Zerfall eines Inlandeises



- 8) Eisberge, Abkühlung Meeresoberflächentemperaturen
- 9) Verringerte Tiefenwasserbildung durch Süßwasser auf der Meeresoberfläche
- 10) Ausbleiben des Golfstromes im Nordatlantik
- 11) Aridifizierung und Abkühlung in Europa



Temperaturverteilung im Eisschild

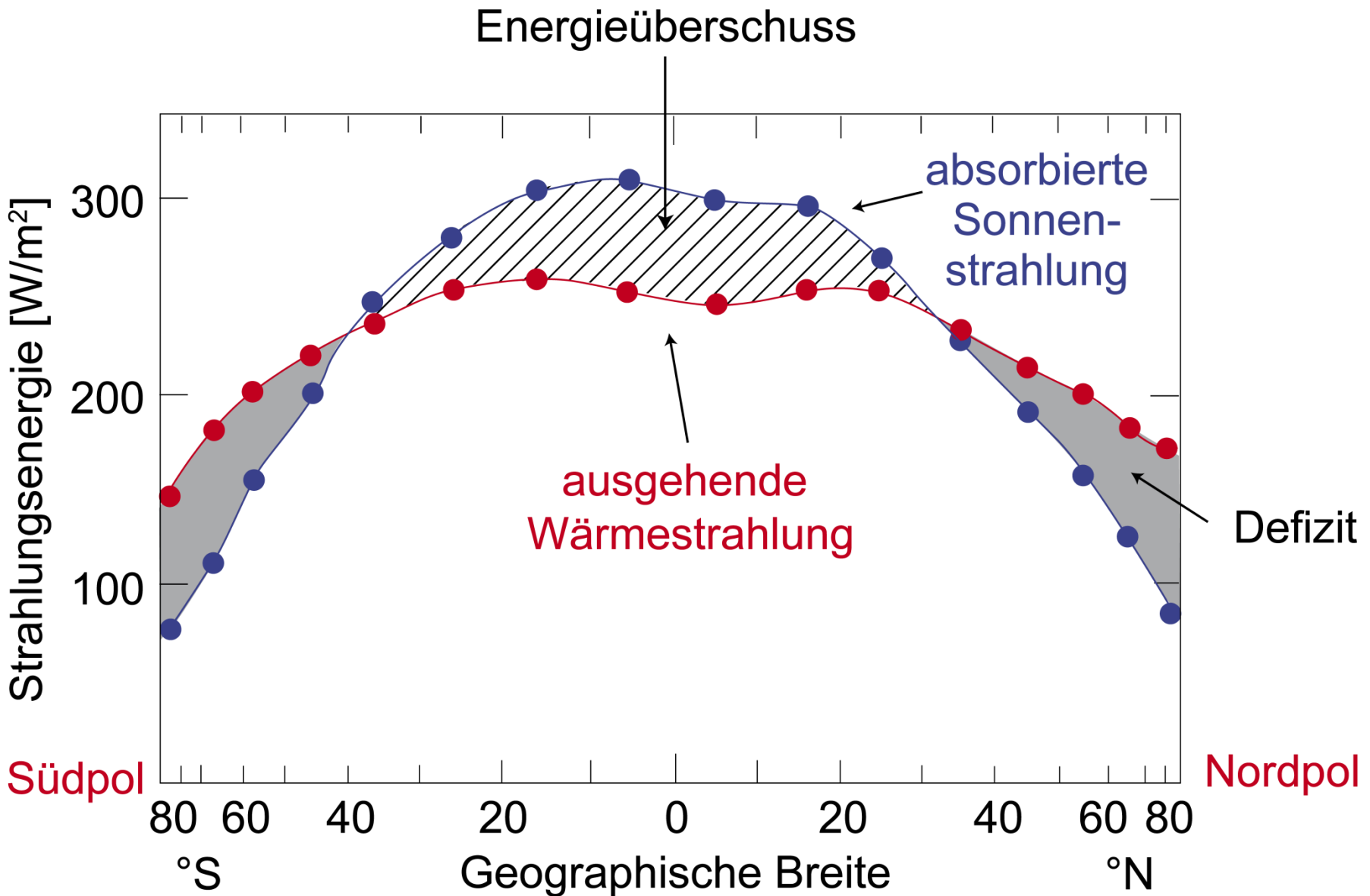
Herterich, 1990



Hebungsrate
für Skandinavien
[mm/Jahr]

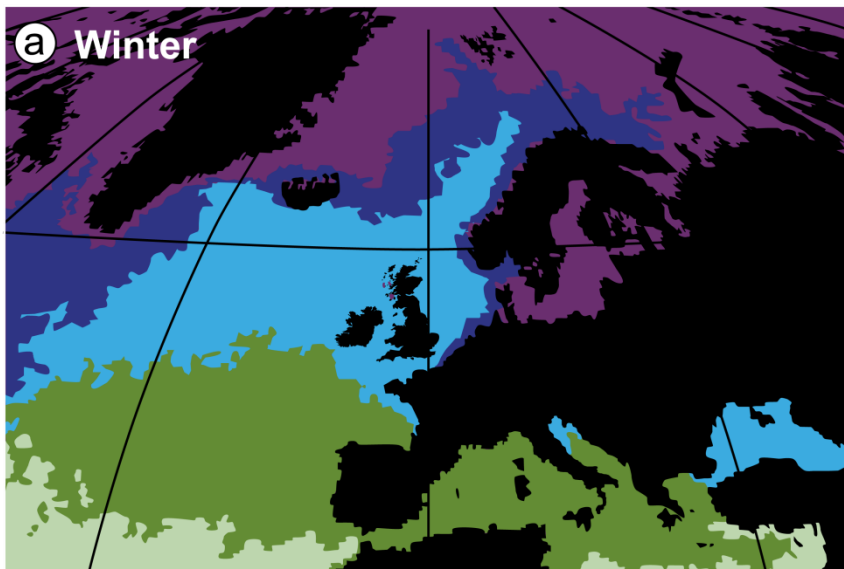
Flint, 1971

9. Stunde, Klimageschichte Grundlagen

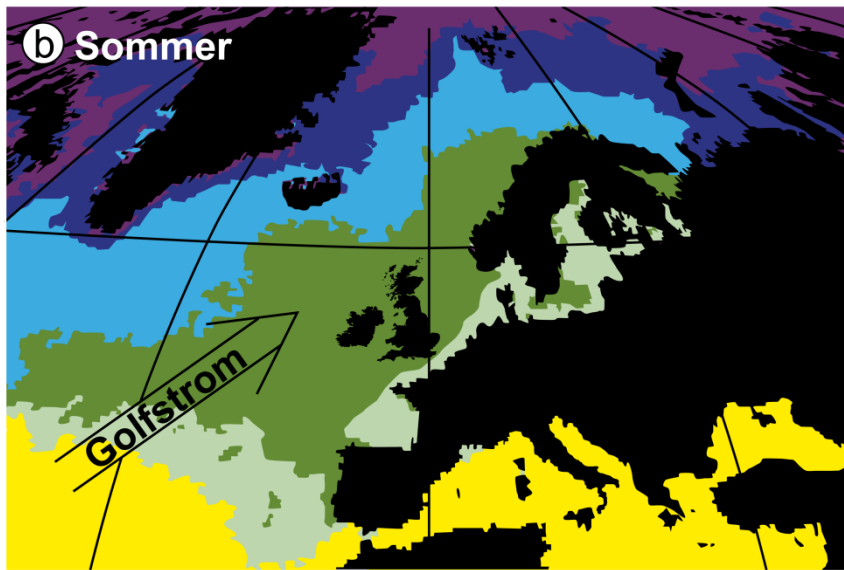


Meeresoberflächentemperatur

a Winter



b Sommer



< 2 °C	6°–10 °C	16°–20 °C	Land
2°–6 °C	10°–16 °C	> 20 °C	

Abbildung aus: Sirocko (2009)

Grundstruktur der Wärmeadvektion vom Nordatlantik nach Europa

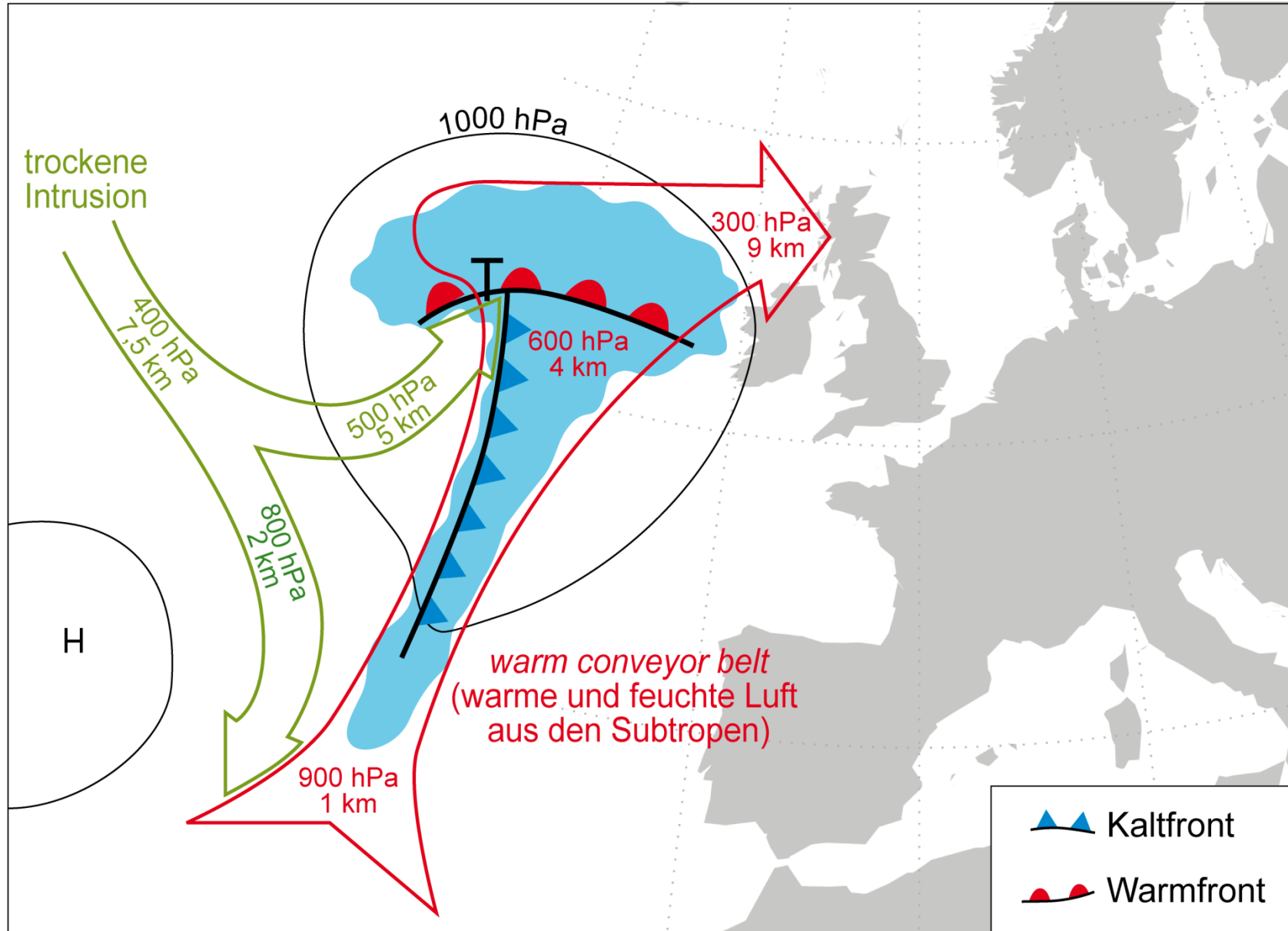
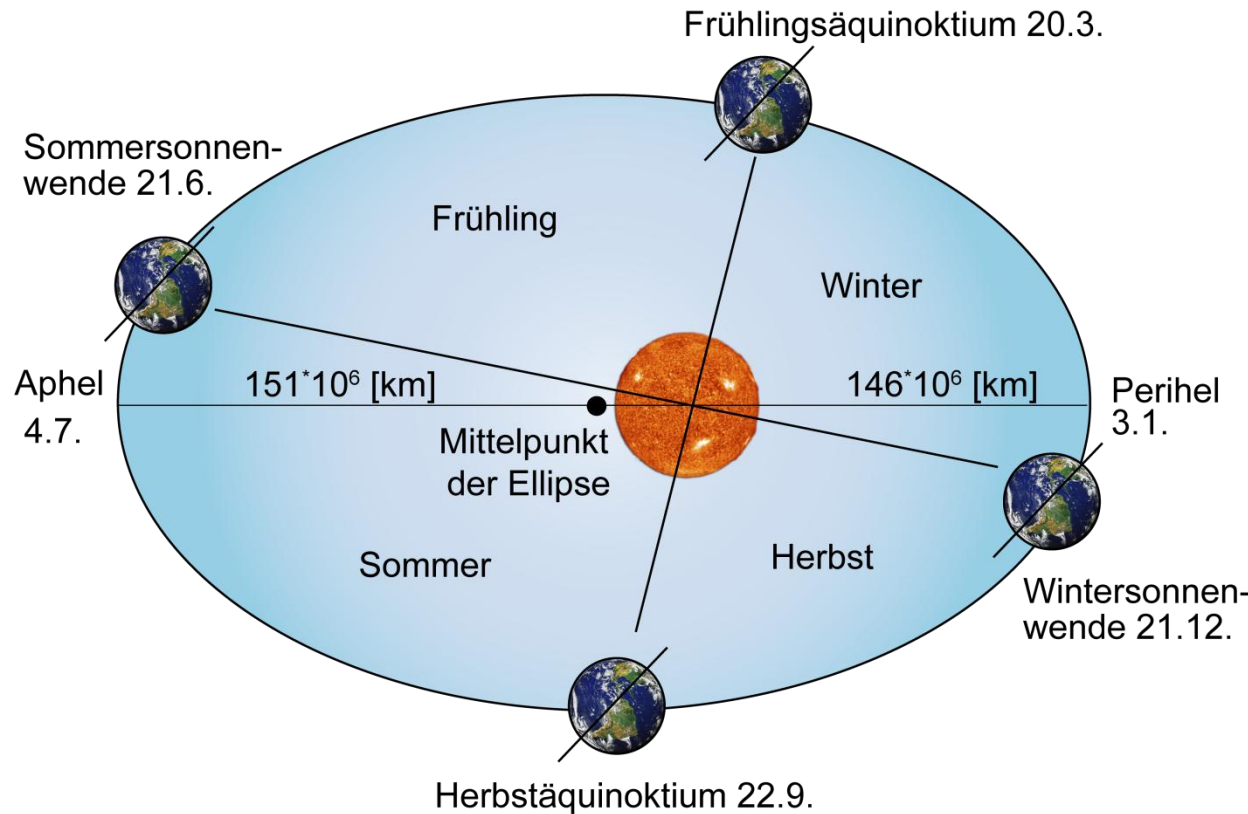


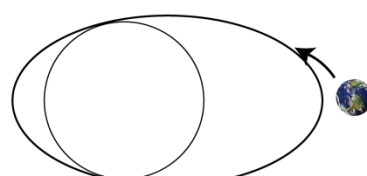
Abbildung aus: Sirocko (2009)

Die 5 „Global Player“ im Klimasystem

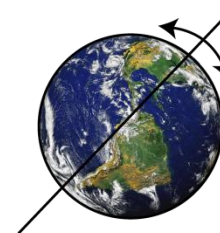
Gobal Player 1: Konstellation Sonne - Erde



Exzentrizität der Umlaufbahn
100.000 Jahre



Schiefe der Erdachse
40.000 Jahre 23,5° ± 1,5°



Präzession der Erdachse
22.000 Jahre

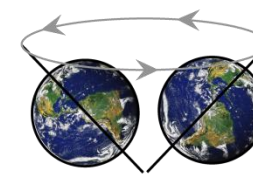


Abbildung aus: Sirocko (2009)

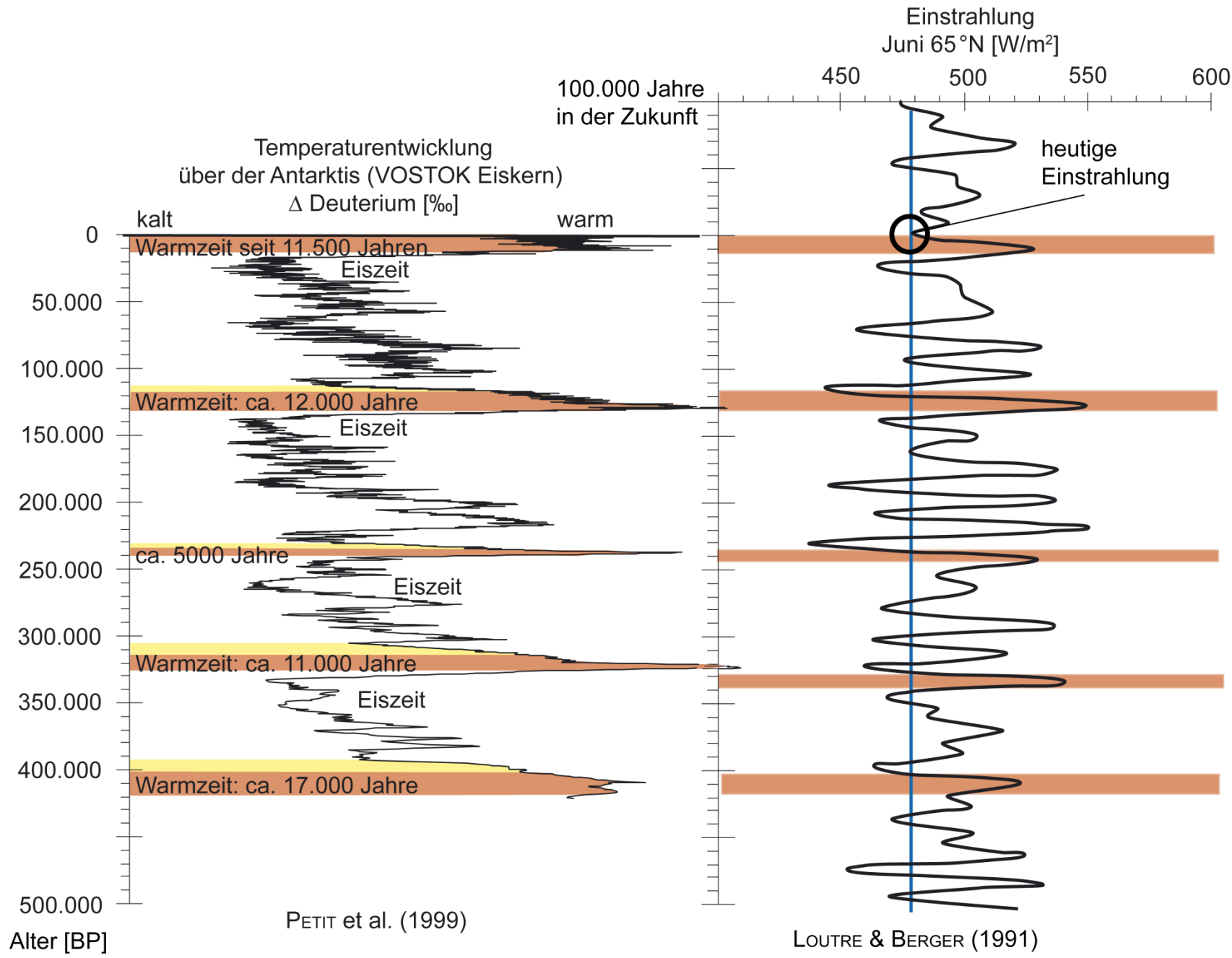


Abbildung aus: Sirocko (2009)

Gobal Player 2: Aktivität der Sonne

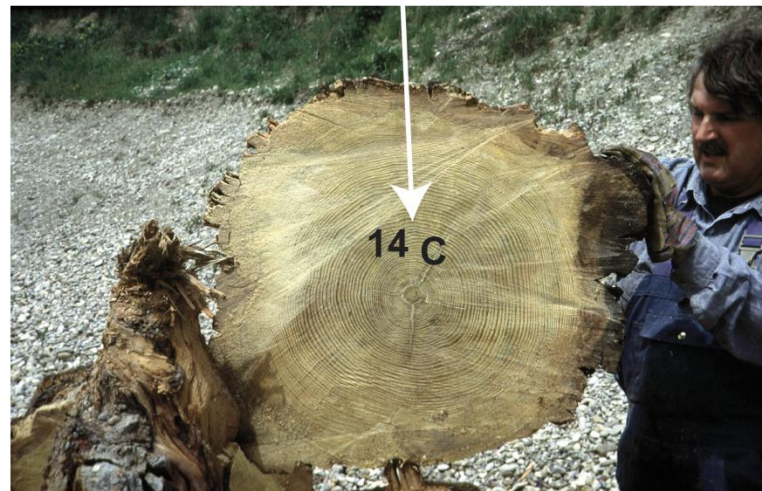
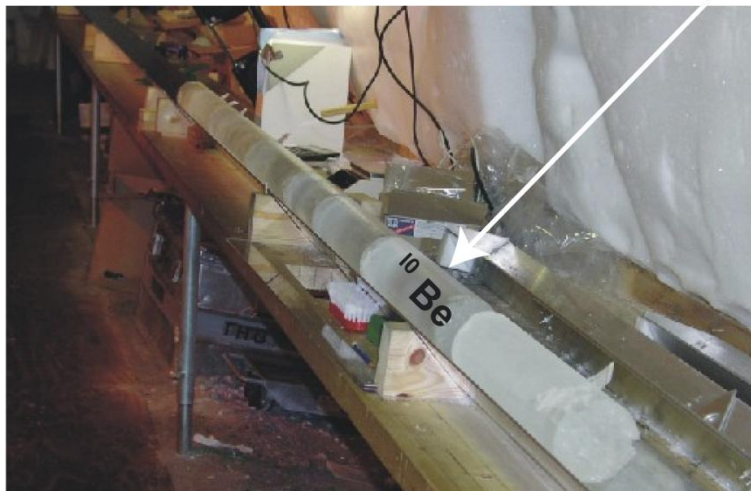
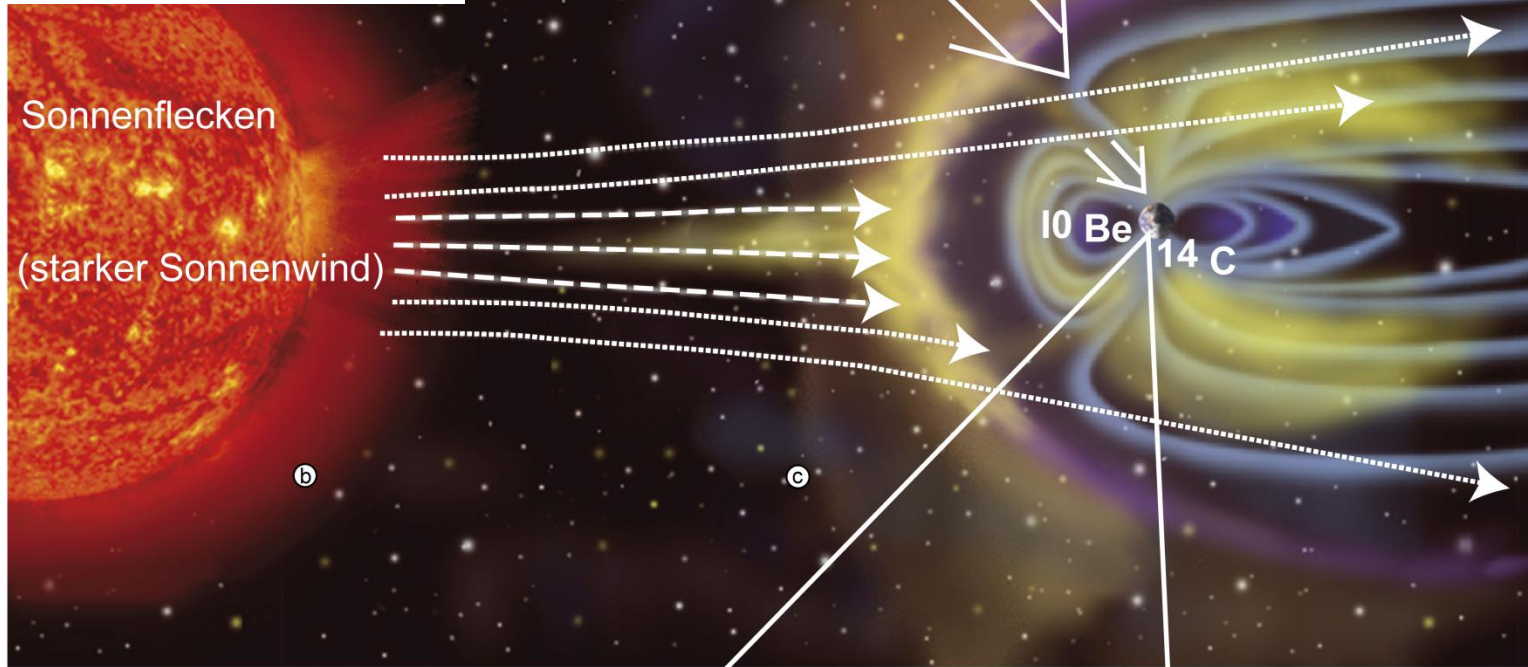
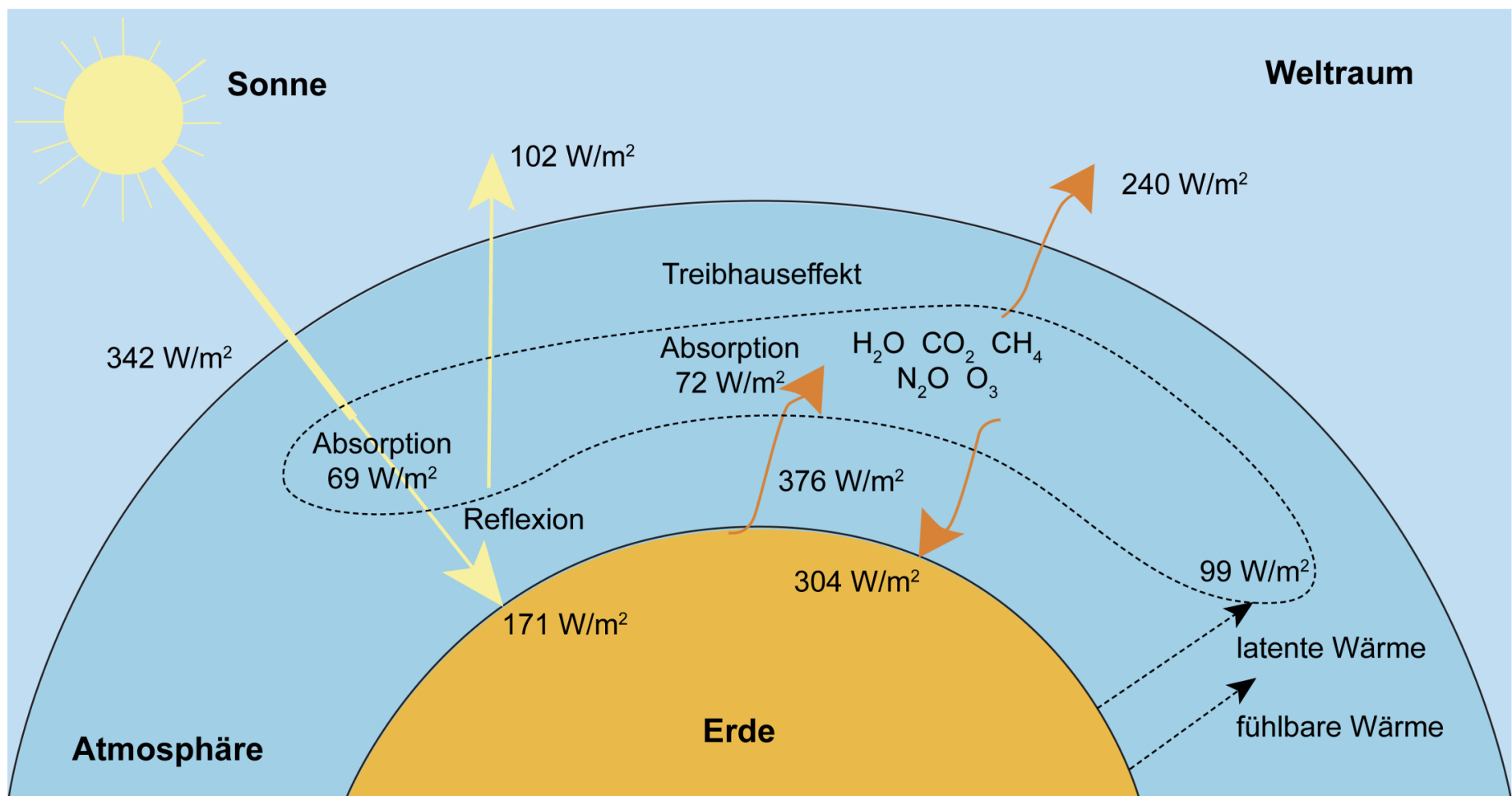


Abbildung aus: Sirocko (2009)

Gobal Player 3: Treibhausgase

Globale Energiebilanz



Gobal Player 4: Vulkane

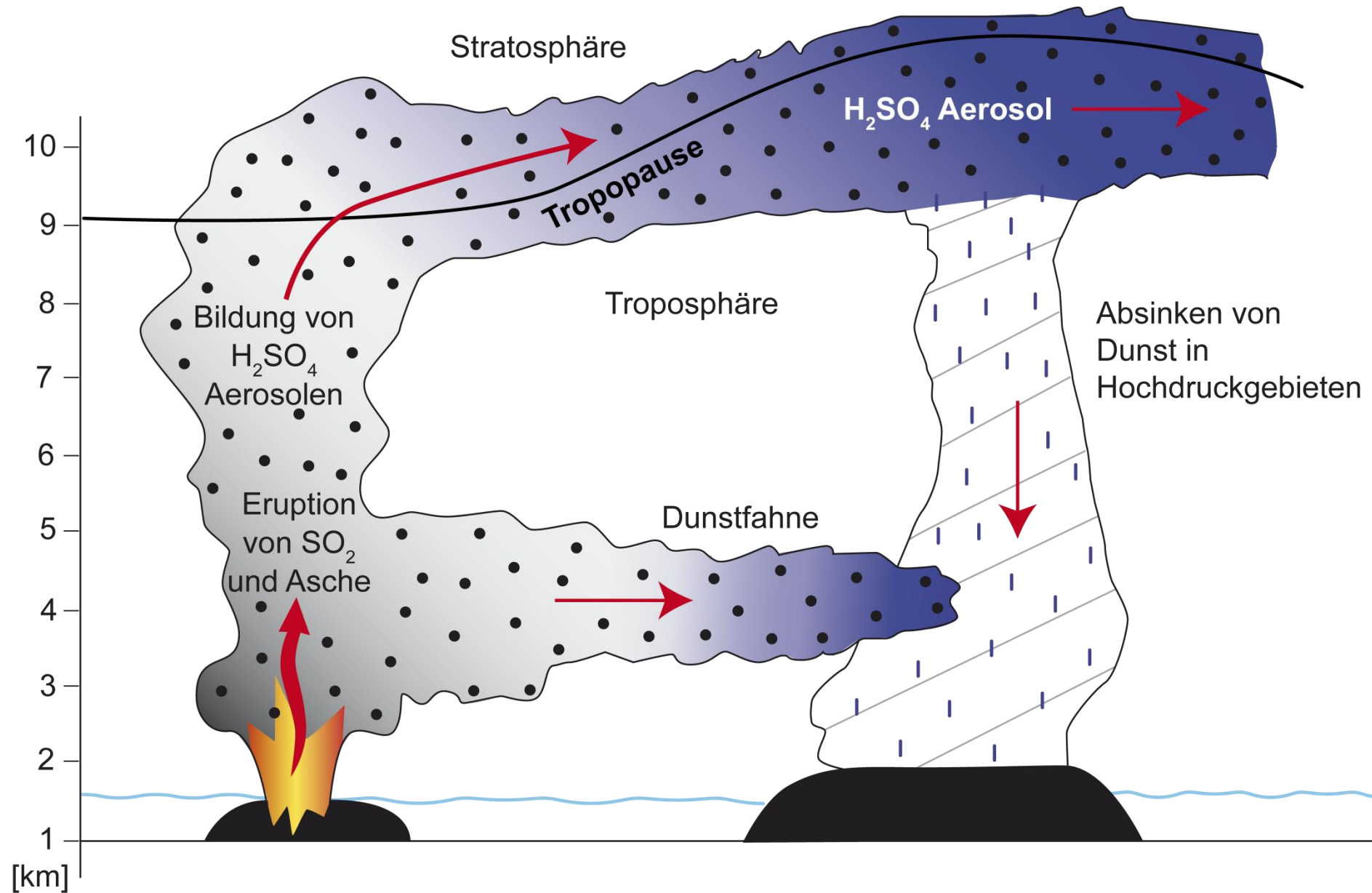
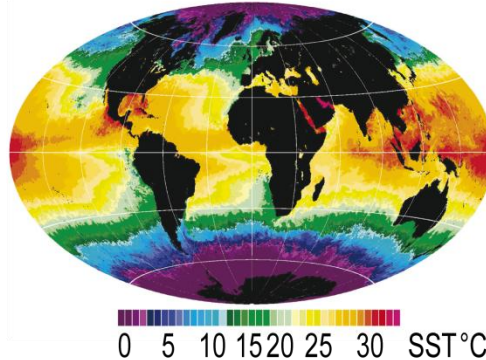
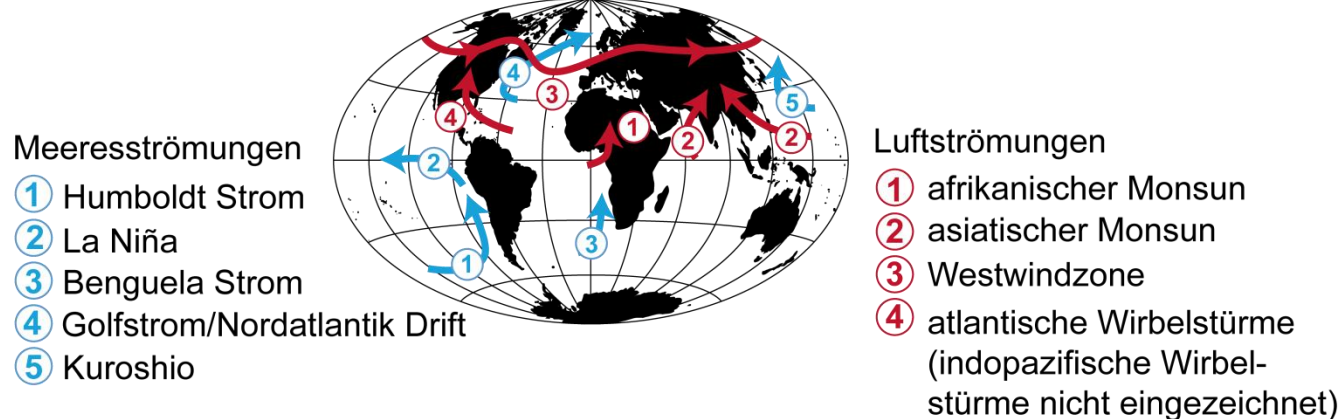


Abbildung aus: Sirocko (2009)

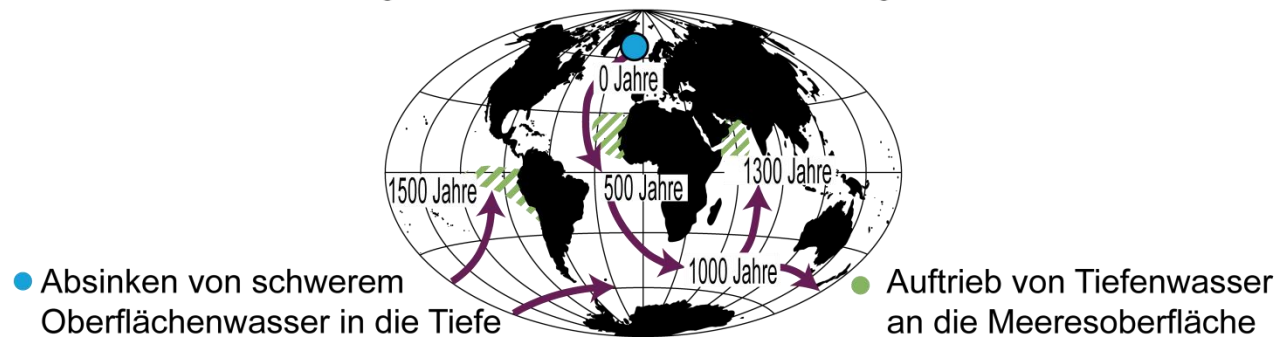
ⓐ Temperatur des Meeresoberflächenwassers



ⓑ Meereströmungen und Luftströmungen



ⓒ Alter und Fließrichtung der ozeanischen Tiefenströmungen

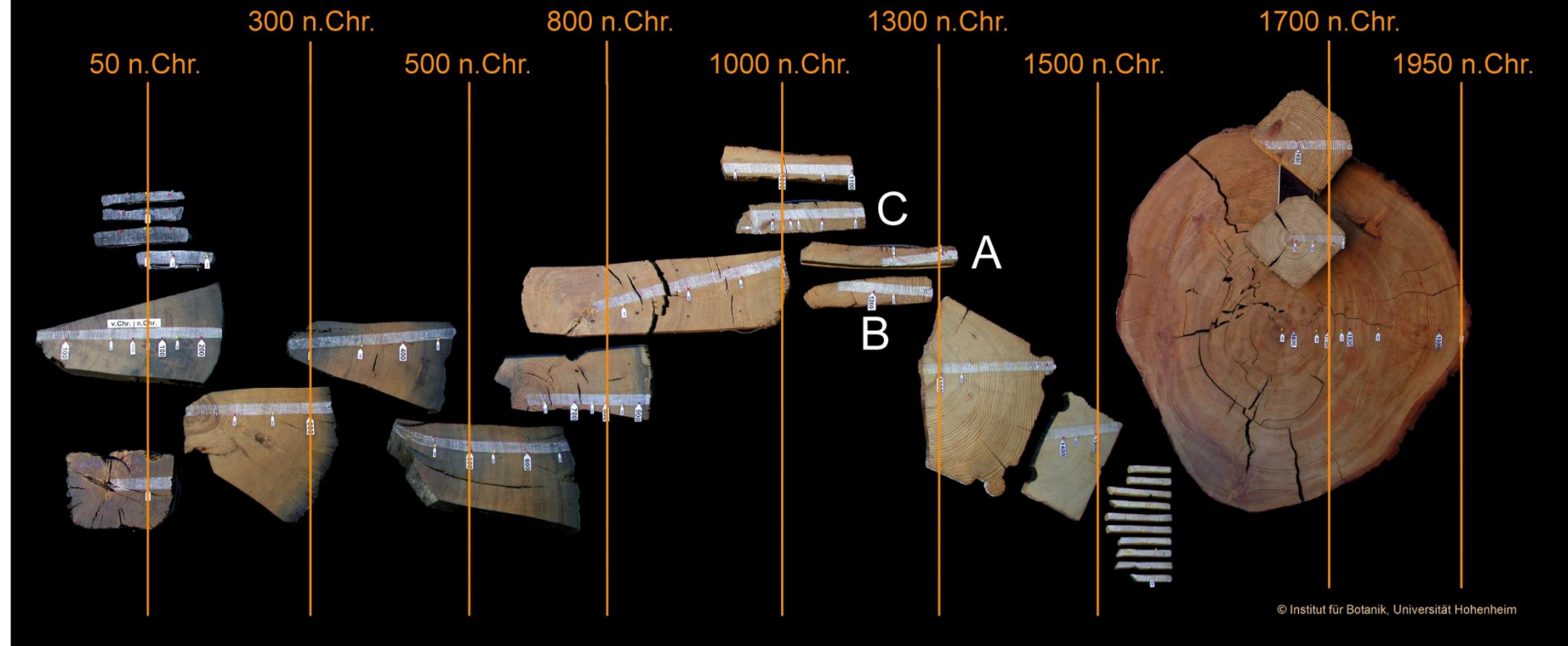


Gobal Player 5:
Meridionaler
Energietransport



Abbildung aus: Sirocko (2009)

Der Hohenheimer Jahrringkalender



© Institut für Botanik, Universität Hohenheim

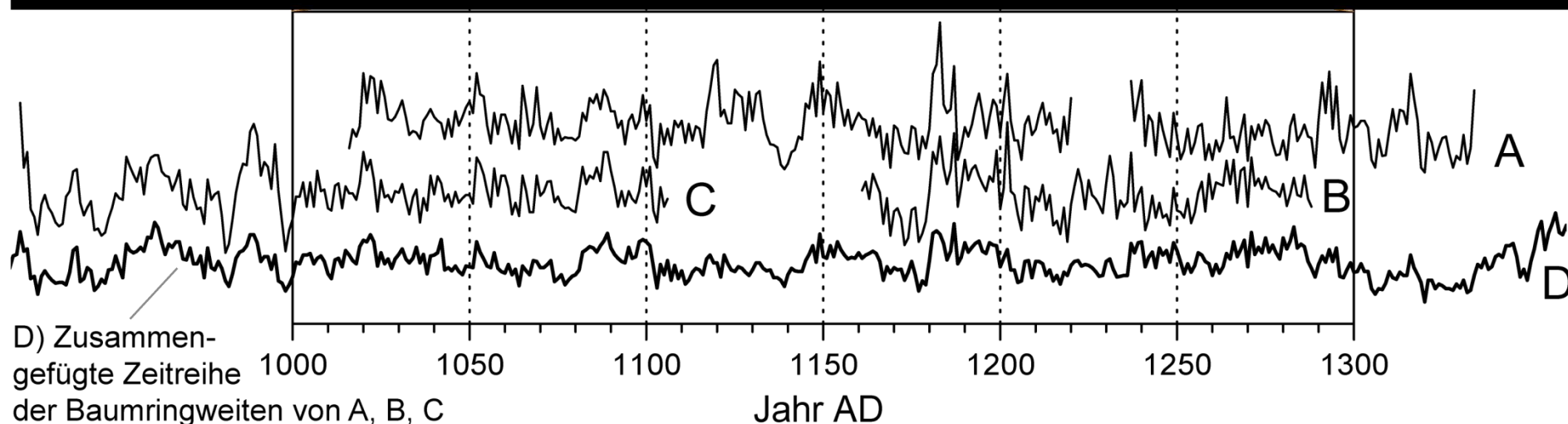


Abbildung aus: Sirocko (2009)

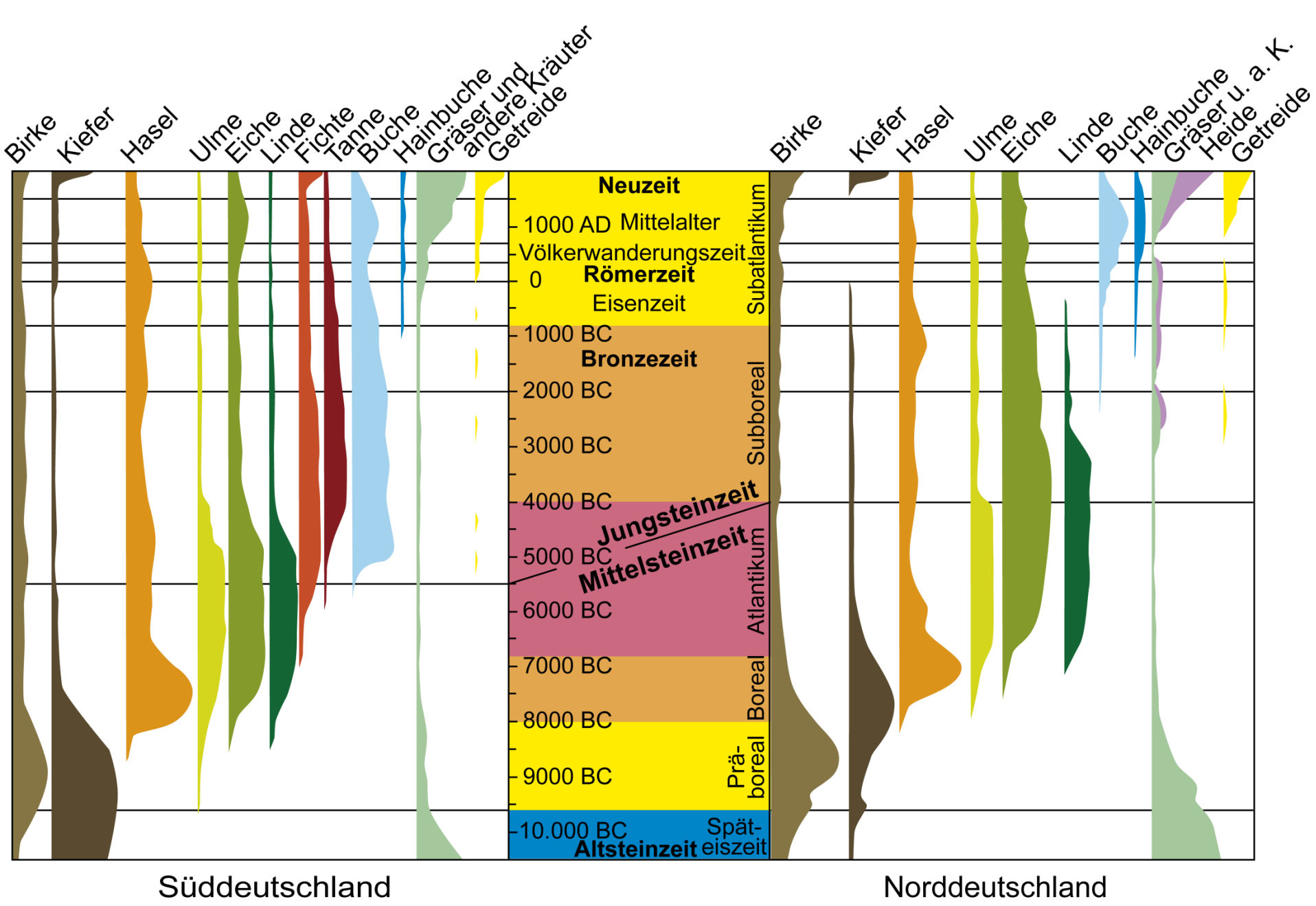
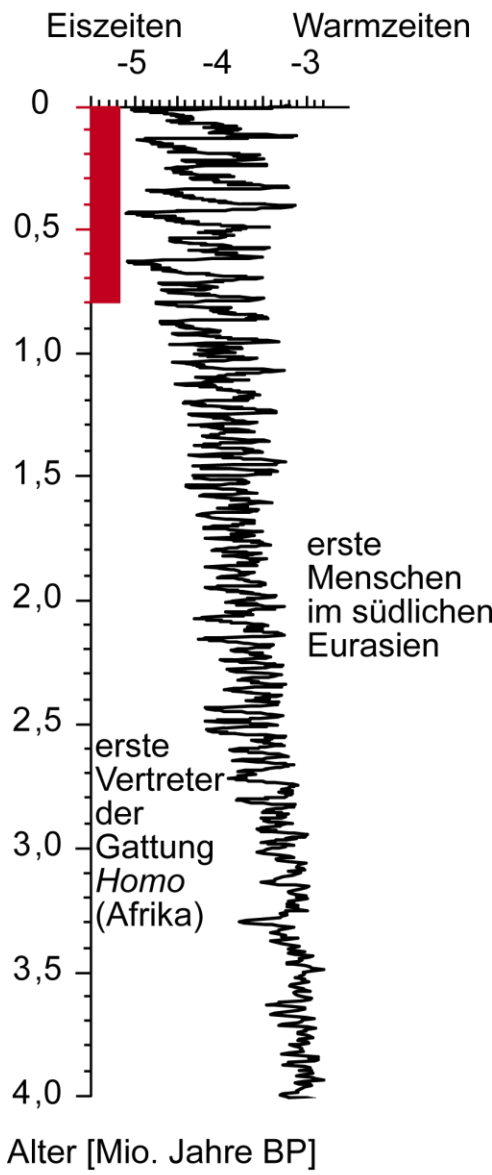


Abbildung aus: Sirocko (2009)

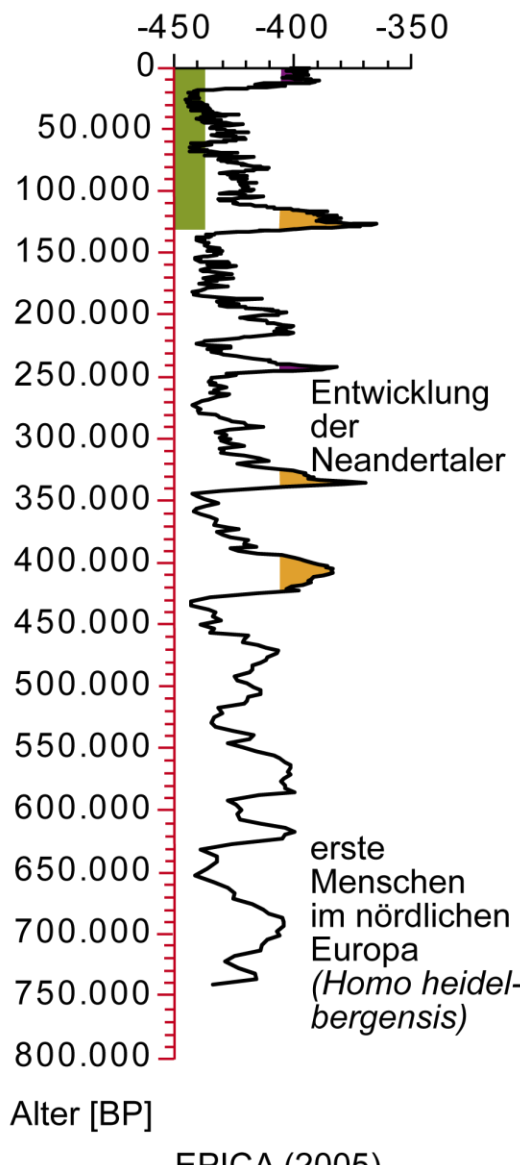
10. Stunde, Eiszeit

Klima und Mensch

a) Mariner Bohrkern
Eisvolumenindex
[$\delta^{18}\text{O}$]



b) Antarktischer Eiskern
Temperaturindex
[δD]



c) Grönlandischer Eiskern
Temperaturindex
[$\delta^{18}\text{O}$]

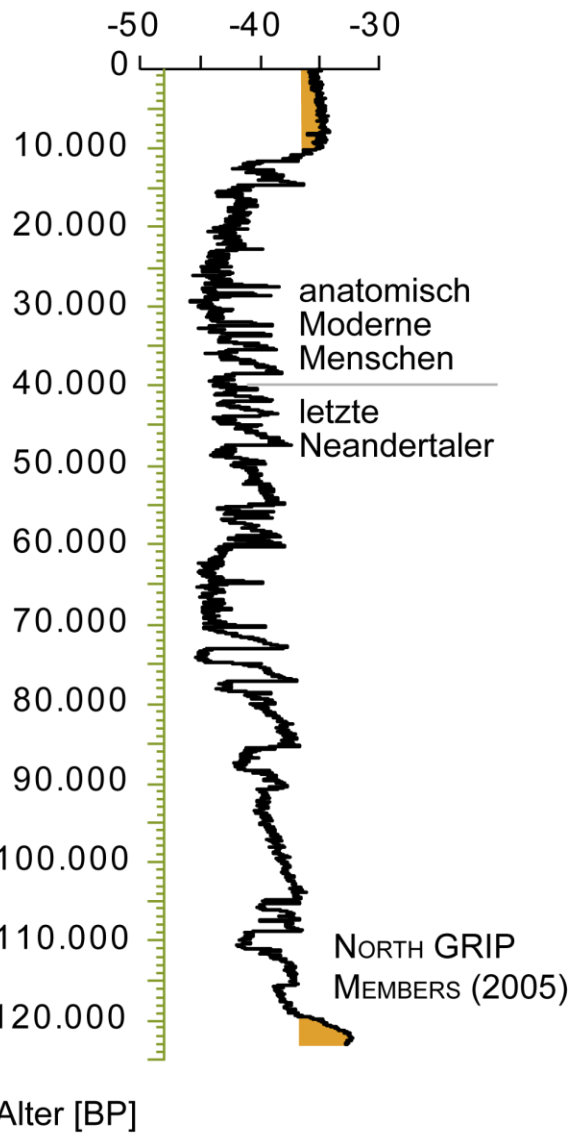


Abbildung aus: Sirocko (2009)

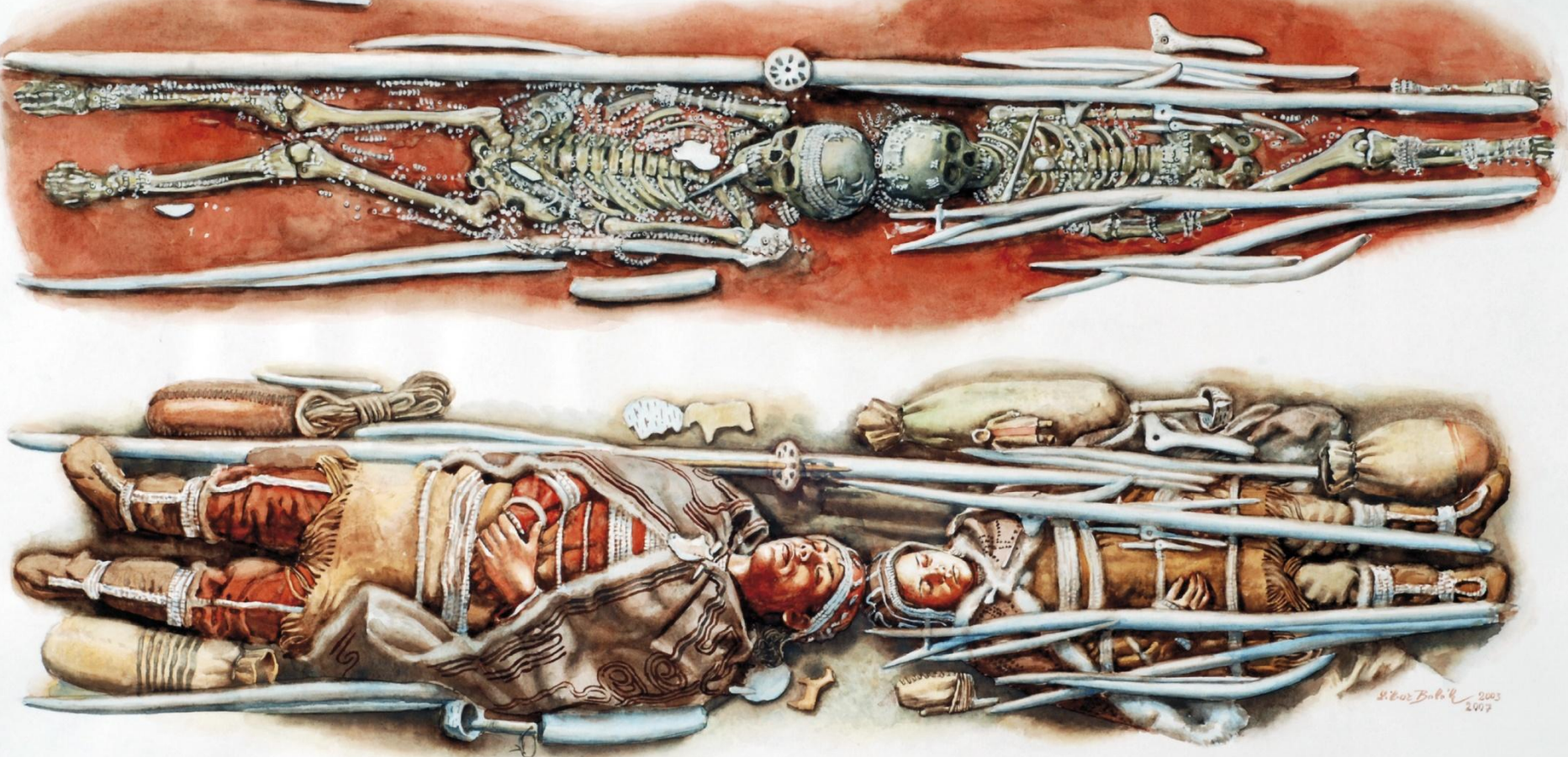


Abbildung aus: Sirocko (2009)

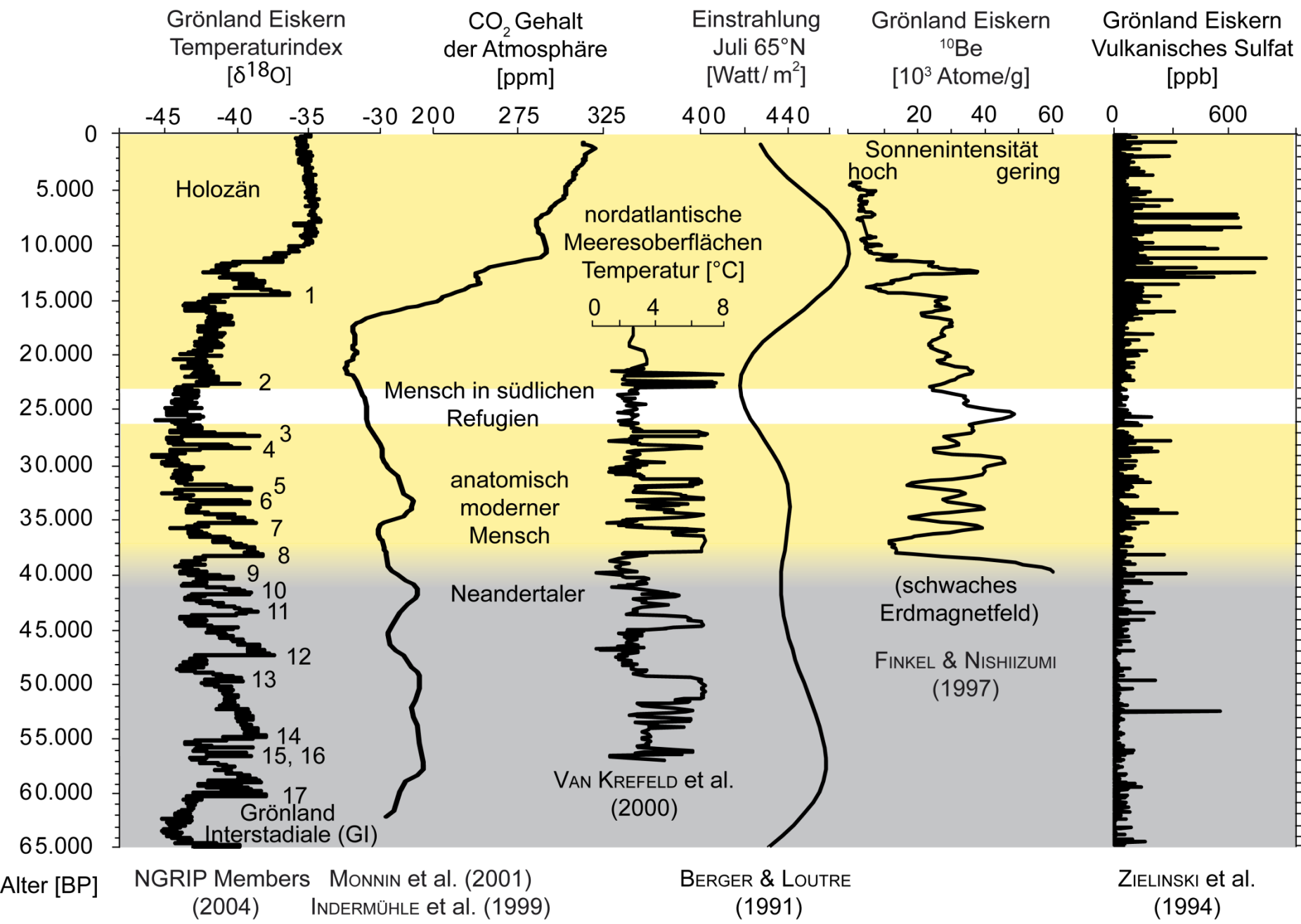
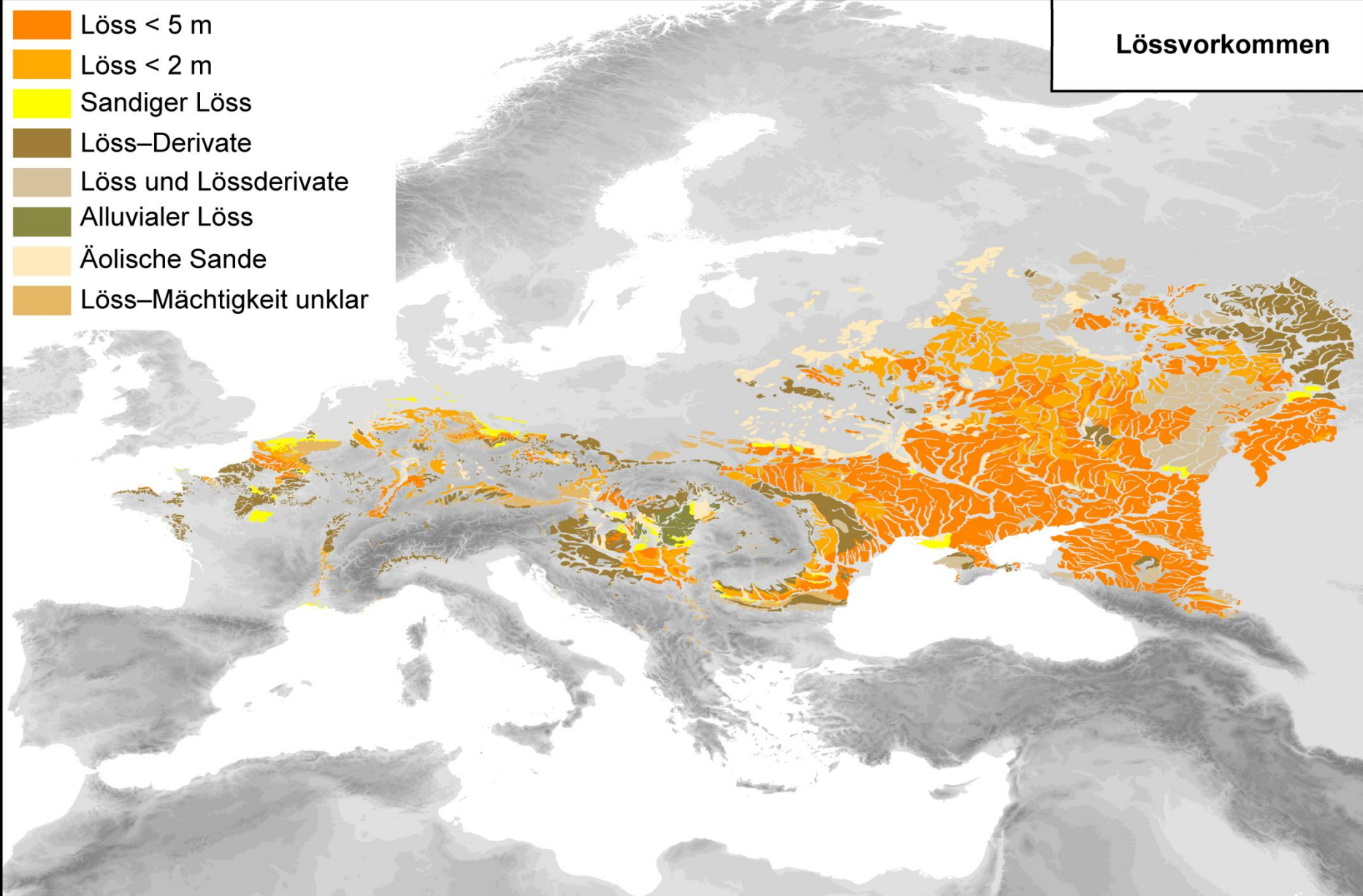
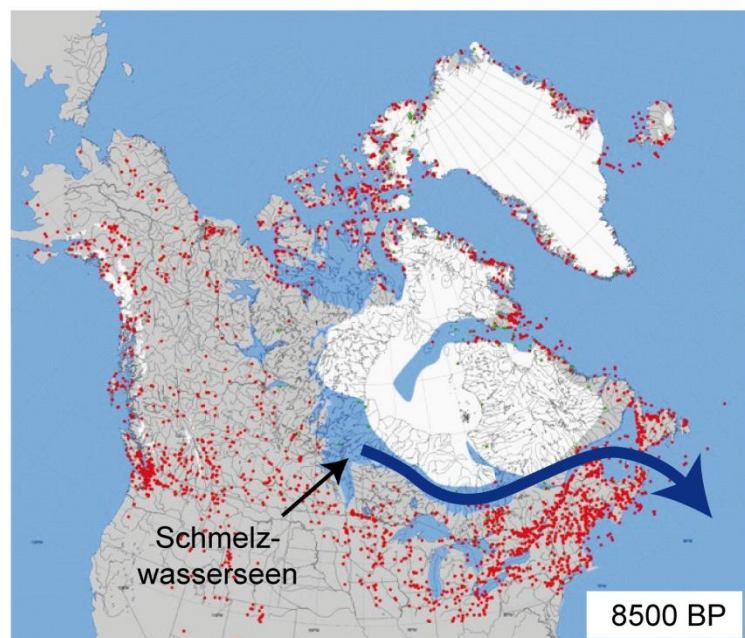
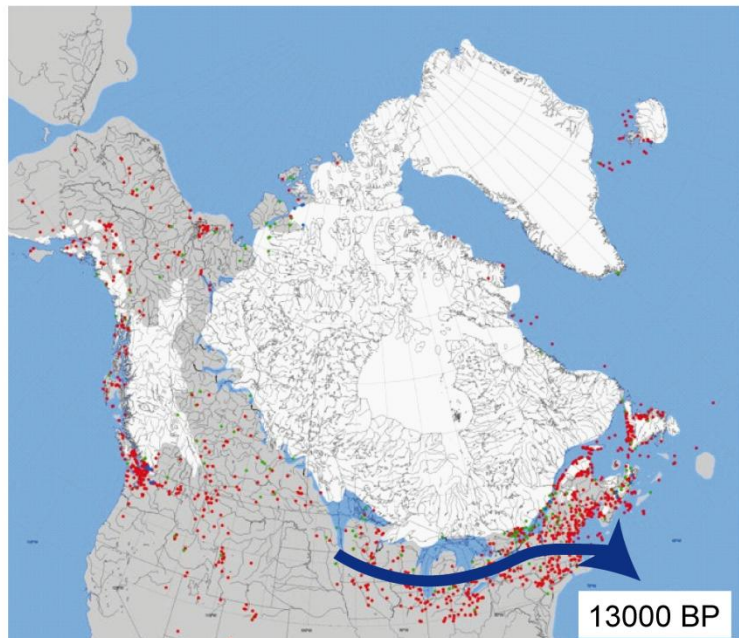
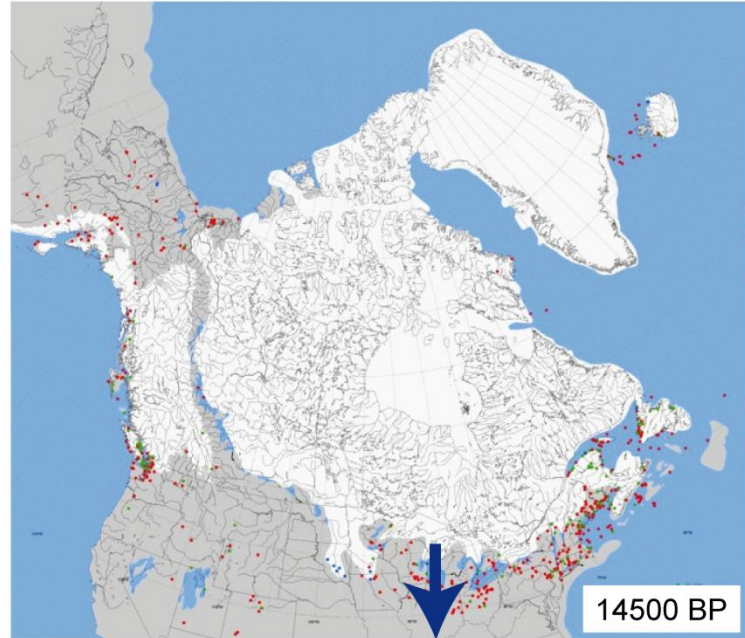
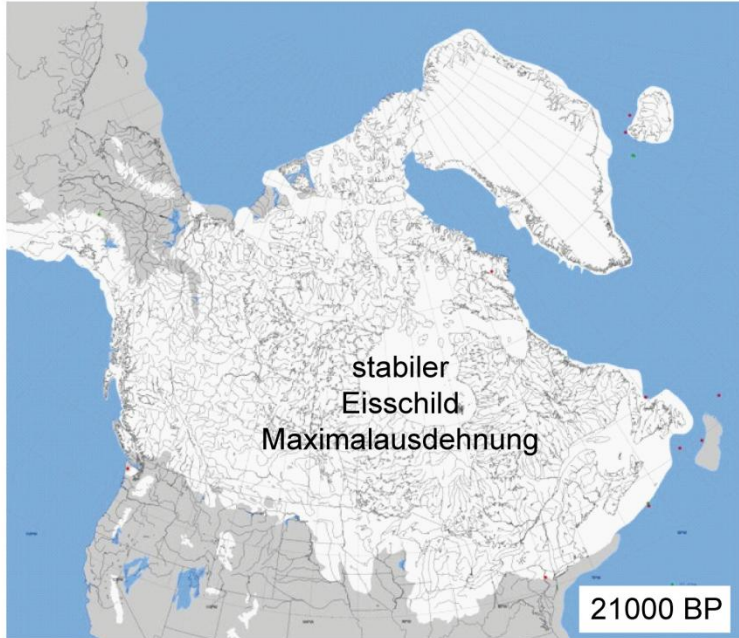
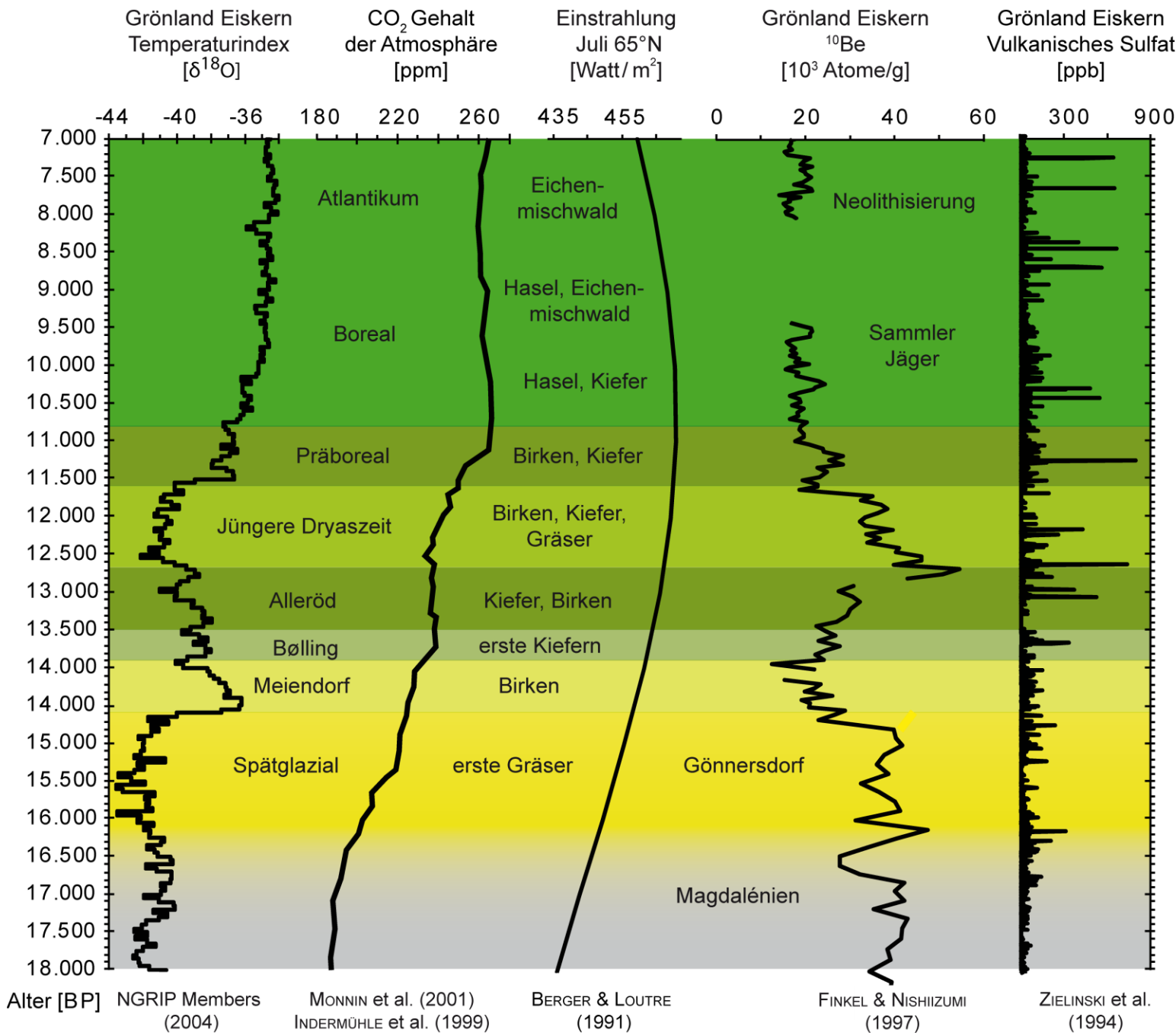


Abbildung aus: Sirocko (2009)

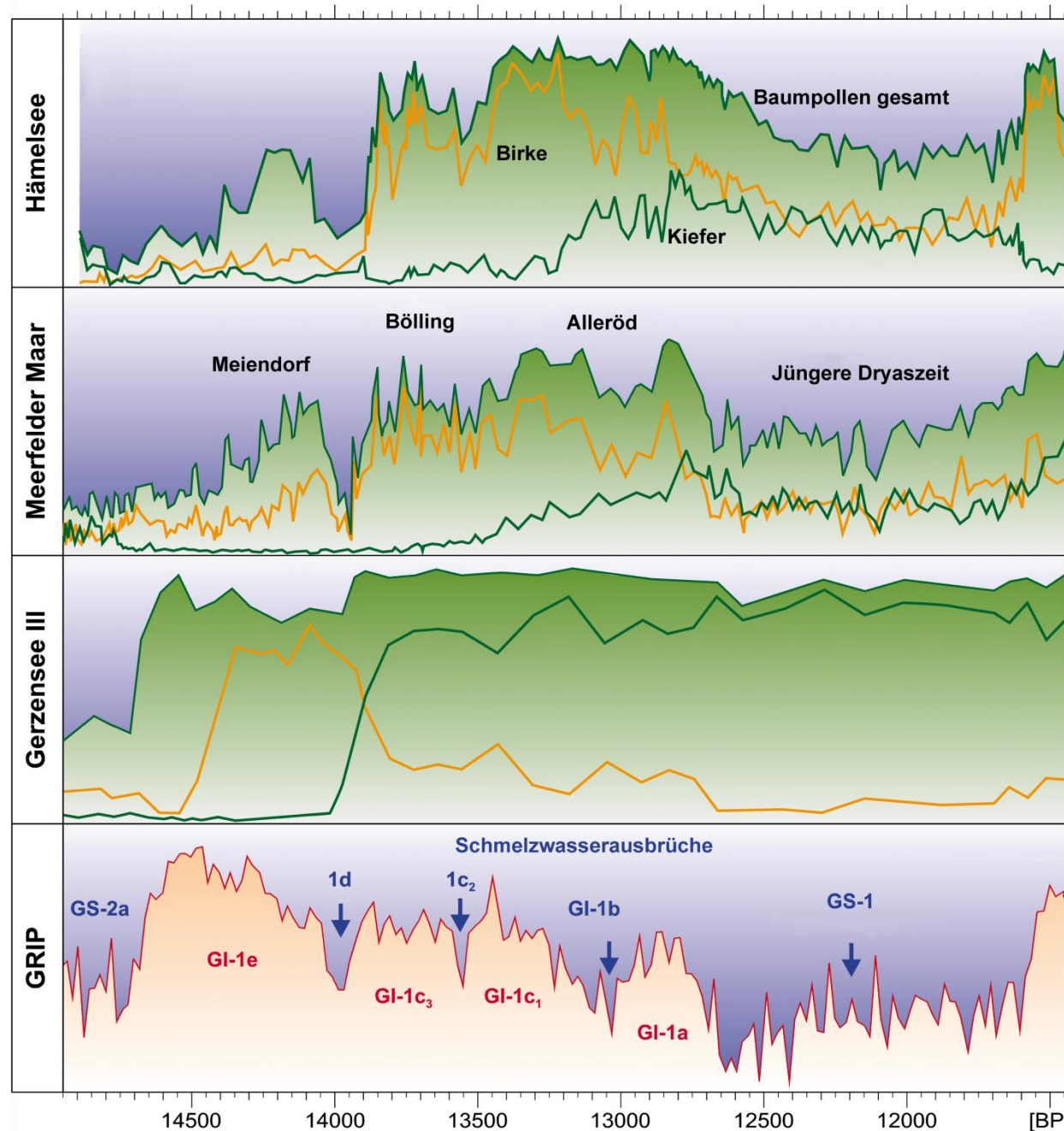


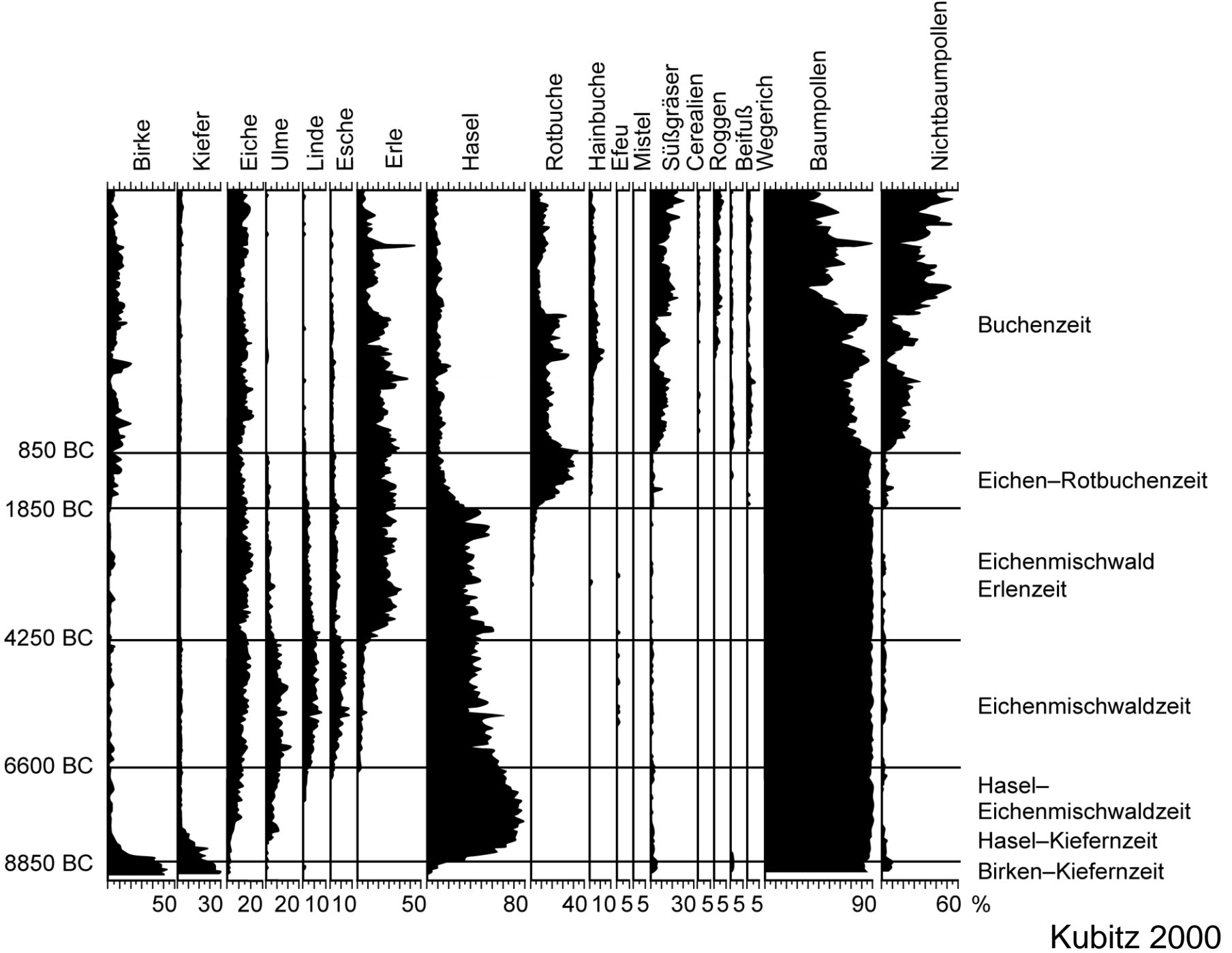


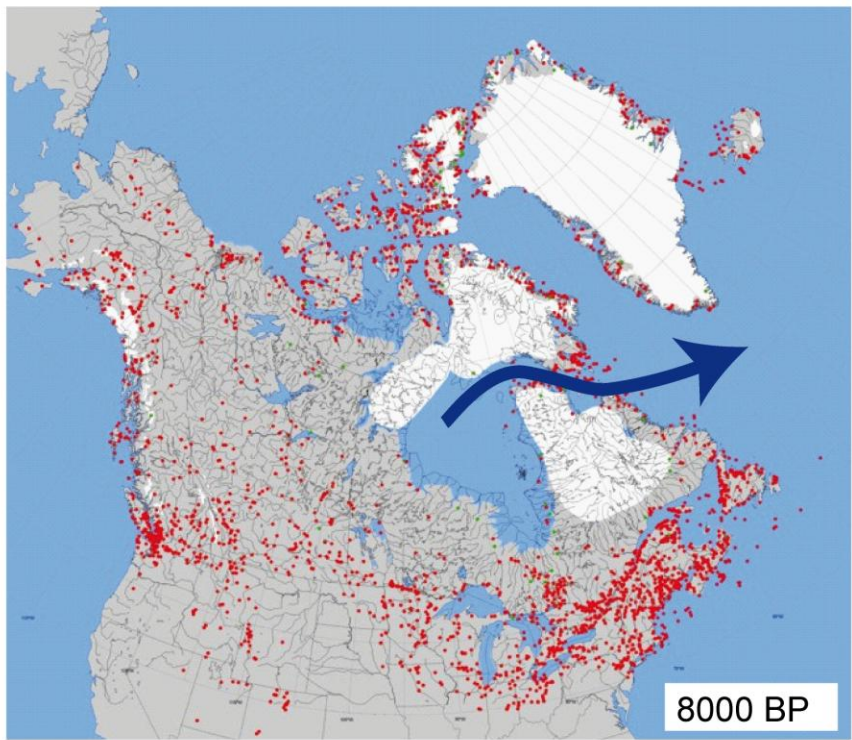
11. Stunde, Holozän Klima und Mensch



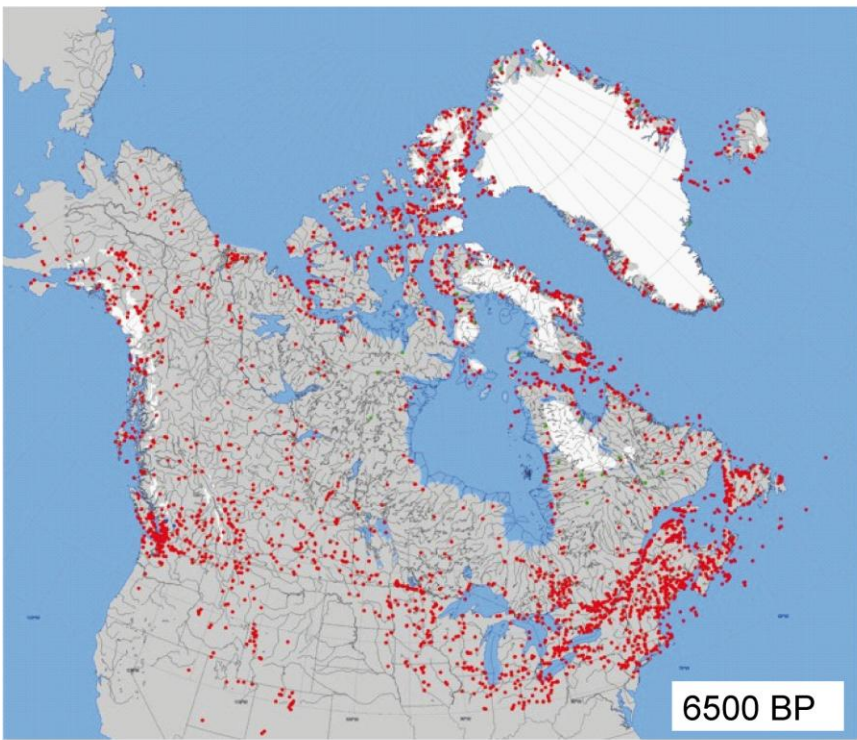
Späteiszeitliche Wiederbewaldung





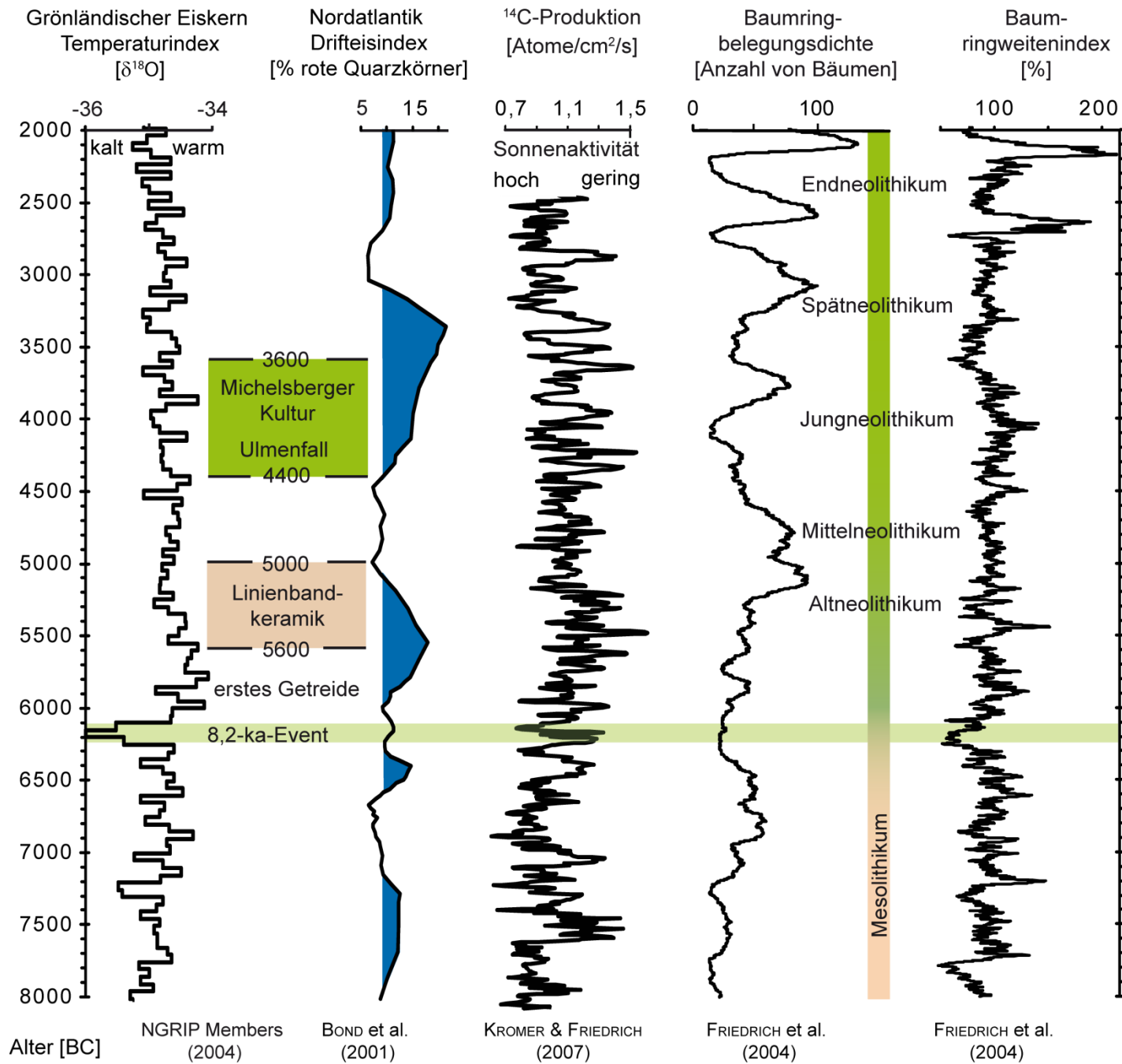


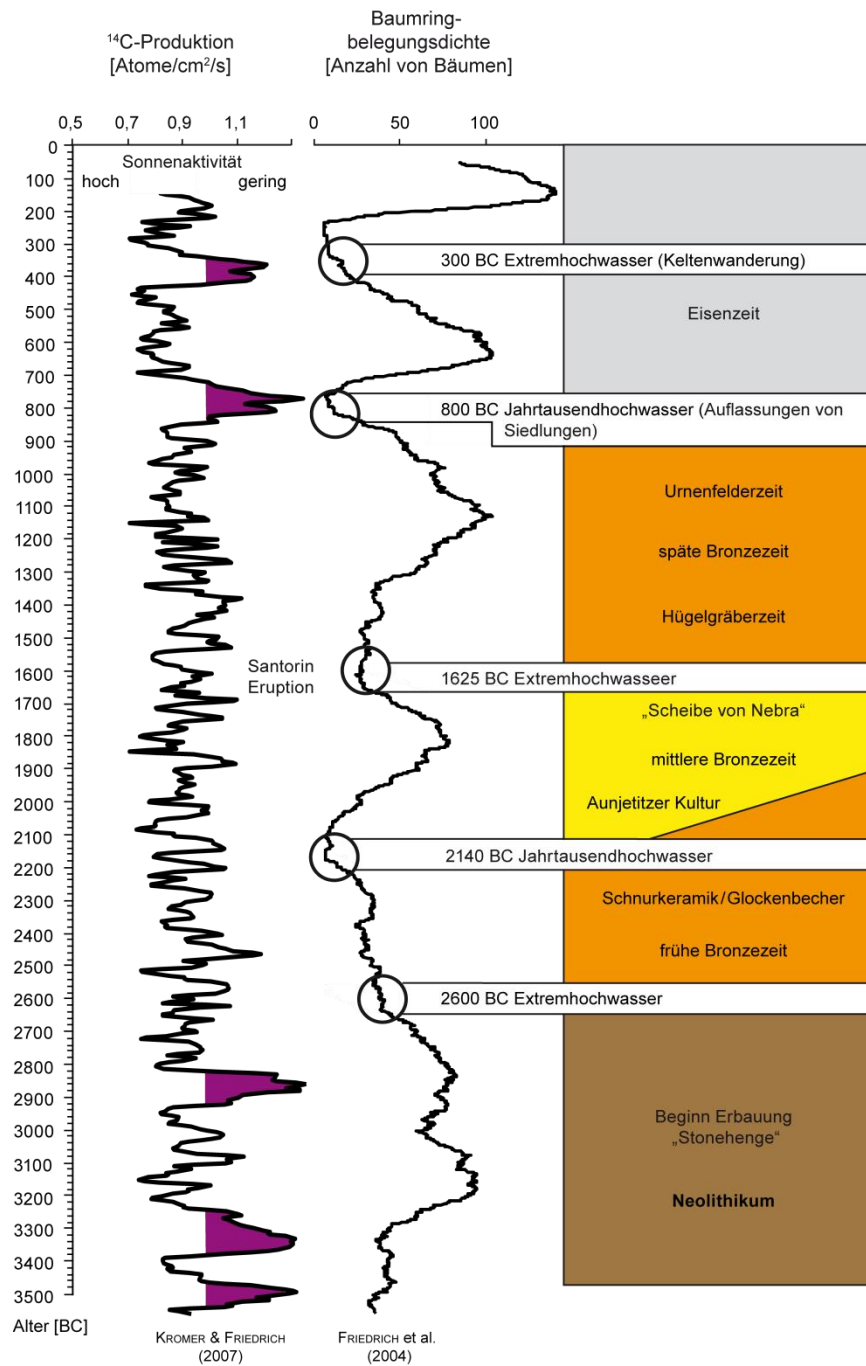
8000 BP

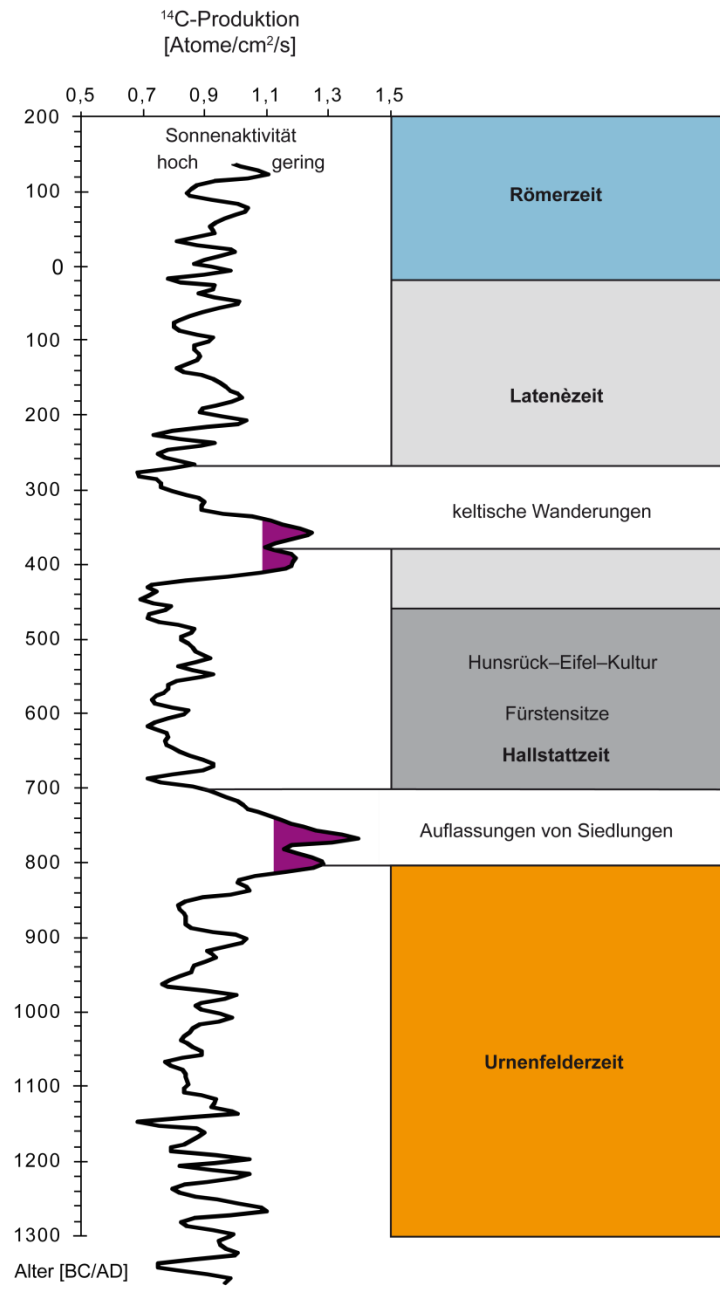


6500 BP

6000 BC

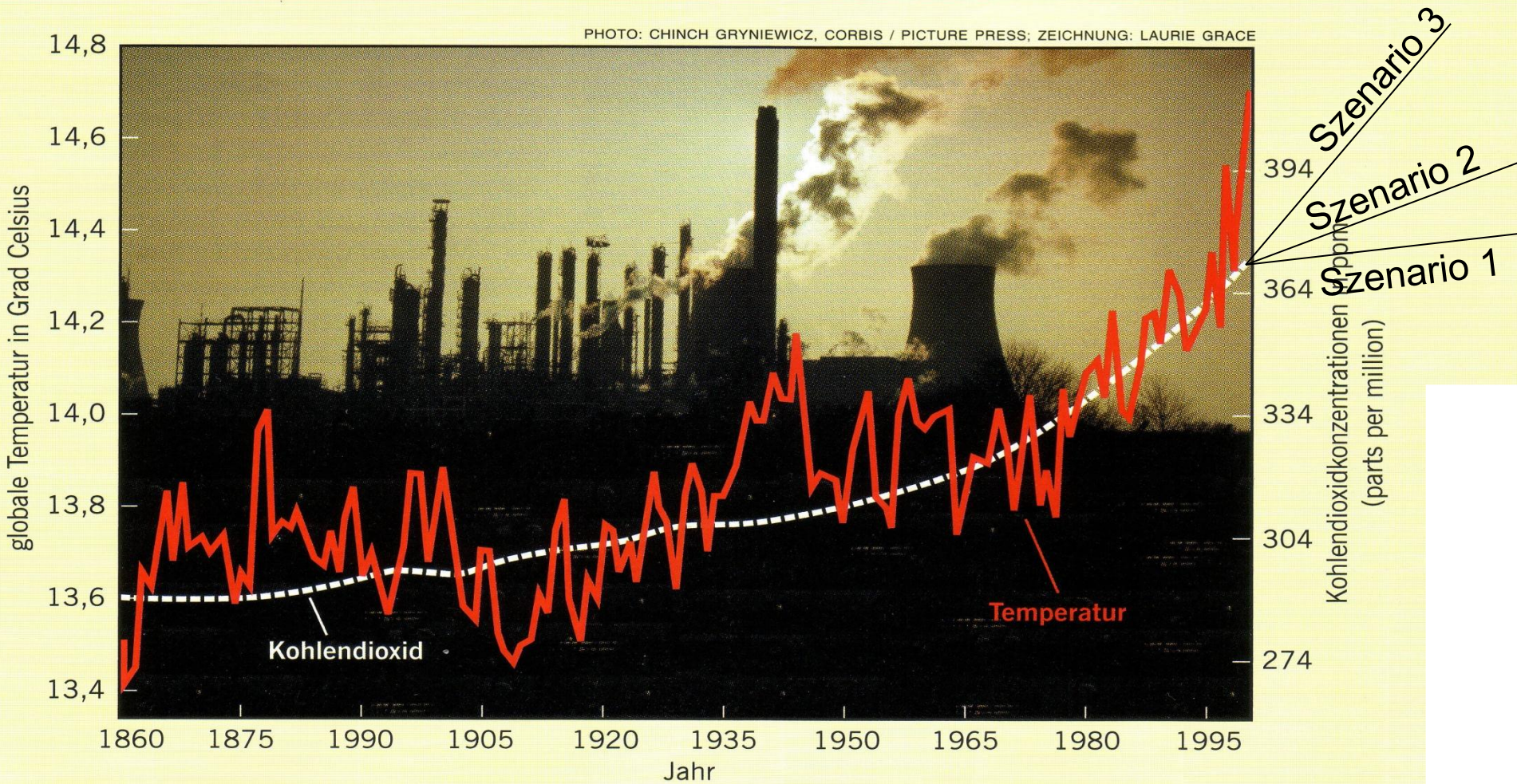






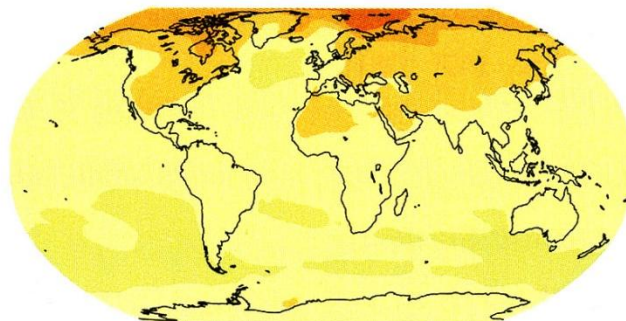
Globale Erderwärmung

Die CO₂-Konzentration und der Temperaturverlauf in 140 Jahren

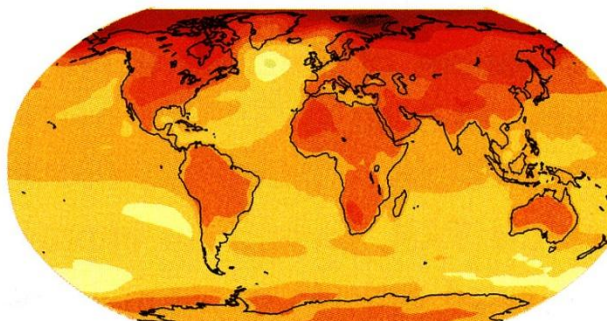


Erdoberflächentemperaturen der Zukunft (Jahresmittel)

2020 -2029

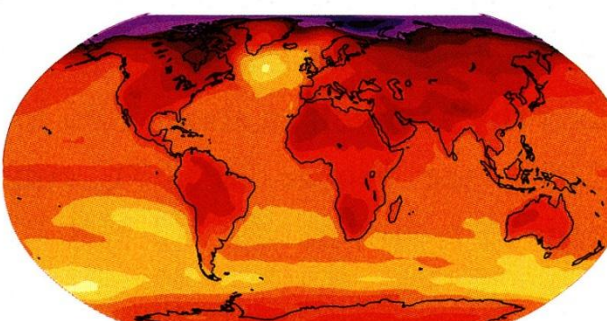
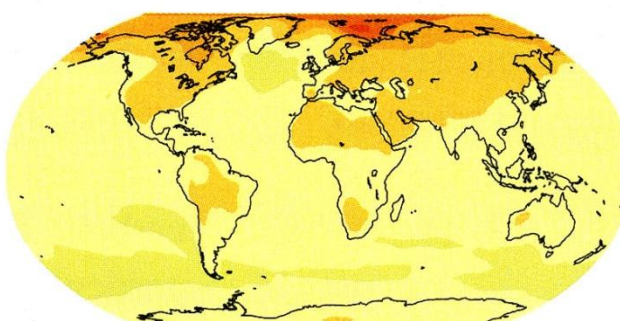


2090 -2099

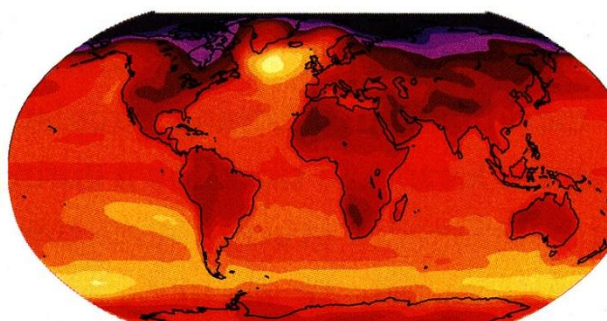
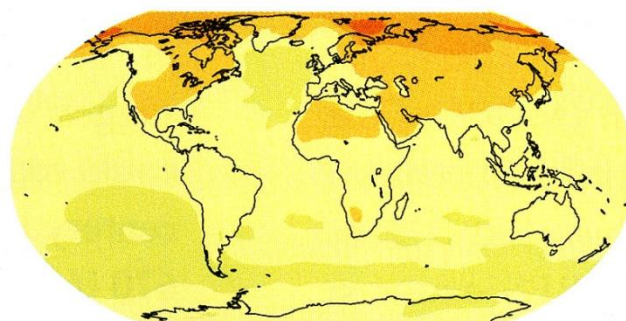


Prognose mittels
Klimamodellen

Szenario 1

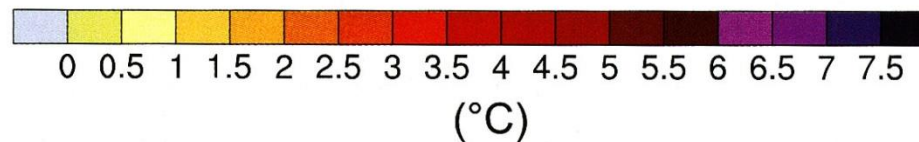


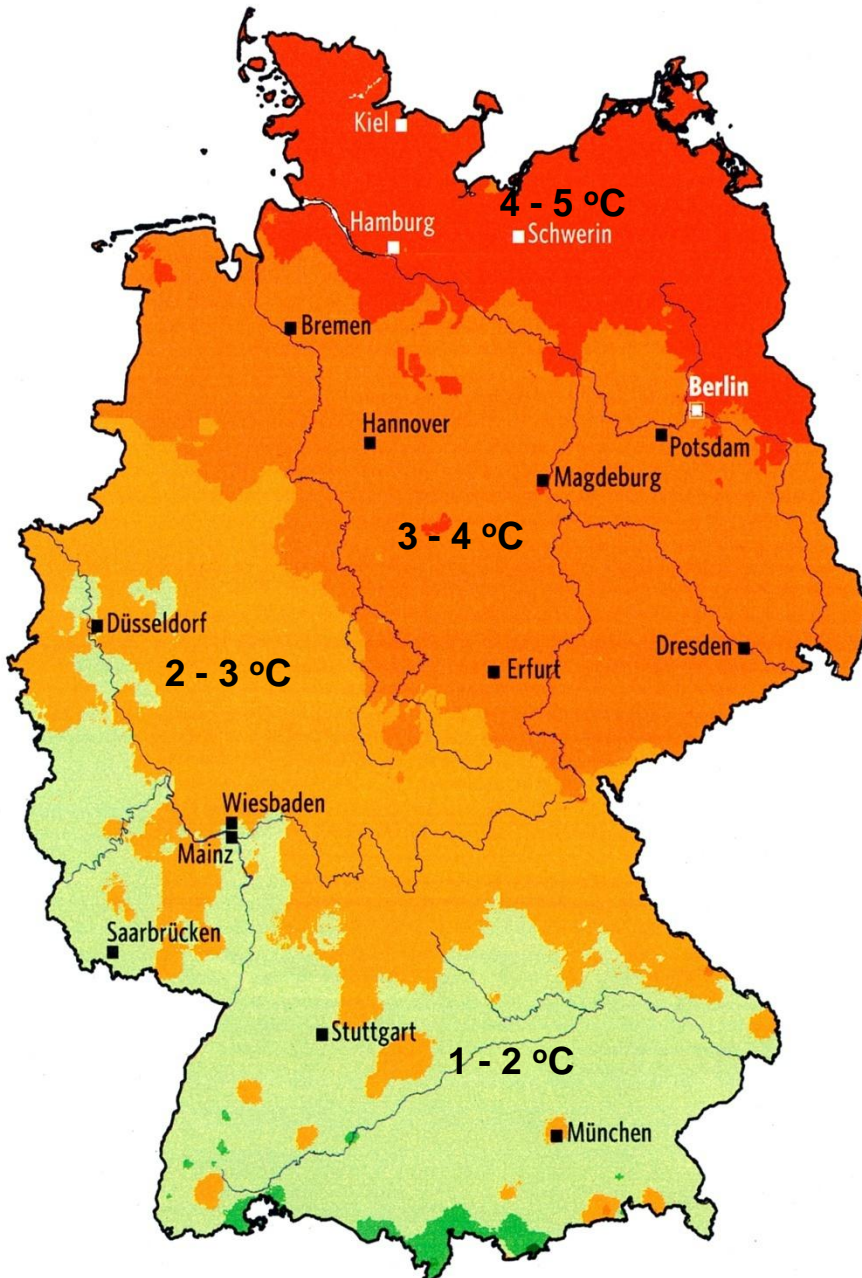
Szenario 2



Szenario 3

©IPCC 2007: WG1-AR4





Regionale Erwärmung



Abweichung der 2006 Dezember-Temperaturen vom Mittelwert der Jahre 1977 -2006

Quelle:
Stern Nr.6
1.2.2007

